



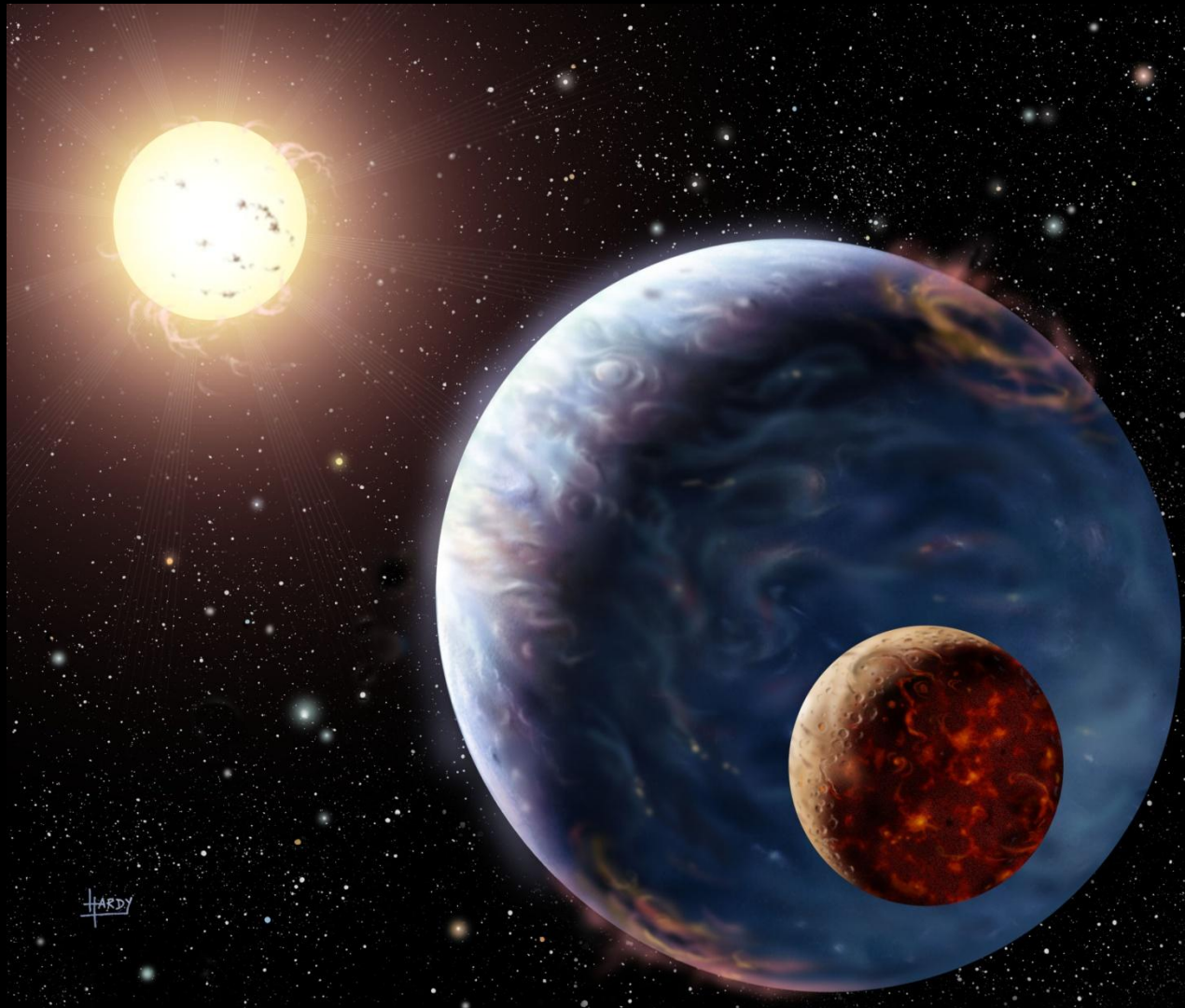
# Università "Primo Levi"



27 Aprile 2018  
I pianeti extrasolari

Bedogni Roberto INAF Osservatorio Astronomico di Bologna  
<http://davide2.bo.astro.it/~bedogni/primolevi/>  
email: [roberto.bedogni@oabo.inaf.it](mailto:roberto.bedogni@oabo.inaf.it) oppure  
[robob5206@gmail.com](mailto:robob5206@gmail.com)

# I pianeti extrasolari



NB: le immagini riportate dei pianeti extrasolari NON sono, salvo esplicita indicazione, immagini «reali» ma «artwork» cioè rappresentazioni artistiche di fantasia

# Storia della scoperta dei Pianeti Extrasolari

- 1952: Struve propone il metodo delle velocità radiali per la ricerca di pianeti extrasolari
- 1963-1969: van de Kamp, cerca di applicare il metodo astrometrico alla **Stella di Barnard**
- 1990- HST (Hubble Telescope) prime misure astrometriche
- 1994 Wolszczan – scopre i primi pianeti attorno a pulsar
- 1995 Queloz/Mayor scoprono il primo pianeta **51 Pegasi b** con il metodo delle velocità radiali
- 1995 Marcy/Butler/Fisher confermano la applicabilità del metodo spettroscopico per i pianeti extrasolari

# HARPS (*High Accuracy Radial velocity Planet Searcher*)



HARPS è uno spettrografo di grande precisione installato nel 2002 sul telescopio di 3,6 metri di diametro dell'ESO posto all'Osservatorio di La Silla, in Cile.

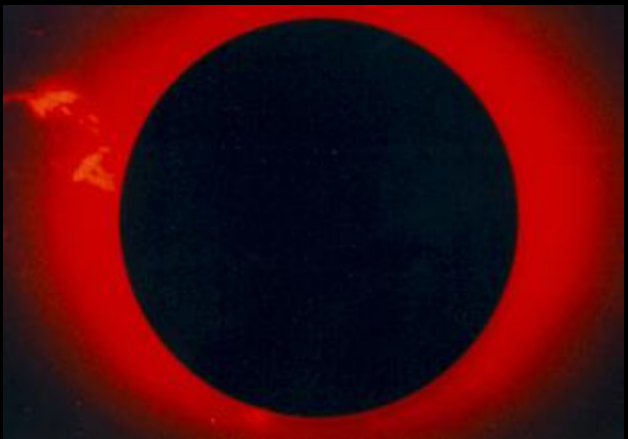
È diventato operativo a febbraio 2003

HARPS può raggiungere una precisione di 0,97 m/s (3,5 km/h) nella misura della velocità radiale

# Stelle e pianeti

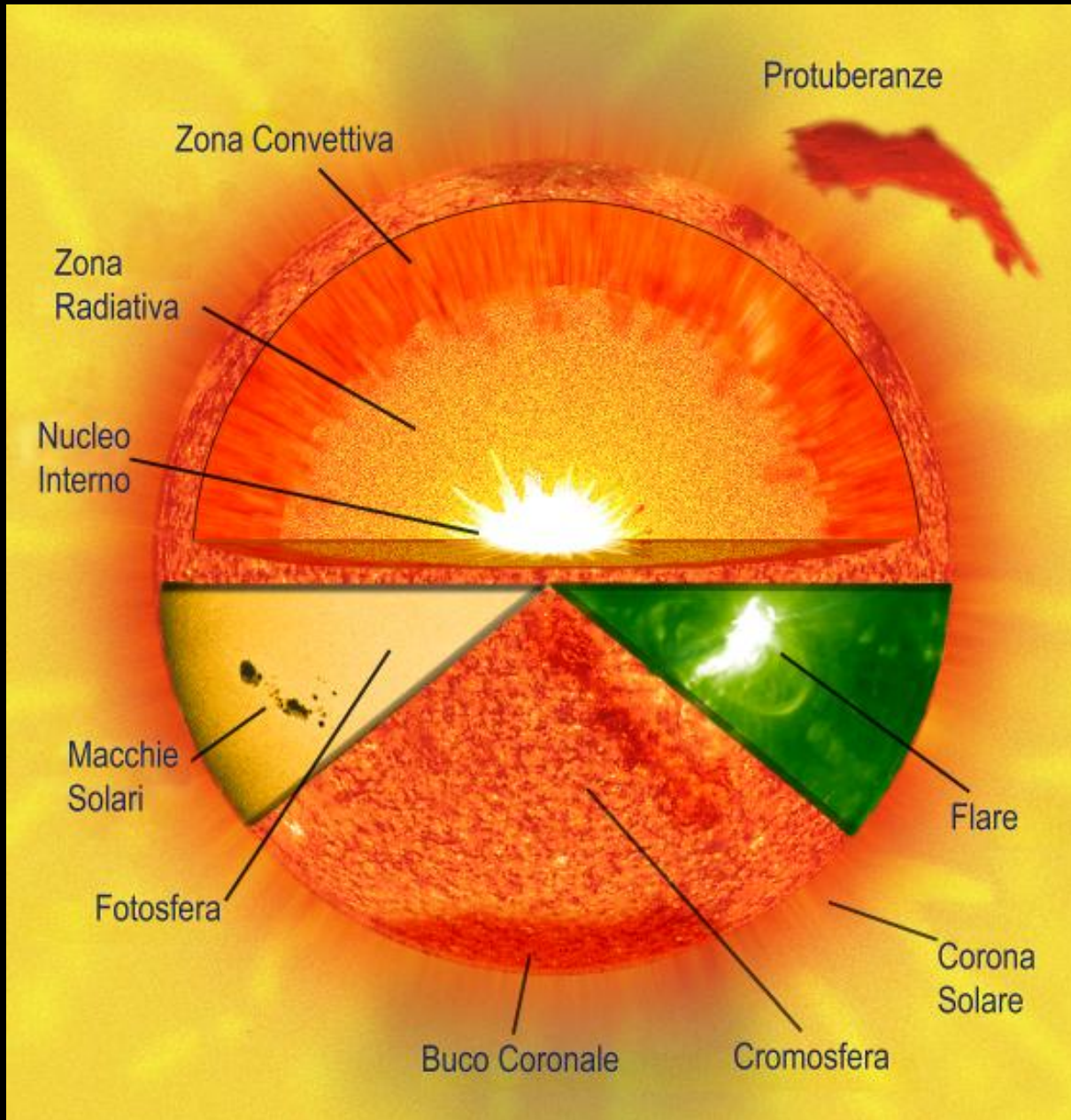
# I parametri fisici della stella “Sole”

Il Sole nella  
riga H  $\alpha$

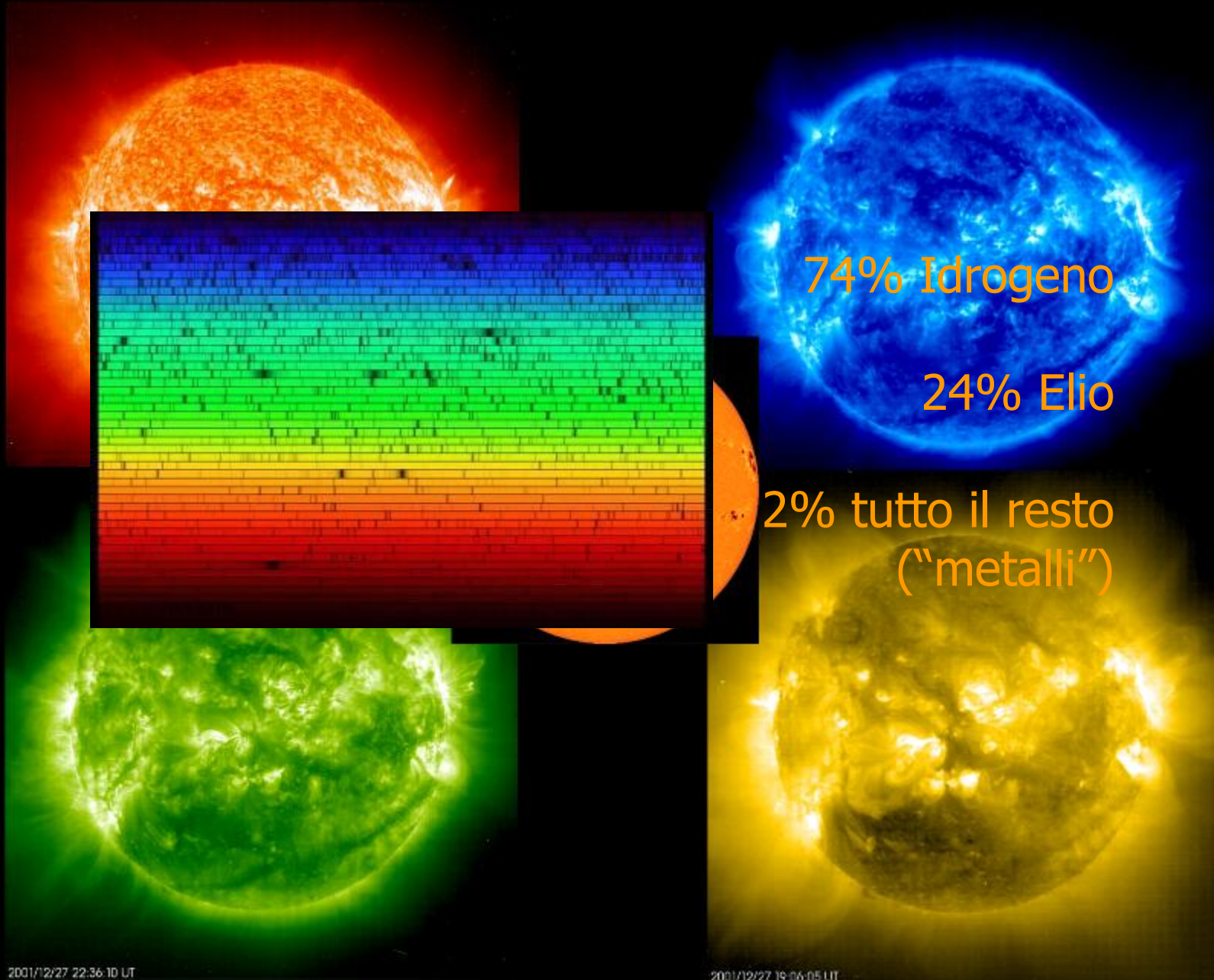


Distanza (km)	149 597 970 km $\pm 2$
Massa (kg)	$1,989 \times 10^{30}$
Massa	$332\ 830\ M_{\odot}$
Raggio equatoriale (km)	695 000
Raggio equatoriale	$109\ R_{\odot}$
Periodo di rotazione (giorni)	25-36
Densità media (kg/m <sup>3</sup> )	1410
Densità media (gr/cm <sup>3</sup> )	1,410
Velocità di fuga (km/sec)	618
Accelerazione di gravità (m/sec <sup>2</sup> )	274
Temperatura superficiale (°K)	5780
Luminosità (J/s)	$3,86 \times 10^{26}$
Magnitudine visuale	-26,8
Magnitudine assoluta bol.	4,74
Età (miliardi di anni)	4,55
Tipo spettrale	G2V

# Come è fatto il Sole



# Composizione chimica del Sole



# Stelle e pianeti



Stella - oggetto autogravitante che durante la sua evoluzione abbia prodotto la sua energia interna tramite reazioni nucleari.

Pianeta - corpo celeste (solido o gassoso) che non sarà mai in grado di innescare le reazioni nucleari.

# Dalle stelle ai pianeti

## Stelle

La teoria dell'evoluzione stellare mostra che la massa minima per produrre l'innesto delle reazioni nucleari dell'Idrogeno è di circa:

0,08  $M_{\odot}$  (Masse Solari) che corrispondono a circa 80  $M_G$  (Masse Gioiane)

## Nane Brune

Ulteriori studi però hanno ridotto questo valore in quanto si è dimostrato che un oggetto celeste, con una sufficiente quantità di Deuterio, può innescarne il bruciamento. La massa minima in questo caso si riduce a:

0,01  $M_{\odot}$  (Masse Solari) che corrispondono a 14-15  $M_G$  (Masse Gioiane)

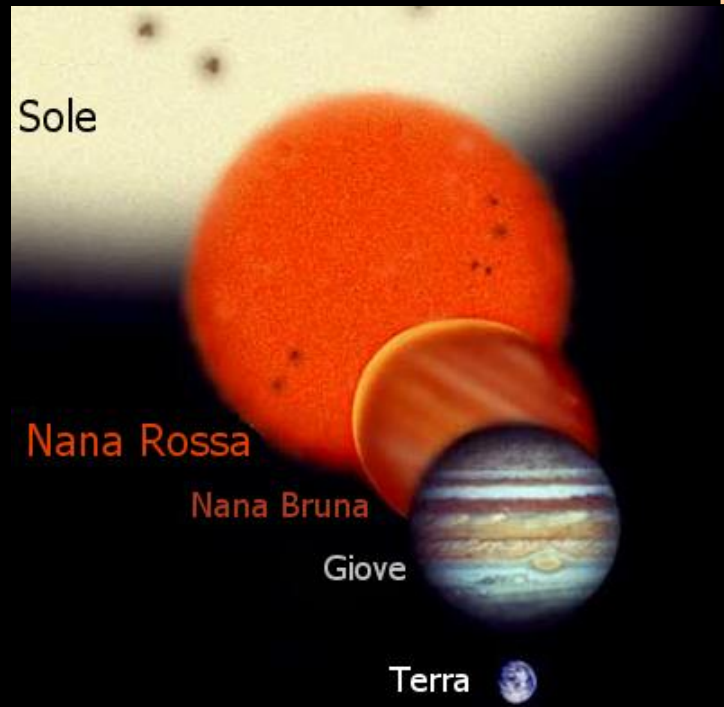
## Pianeti Giganti e Pianeti Rocciosi

E' inoltre possibile avere corpi non stellari con produzione di energia per contrazione gravitazionale, come ad esempio i pianeti giganti del Sistema solare, che presentano un eccesso di energia prodotta nel loro interno.

Per i pianeti rocciosi l'energia interna (attività geologica) deriva o dal raffreddamento dopo la formazione (per impatti) oppure dal decadimento radioattivo (nucleo e mantello)

Nane Brune

# Le "Nane Brune" – al confine con i pianeti gassosi



Proprietà del Nucleo  
di una Nana Bruna

$$\rho \sim 10 - 1000 \text{ gr/cm}^3$$

$$T_c \leq 3 \times 10^6 \text{ °K}$$

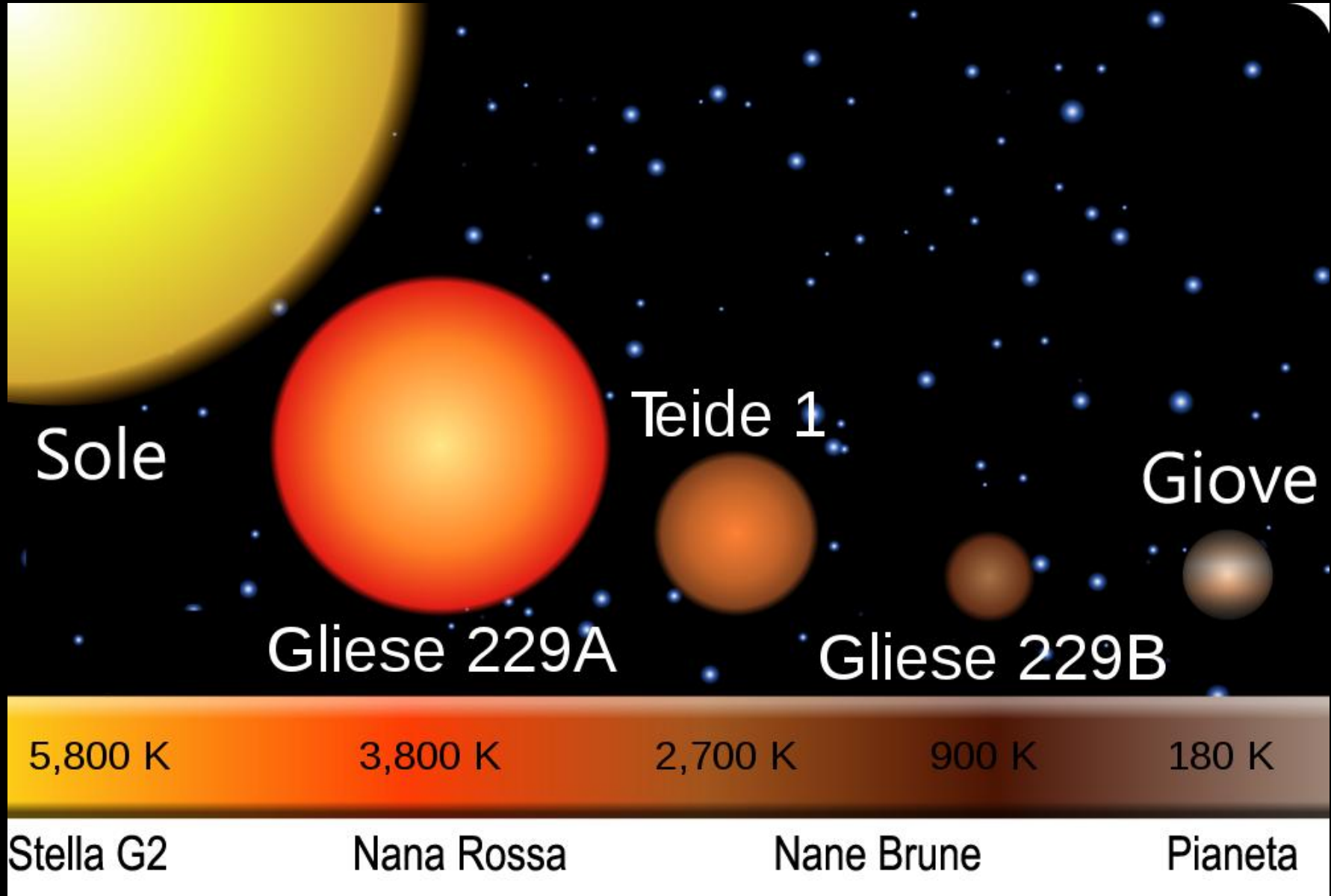
$$P_c \sim 10^5 \text{ Mbar}$$

Le "Nane Brune" si formano come le stelle ma non accumulano abbastanza massa da generare le alte temperature capaci di innescare la fusione nucleare dell'Idrogeno fino a  $0,08 M_\odot$  ma nel loro nucleo è permesso il bruciamento del Deuterio.

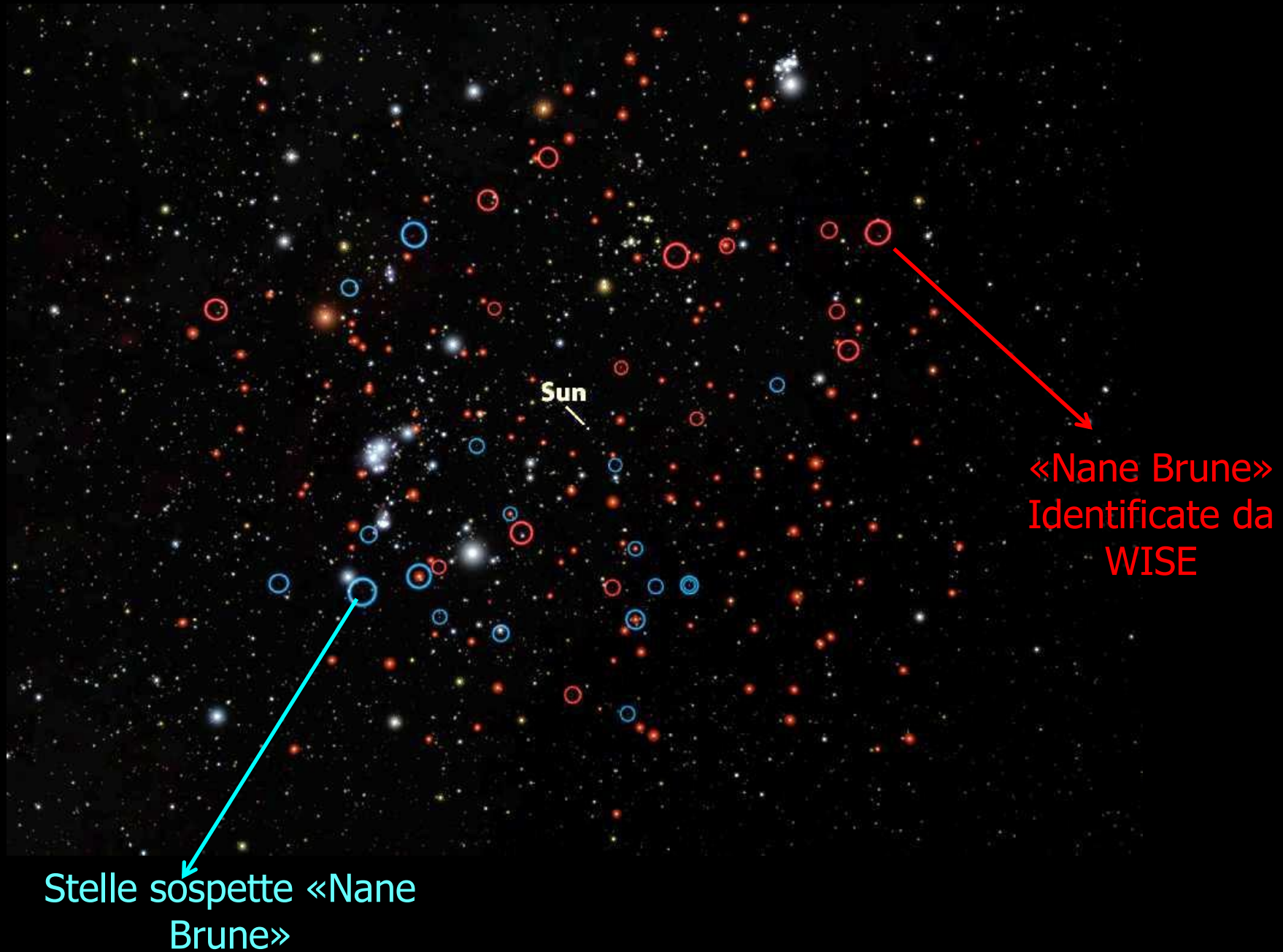
Il meccanismo di rilascio dell'energia per masse  $< 0,012 M_\odot$  è dovuto a lenta contrazione termica

NB anche le "Nane Brune" possono orbitare in un sistema binario.

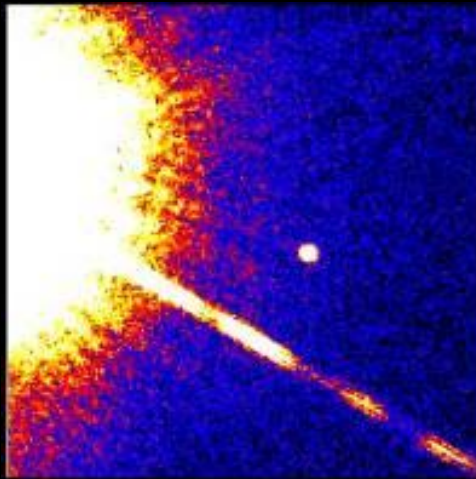
# Alcune delle “Nane Brune” osservate



# Le “Nane Brune” :WISE Wide-field Infrared Survey



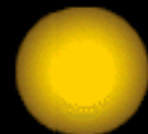
# Il sistema binario Gliese 229 A e B



Vista del Sistema Gliese 229 A e B ottenute con il Telescopio Spaziale HTS

Stella	Gliese 229 A
Distanza	19 a.l.
Tipo spettrale	M1V Nana Rossa
Massa	$0,31 M_{\odot}$
Età	--- Gyr
Raggio	$0,6 R_{\odot}$
Temperatura	3720 °K
Luminosità	$L=0,0161 L_{\odot}$
Magnitudine Visuale	8,14
Metallicità [Fe/H]	0,2

# La Nana Bruna Gliese 229 B



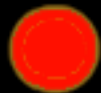
5,2  
Giove  
Saturno



9,58  
Urano



19,14  
Nettuno



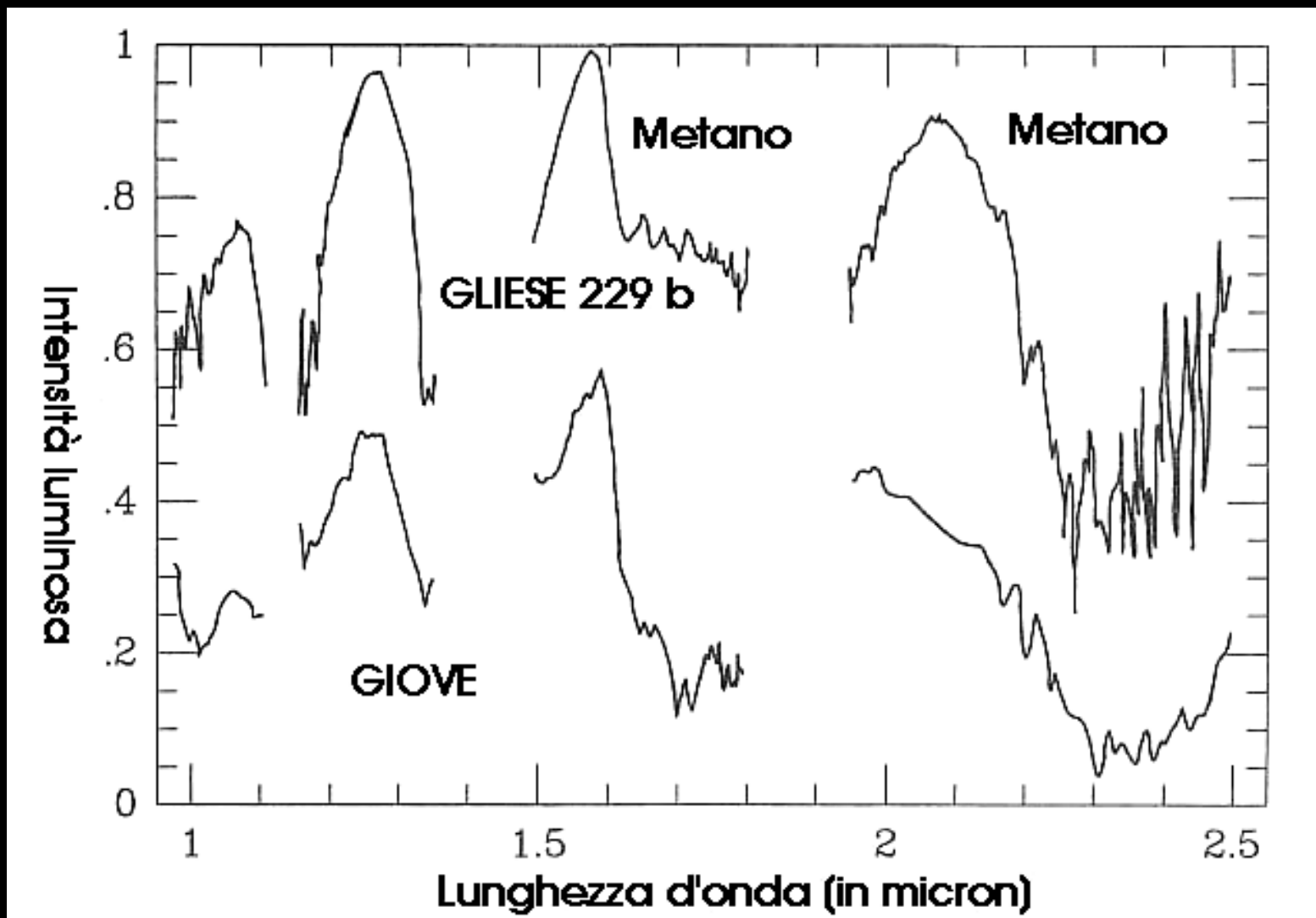
Stella Gliese 229 A tipo spettrale M4V

Gliese 229 B



Nana Bruna	Gliese 299 B
Scoperta nel	1995 Tadashi Nakajima
Tipo spettrale	T7P
Massa	$\sim 40 M_G$ 0,024 - 0,062 $M_\odot$
Raggio	$0,12 R_\odot$
Temperatura	1020 K (media)
Luminosità	$L=5,8 \cdot 10^{-6} L_\odot$
Periodo di rotazione su se stessa	0,2 giorni (circa 6 ore)
Periodo attorno a Gliese 229 A	200 anni
Semiasse Maggiore	40 U.A.

# Lo spettro della Nana Bruna Gliese 229 B confrontato con quello di Giove



# Alcune Nane Brune scoperte

<b>Titolo</b>	<b>Nome della Nana Bruna</b>	<b>Tipo spettrale</b>	<b>Coordinate RA/Dec</b>	<b>Note</b>
Prima Nana Bruna scoperta	Giese 229 B	T6.5	06 <sup>h</sup> 10 <sup>m</sup> 34.62 <sup>s</sup> - 21°51'52.1"	1994
Prima verifica	Teide 1	M8	3 <sup>h</sup> 47 <sup>m</sup> 18.0 <sup>s</sup> +24°22'31"	1995
Prima con un pianeta	2MASSW J1207334-393254	M8	12 <sup>h</sup> 07 <sup>m</sup> 33.47 <sup>s</sup> - 39°32'54.0"	
Sistema binario	Epsilon Indi Ba, Bb	T1 + T6		Distanza: 3,626 pc
Sistema triplo	DENIS-P J020529.0-115925 A/B/C	L5, L8 and T0	02 <sup>h</sup> 05 <sup>m</sup> 29.40 <sup>s</sup> - 11°59'29.7"	
Tardo tipo spettrale	ULAS J0034-00	T9		2007
Con emissione X	Cha Halpha 1	M8		1998
Con brillamenti X	LP 944-20	M9V	03 <sup>h</sup> 39 <sup>m</sup> 35.22 <sup>s</sup> - 35°25'44.1"	1999

# Pianeti extrasolari

# Le unità di misura dei pianeti extrasolari

Nel definire le caratteristiche dei Sistemi extrasolari questi si confrontano con pianeti del Sistema solare ed in particolare con quelle della Terra e di Giove

Pianeta	Distanza	Raggio	Raggio	Massa	Accelerazione di gravità	Densità	Periodo
---	Dist (U.A.)	$R/R_T$	$R/R_G$	$M/M_G$	$g$ (m/s <sup>2</sup> )	$\rho$ (gr/cm <sup>3</sup> )	anni
Terra	1	1	0,091	0,0031	1	5,52	1
Giove	5,2	11	1	1	2,36	1,33	11,8
Saturno	9,5	9	0,818	0,298	0,915	0,69	29,4
Urano	19,2	4	0,363	0,047	0,88	1,29	84,1
Nettuno	30,1	4	0,363	0,053	1,12	1,64	164,8

# L'Enciclopedia dei Pianeti Extrasolari

The screenshot shows the homepage of the Exoplanet.eu website. At the top, there is a navigation bar with links for Inizio, Catalog, Diagrams, Bibliografia, Searches, Congressi, Altri Siti, and VO, along with language icons for English, French, Spanish, Portuguese, German, Polish, Italian, and others. The main content area features a large title "The Extrasolar Planets Encyclopaedia". Below it, there is a brief history: "Prima versione: Febbraio 1995", "Jean Schneider, CNRS/LUTH - Osservatorio di Parigi", "Last update: 31 gennaio 2013 (862 planets)", and a note to report problems to "vo.exoplanet@obspm.fr". On the right side, there are two main sections: "Catalog" (represented by a grid icon) and "Diagrams" (represented by a 3D pie chart icon). Both sections have descriptions: "Catalog" describes filter, sort, export — arbitrary data manipulations with the Extrasolar Planets Encyclopaedia; "Diagrams" describes analyzing the Extrasolar Planets Encyclopaedia data online with a simple plotting tool. Below these, there are several other sections: "News", "Informazioni introduttive", "Bibliografia", "Searches", "Congressi", "Lavoro teorico", "Altri siti", and "Other tools", each with a last update date.

Inizio Catalog Diagrams Bibliografia Searches Congressi Altri Siti VO

**The Extrasolar Planets Encyclopaedia**

Prima versione: Febbraio 1995  
Jean Schneider, CNRS/LUTH - Osservatorio di Parigi  
Last update: 31 gennaio 2013 (862 planets)  
Please report any problems to [vo.exoplanet@obspm.fr](mailto:vo.exoplanet@obspm.fr)

**Catalog**  
Filter, sort, export — arbitrary data manipulations with the Extrasolar Planets Encyclopaedia

**Diagrams**  
Analyze the Extrasolar Planets Encyclopaedia data online. Simple plotting tool right in the browser

**News**

**Informazioni introduttive**  
Last update: 17 maggio 2012

**Bibliografia**  
Last update: 17 maggio 2012

**Searches**  
Last update: 18 aprile 2012

**Congressi**  
Last update: 17 maggio 2011

**Lavoro teorico**  
Last update: 03 aprile 2012

**Altri siti**  
Last update: 16 aprile 2012

**Other tools**  
Last update: 16 aprile 2012

**22 settembre 2011** KIC 10905746 b e KIC 6185331 b:  
i primi 2 Kepler candidati pianeti transitanti rivelati da PlanetHunters (Fischer et al.).

**15 settembre 2011** Kepler-16 (AB)b : il primo pianeta transitante attorno a un binaria (Doyle et al.)

**12 settembre 2011** 41 nuovi pianeti HARPS tra cui 16 Super-Terre - Mayor et al.) et 23 nuovi pianeti WASP. HD 97658 b è un pianeta transitante (Henry et al.).

**31 agosto 2011** Un pianeta abitabile attorno a HD 85512? E cinque altre super-Terre (Pepe et al.). PSR 1719-14 b: un nuovo pianeta attorno a una pulsar (Bailén et al.).

**02 febbraio 2011** 6 pianeti attorno alla stella Kepler-11, tutti transitanti (Lissauer et al.)

Dove trovare le informazioni sui pianeti extrasolari?

Enciclopedia dei Pianeti Extrasolari (in italiano)

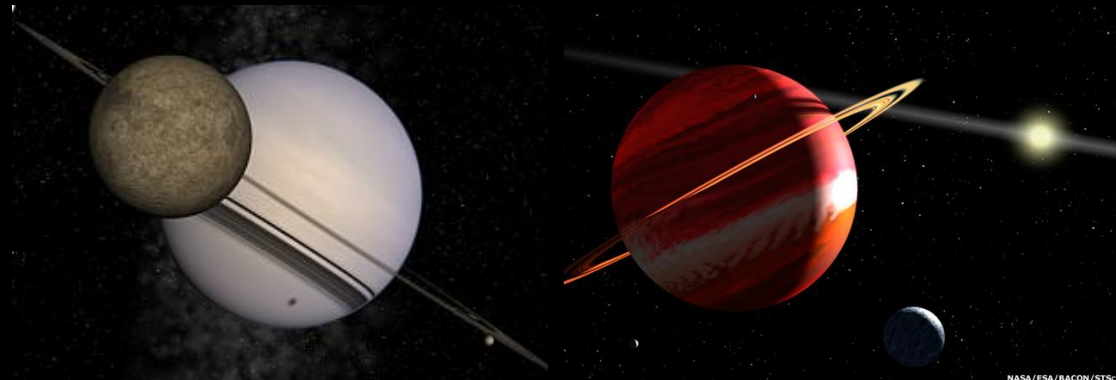
All'indirizzo web: <http://exoplanet.eu/>

# Sistemi extrasolari confermati-2018

I candidati pianeti extrasolari rivelati al 25-01-2018 sono 3728 Sistemi planetari; 2974 pianeti (622 sistemi multipli)

Metodi indiretti

Con il metodo delle velocità radiali: 743 Sistemi planetari; 553 pianeti (133 sistemi multipli)



NASA/ESA/BACON/STScI

Con il metodo delle occultazioni (transiti): 2780 Sistemi planetari; 2083 pianeti transitano davanti alla stella (459 sistemi multipli)

Con il metodo delle microlenti gravitazionali 65 Sistemi planetari; 63 pianeti (3 sistemi multipli)



Copyright (C) 2005, by Falak Sulehra, http://www.novacelzia.com

Metodi diretti

Con immagini 92 Sistemi planetari; 82 pianeti ( 5 sistemi multipli)



Metodi radioastronomici (pulsar)

Con timing 28 Sistemi planetari; 22 pianeti (5 sistemi multipli)

Fonte : <http://exoplanet.eu> NB: le immagini sono elaborazioni artistiche di fantasia

# I metodi di osservazione dei pianeti extrasolari

## Perturbazioni gravitazionali sullo spettro

Il pianeta passando in prossimità della stella “perturba” la luminosità della stella stessa. Questa perturbazione si può evidenziare come un **effetto periodico sulla posizione delle righe spettrali della stella** purché sia più intensa delle sue perturbazioni cromosferiche e coronali.

## Perturbazioni gravitazionali sulla curva di luce (fotometriche o transiti)

Nel caso in cui il passaggio del pianeta avvenga lungo la linea di vista il pianeta eclissa la stella. Le **variazioni periodiche fotometriche** dell'eclisse rivelano l'esistenza del pianeta.

## Microlenti gravitazionali

I pianeti ruotando attorno alla stella **deflettono la luce della stella** producendo una amplificazione della luminosità osservata.

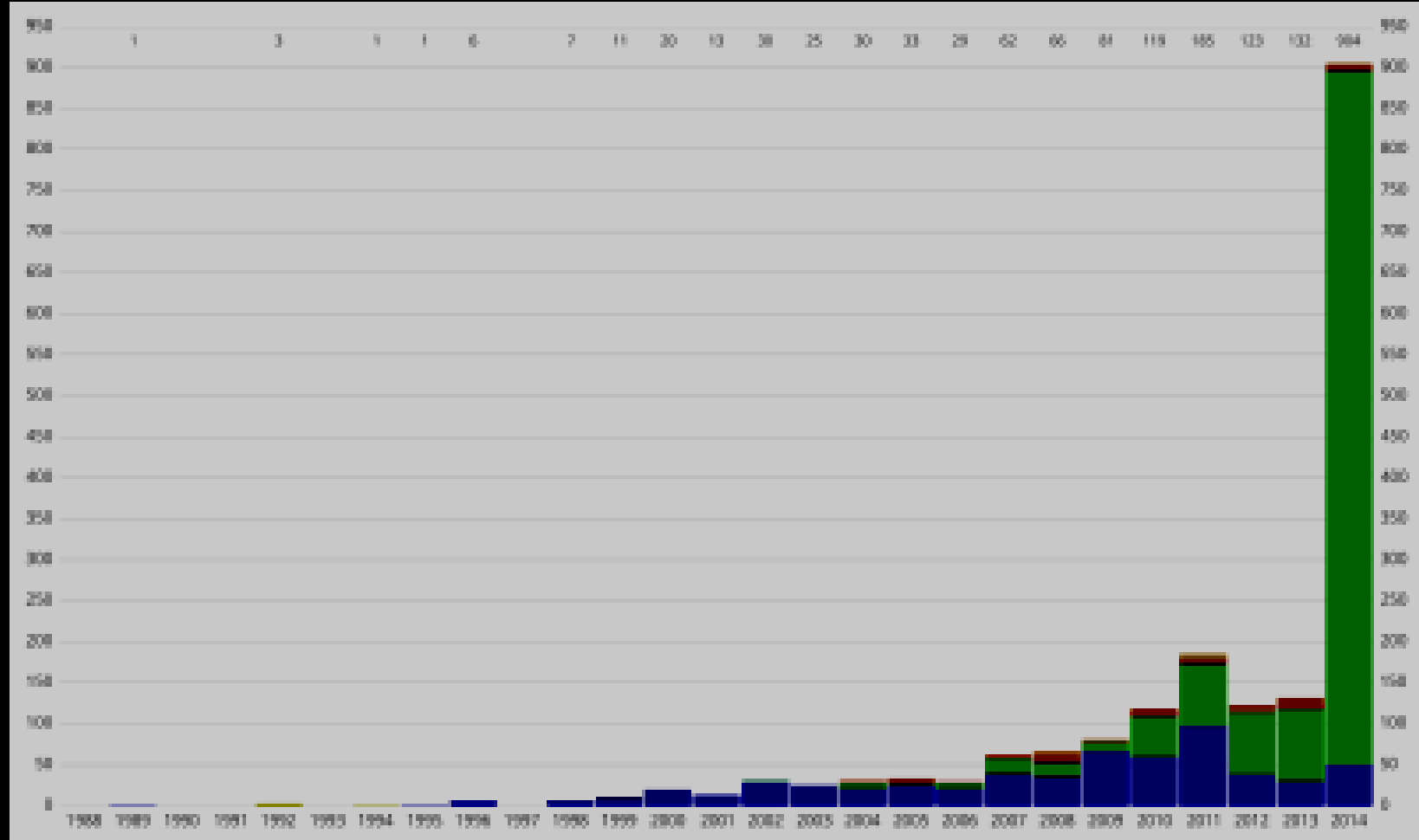
## Metodi diretti (Imaging)

In alcuni casi particolari è persino possibile **l'osservazione diretta** dei pianeti separati dalla stella.

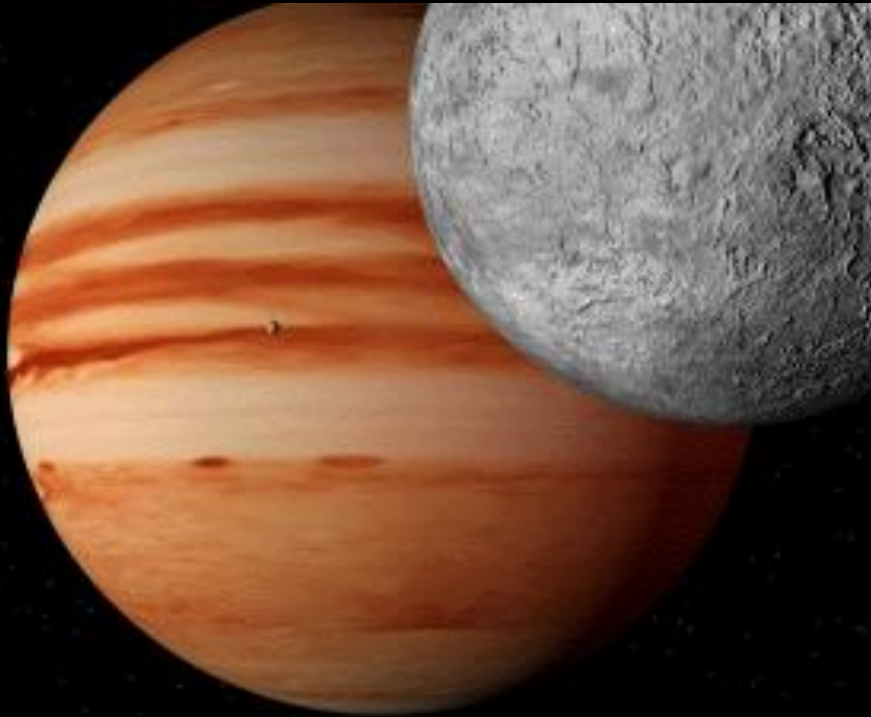
## Ricerca di radio emissione (Timing)

Attorno ad alcune pulsar si osservano pianeti il cui effetto è di indurre **sottoperiodi** nel periodo principale della Pulsar (radio)

# I metodi di osservazione dei pianeti extrasolari statistica al 2014



# I pianeti extrasolari-nomenclatura



I Pianeti extrasolari prendono il nome della stella principale a cui si aggiunge una lettera latina (minuscola) b-c .... (NB a partire da b!)

es 55 Cancri la stella → 55 Cancri b-c-d-e : quattro pianeti extrasolari

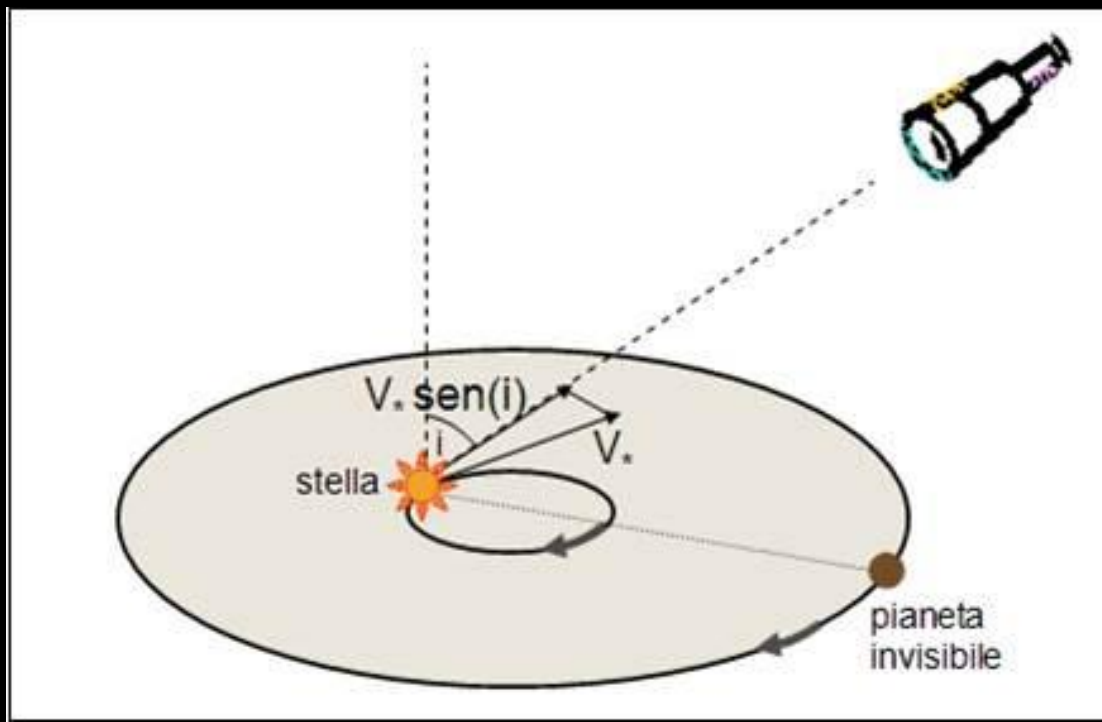
Le immagini dei pianeti, escluse le mappe stellari, sono disegni elaborati sulla base delle caratteristiche, in parte supposte in parte ricavate dalle osservazioni

# Metodo spettroscopico

## Velocità radiali

# I metodi indiretti-perturbazioni gravitazionali

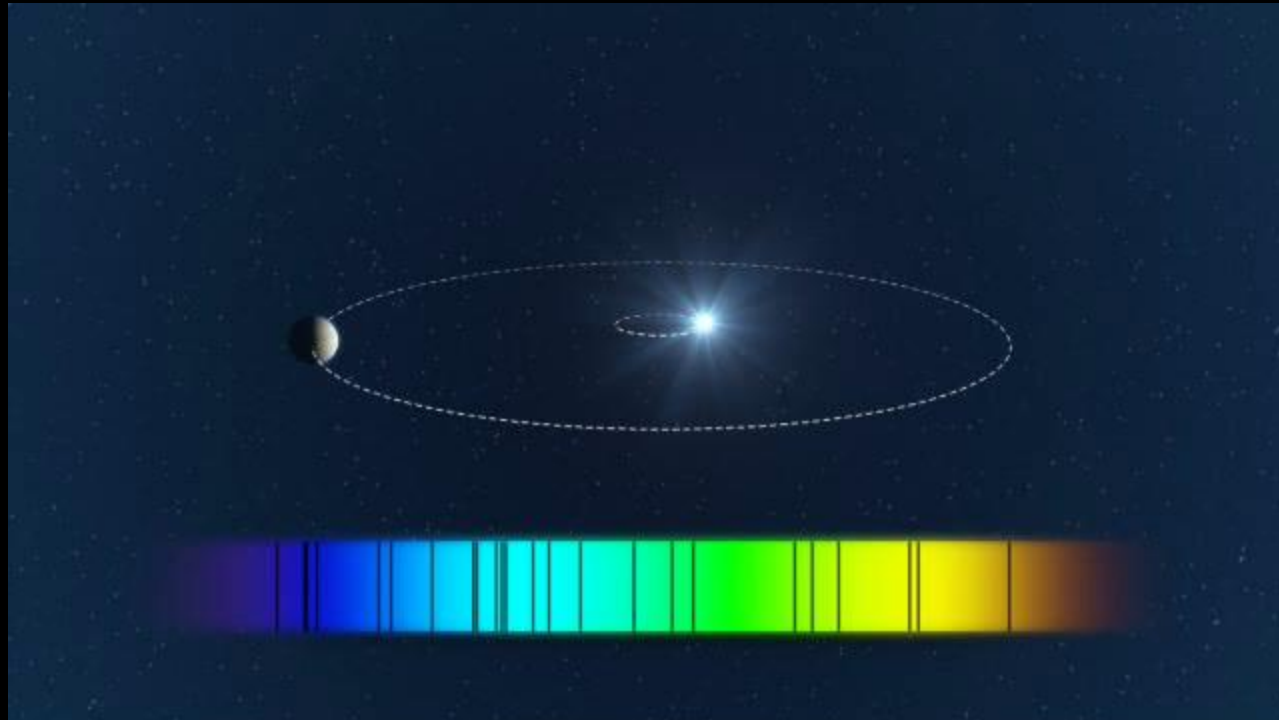
## La spettroscopia



➤rilevazione indiretta *metodo spettroscopico*

Le tecniche spettroscopiche sono basate sulle misure degli spostamenti periodici verso il blu o verso il rosso (per effetto Doppler) delle linee spettrali della stella.

# Metodo delle velocità radiali

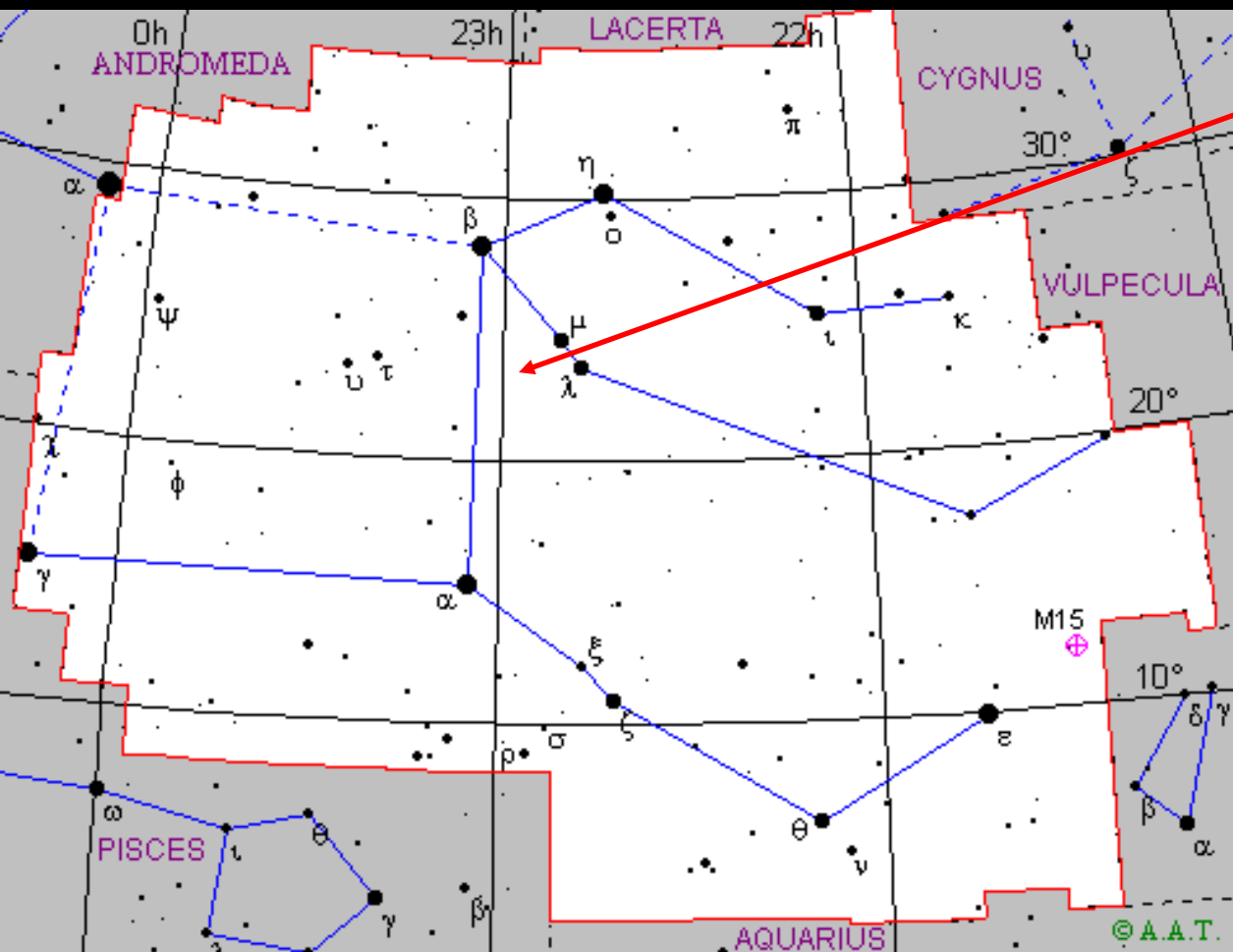


# «Visibilità» dei pianeti extrasolari

## rilevazione indiretta *metodo spettroscopico*

Planet	Tipo Planetario	Semiasse maggiore (U.A.)	Periodo orbitale	Velocità radiale (m/s)	Visibile con :
<u>51 Pegasi b</u>	<u>Hot Jupiter</u>	0,05	4,23 giorni	55,9	Spettroografi prima generazione
<u>55 Cancri d</u>	<u>Gigante gassoso</u>	5,77	14,29 anni	45,2	Spettroografi prima generazione
<u>Giove</u>	<u>Gigante gassoso</u>	5,20	11,86 anni	12,4	Spettroografi prima generazione
<u>Gliese 581c</u>	<u>Super-terra</u>	0,07	12,92 giorni	3,18	<b>Spettroografi seconda generazione</b>
<u>Saturno</u>	<u>Gigante gassoso</u>	9,58	29,46 anni	2,75	<b>Spettroografi seconda generazione</b>
<u>Alpha Centauri Bb</u>	<u>Pianeta terrestre</u>	0,04	3,23 giorni	0,510	<b>Spettroografi seconda generazione</b>
<u>Nettuno</u>	<u>Gigante ghiacciato</u>	30,10	164,79 anni	0,281	Spettroografi terza generazione
<u>Terra</u>	<u>Pianeta abitabile</u>	1,00	365,26 giorni	0,089	Spettroografi terza generazione (forse)
<u>Plutone</u>	<u>Pianeta Nano</u>	39,26	246,04 anni	0,00003	Impossibile

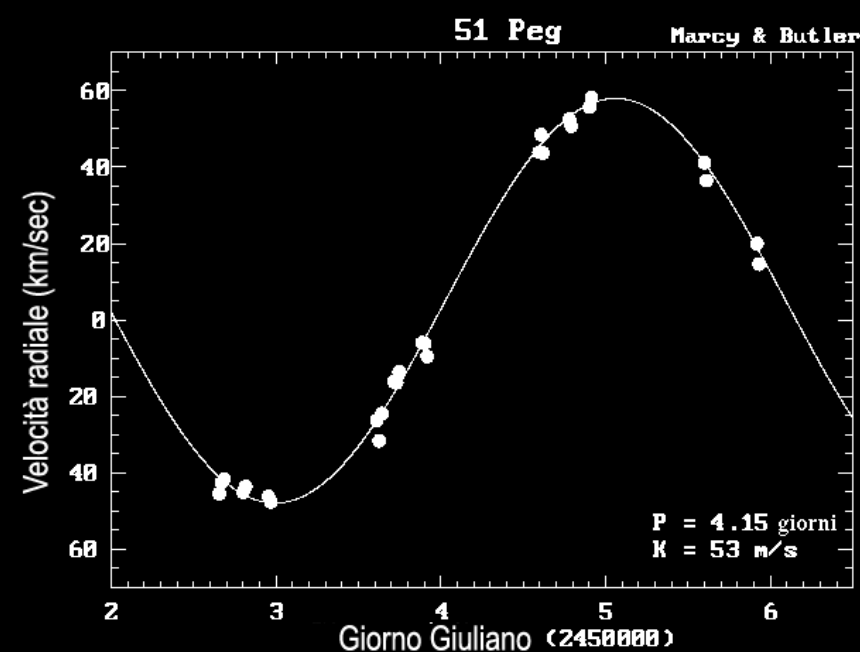
# Il sistema stellare 51 Pegasi



Stella	51 Pegasi
Distanza	48 a.l.
Tipo spettrale	G2IV Sequenza Principale
Massa	1,11 $M_{\odot}$
Età	4 Gyr
Raggio	1,266 $R_{\odot}$
Temperatura	5793 °K
Luminosità	$L=1,32 L_{\odot}$
Magnitudine Visuale	5,49
Metallicità [Fe/H]	0,2

# Il sistema planetario 51 Pegasi b

## Metodo spettroscopico delle velocità radiali

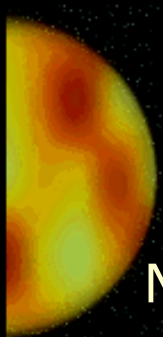


Pianeta	51 Pegasi b
Scoperto nel	1995
Semiasse maggiore orbita	0,052 U.A.
Massa	$0,468 M_G$ masse di Giove
Massa	$149 M_T$ masse terrestri
Inclinazione	$80,9^\circ$
Periodo orbitale	4,23 giorni
Eccentricità	0
Molecole	CO, H <sub>2</sub> O

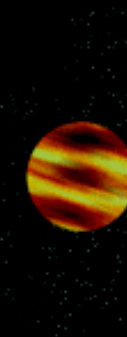
# Il sistema planetario 51 Pegasi b - Hot Jupiters

Metodo spettroscopico delle velocità radiali

Sole

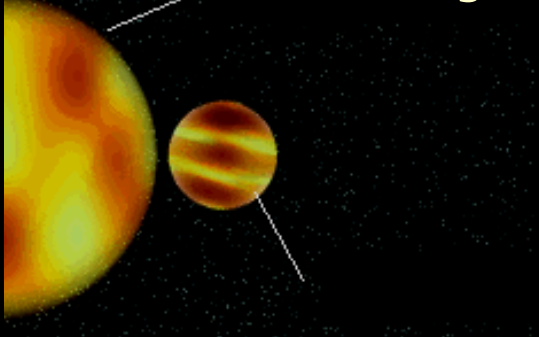


Giove



Nel Sistema solare Giove dista dal Sole 5,2 U.A.

La stella 51 Pegasi



Il Sistema extrasolare 51 Pegasi

Periodo orbitale=4,23077 giorni

Semi-asse maggiore dell'orbita=0,052 U.A.

Massa del pianeta  $\sim 0,468$  Masse di Giove

Il pianeta 51 Pegasi b

Confronto tra la collocazione del pianeta Giove nel nostro Sistema solare (in alto) e la disposizione planetaria nel Sistema extrasolare di 51 Pegasi b (in basso)

# Metodo fotometrico Transiti

# Metodo dei transiti

Se il pianeta si muove di fronte alla sua stella la luce diminuirà, seppur debolmente, in funzione delle dimensioni del pianeta.

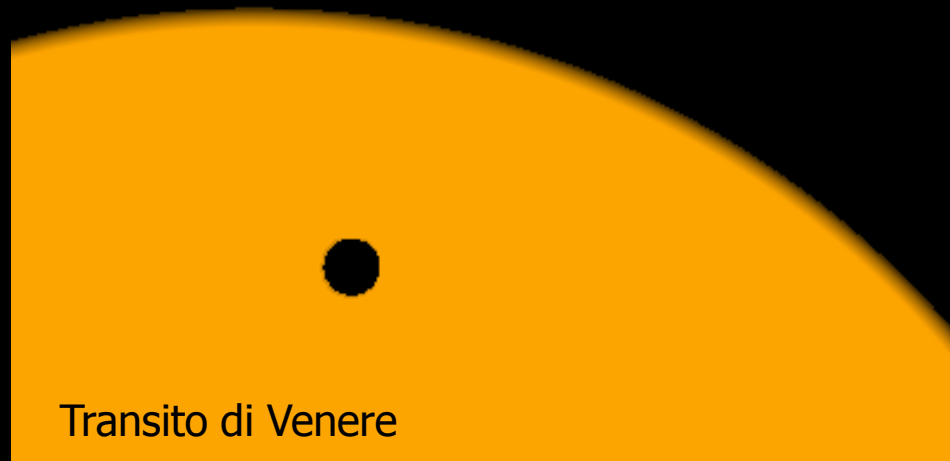
E' più facile che l'effetto di "transito" si verifichi con pianeti di dimensioni simili a quelle di Giove.

Perché si verifichi il "transito" il piano dell'orbita del pianeta deve essere lungo la linea di vista.

Transito di Mercurio



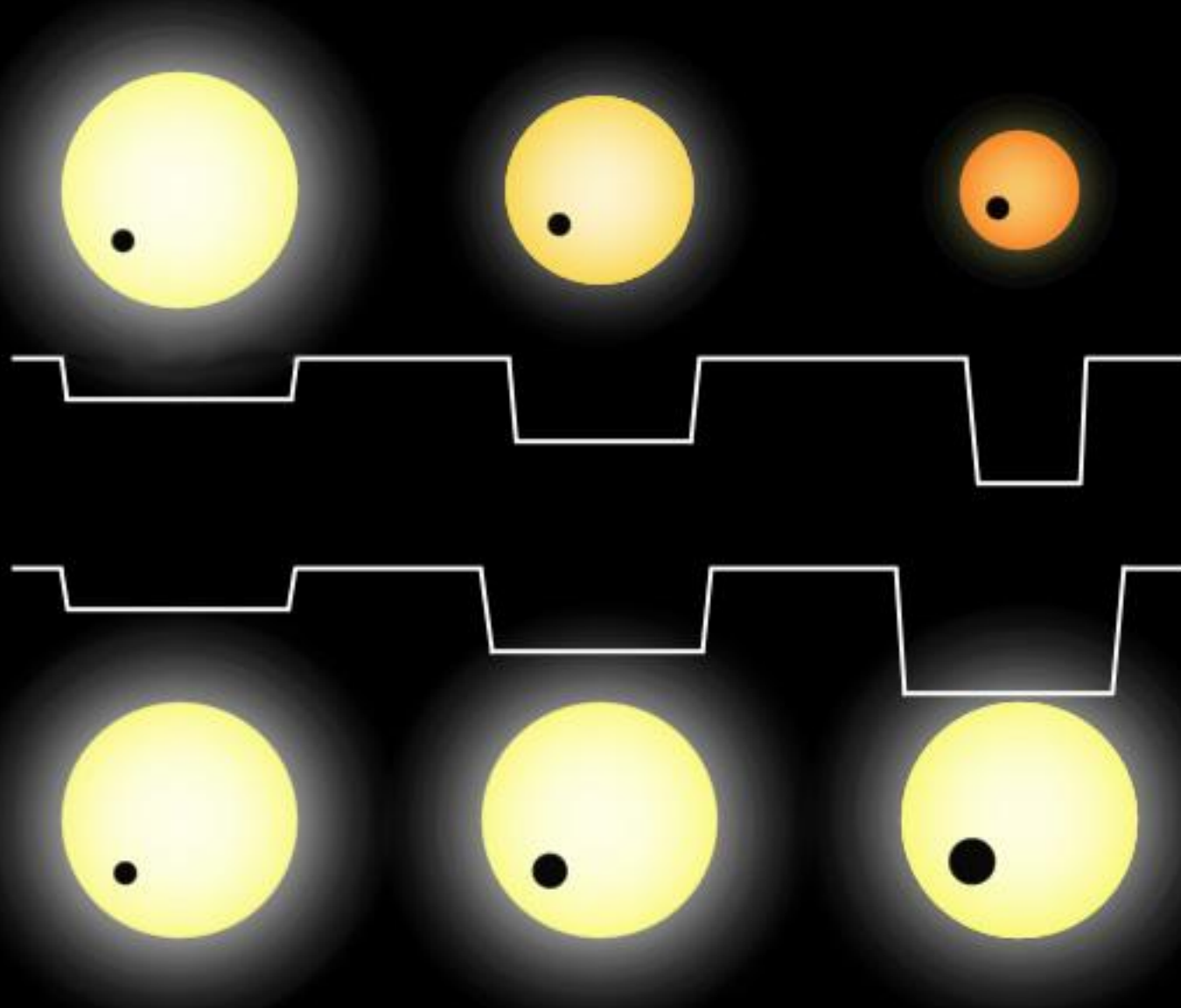
Transito di Venere



Transito di Giove (rappresentazione artistica)



# Metodo dei transiti e curva di luce fotometrica

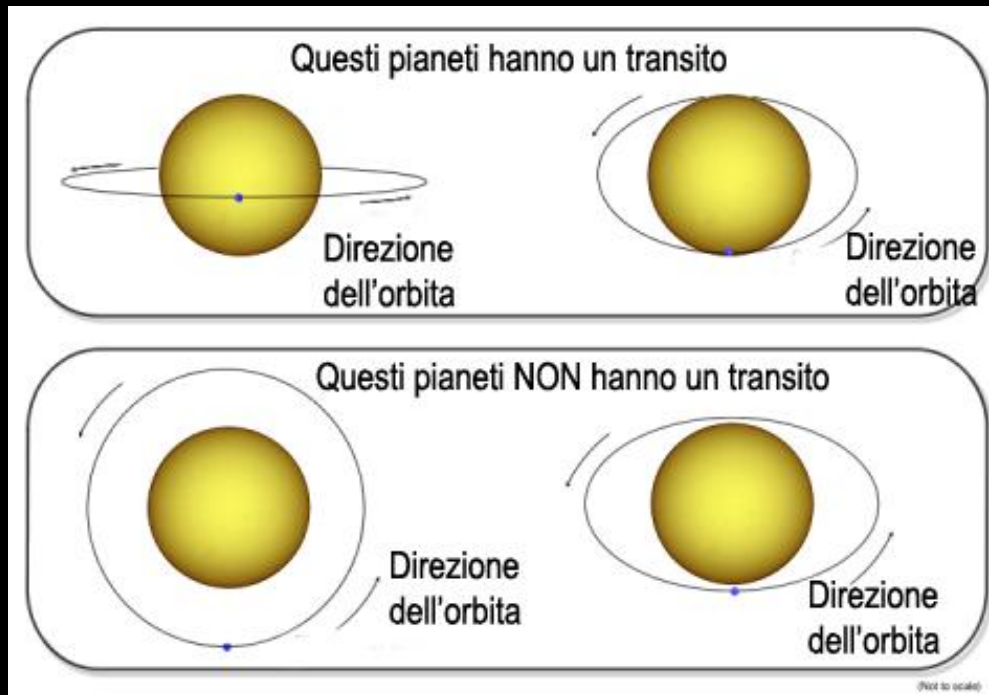


# Transito (animazione)



[www.eso.org](http://www.eso.org)

# Metodo dei Transiti-geometrie ed allineamenti orbitali



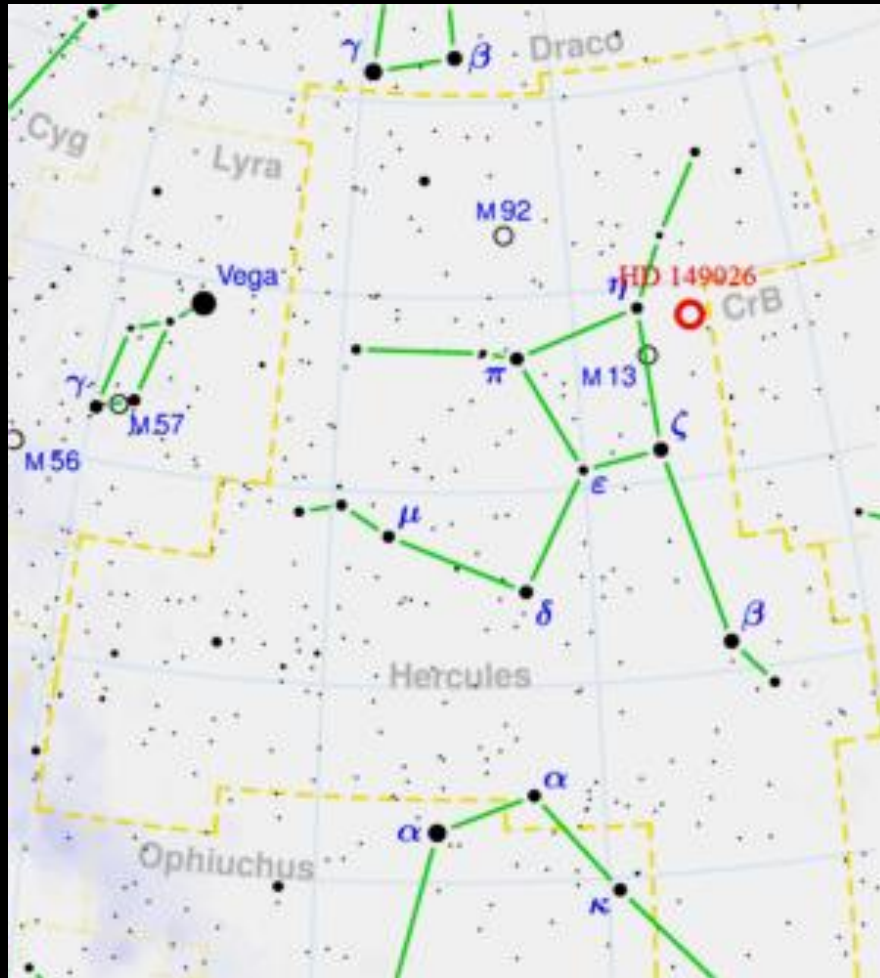
## A favore:

- Si può applicare a stelle lontane
- Il metodo ha sensibilità sufficiente per trovare “pianeti terrestri” di piccola massa
- Permette di calcolare i “diametri planetari” e calcolare le densità
- Può essere utilizzato per scoprire ed analizzare eventuali atmosfere planetarie

## Contro:

- Può individuare solo i pianeti lungo la linea di vista della Terra ~1% dei sistemi extrasolari
- L’osservazione fotometrica è lenta perché va ripetuta su molte orbite planetarie

# La stella HD 149026



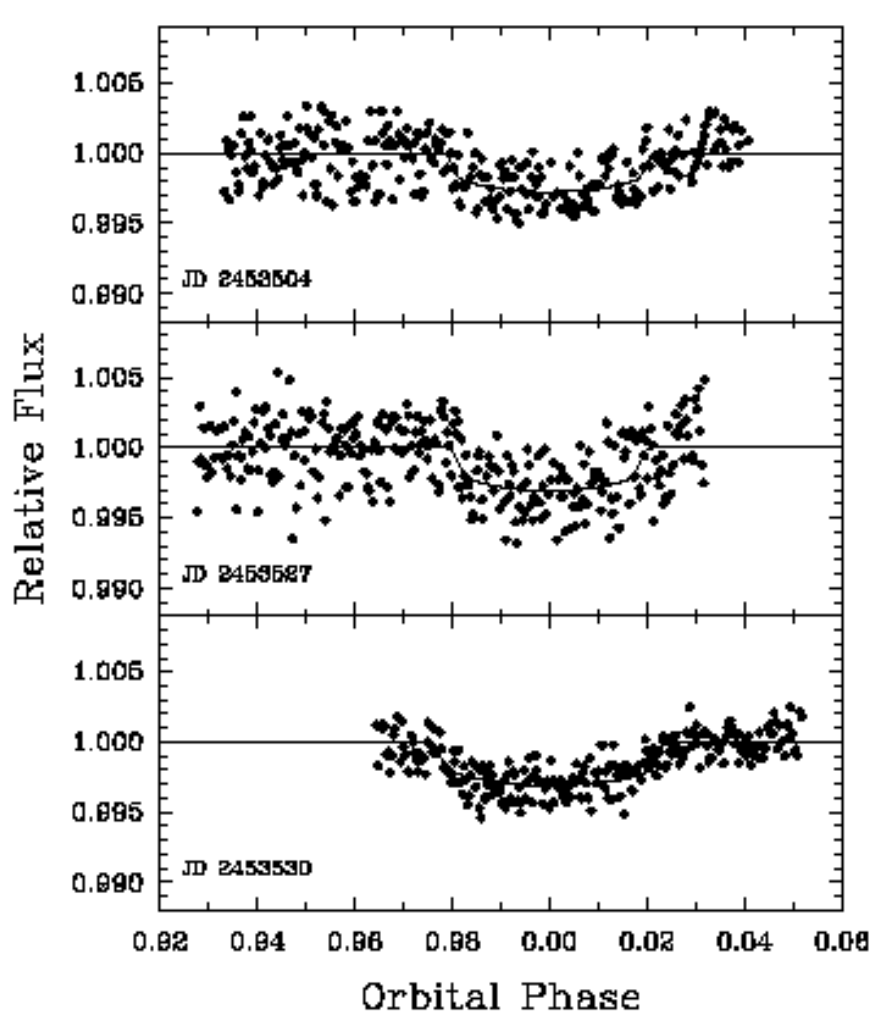
Costellazione di Ercole

Stella	HD 149026
Distanza	257 a.l.
Tipo spettrale	G0 IV
Massa	$1,3 M_{\odot}$
Età	2 Gyr
Raggio	$1,5 R_{\odot}$
Temperatura	6147 °K
Luminosità	$L=2,72 L_{\odot}$
Magnitudine Visuale	8,15
Metallicità [Fe/H]	0,36

# Il pianeta extrasolare HD 149026 b

## Metodo fotometrico dei transiti

- 19 -

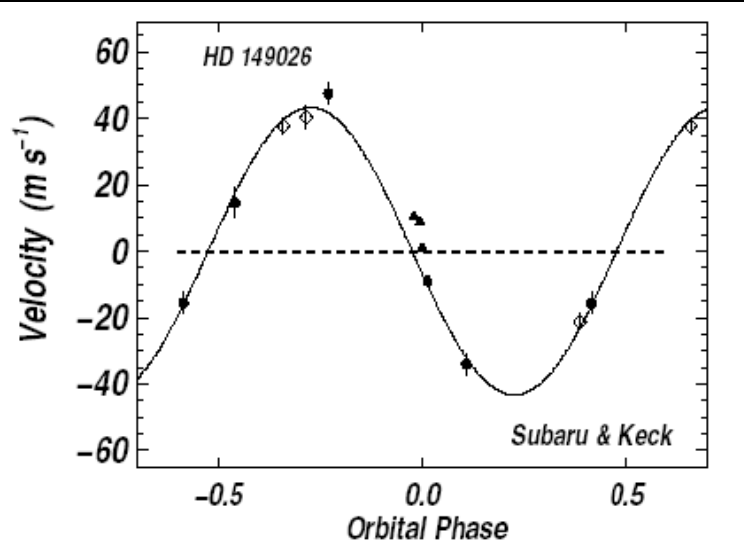


Il sistema extrasolare in HD 149206 oltre che osservabile con il metodo spettroscopico lo è anche con il metodo fotometrico:

1. Ha un pianeta con una massa pari a  $0,356 M_G$  cioè della taglia di Saturno circa  $1,22 M_{\text{Saturno}}$
2. Di questo pianeta extrasolare si osservano le occultazioni sulla stella centrale e questo permette di determinare l'inclinazione del piano dell'orbita rispetto al piano del cielo per cui la misura della massa e del raggio sono esatte !

# Il pianeta extrasolare HD 149026 b

Metodo spettroscopico delle velocità radiali



Pianeta	HD 149026 b
Scoperto nel	2005
Massa	$0,356 M_G$ masse di Giove
Massa	$113,2 M_T$ masse terrestri
Semiasse maggiore orbita	0,043 U.A. (Unità Astronomiche)
Periodo orbitale	2,876 giorni
Raggio	$0,718 R_G$
Raggio	$7,9 R_T$
Densità	$\sim 1,26 \text{ gr/cm}^3$
Inclinazione	$85,3^\circ$
Eccentricità	0

Aggiornato 2014.12.20

# Il pianeta extrasolare HD 149026 b

Metodo spettroscopico delle velocità radiali e metodo fotometrico dei transiti



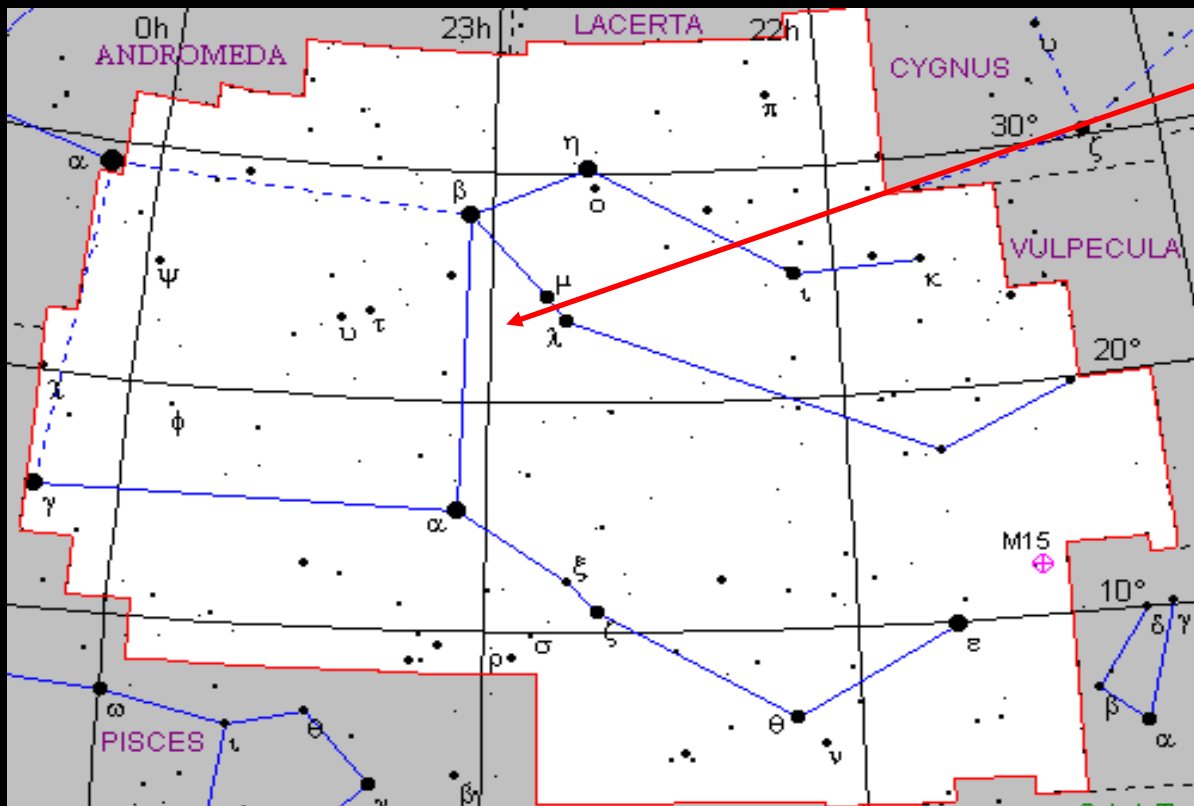
stella G0IV M=1,3 Ms Temp=6147 °K L=2,72 Ls R=1,5 Rs  
pianeta HD 149026 b M=0,356 Mg semiasse=0,043 U.A. Rp=0,72 Rg periodo=2,87 giorni

La stella HD149206 è più grande e luminosa del Sole.

Il pianeta extrasolare HD 149026 b è molto vicino alla sua stella, ha una massa simile a quella di Saturno, un raggio che è quasi 8 volte quello terrestre ed una densità che lo qualifica come un pianeta gassoso ed un periodo di soli 2,87 giorni.

Metodo diretto  
Imaginig

# La stella HR8799-stella variabile



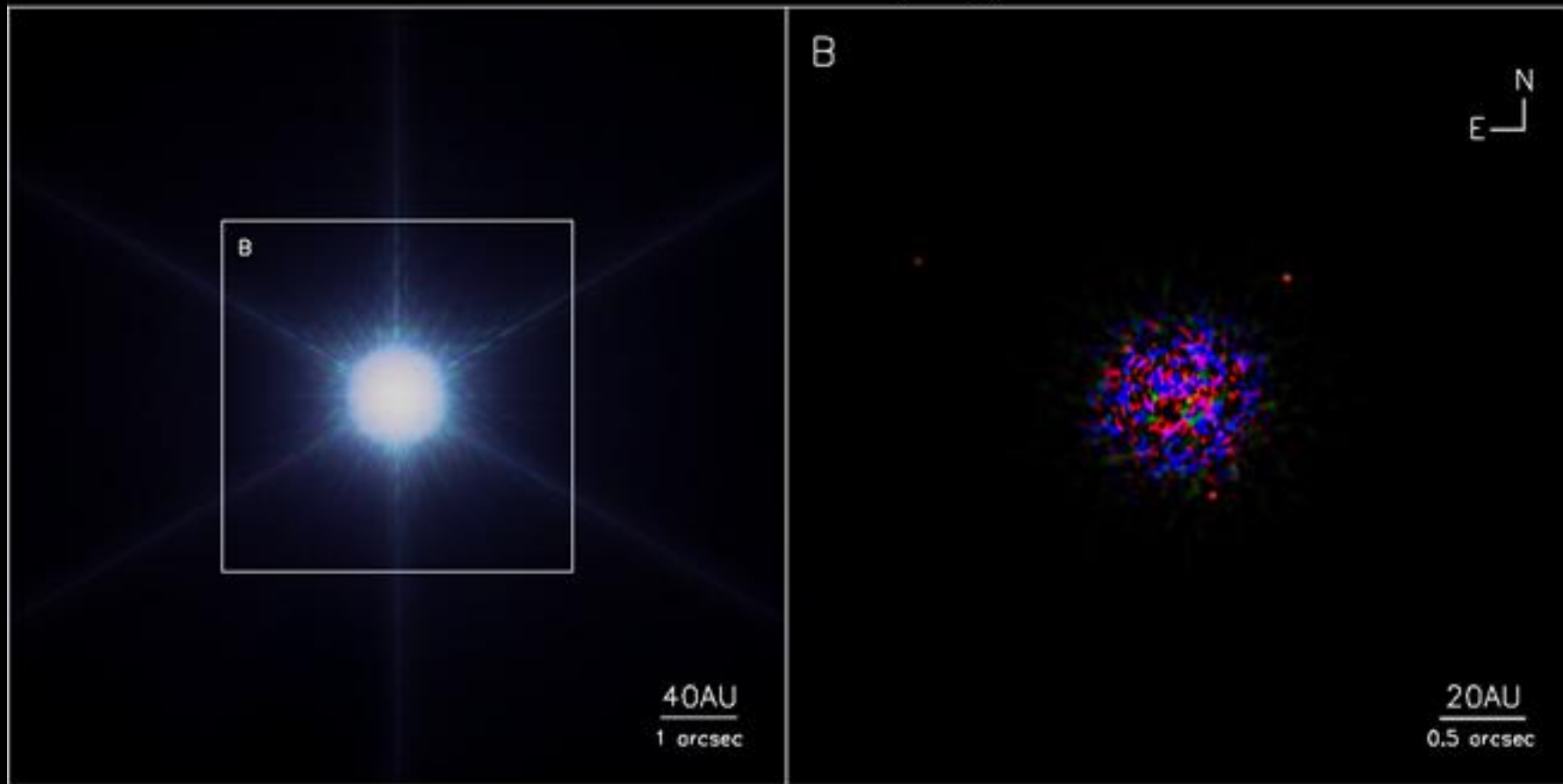
Costellazione di Pegaso

Stella	HR8799
Distanza	129 a.l.
Tipo spettrale	A5 V Sequenza principale
Massa	1,56 $M_{\odot}$
Età	0,06 Gyr
Raggio	1,5 $R_{\odot}$
Temperatura	7430 °K
Luminosità	$L=4,92 L_{\odot}$
Magnitudine Visuale	5,96
Metallicità [Fe/H]	-0.47

# I pianeti HR8799 b,c,d

Metodo dell'imaging

HR 8799 Planetary System

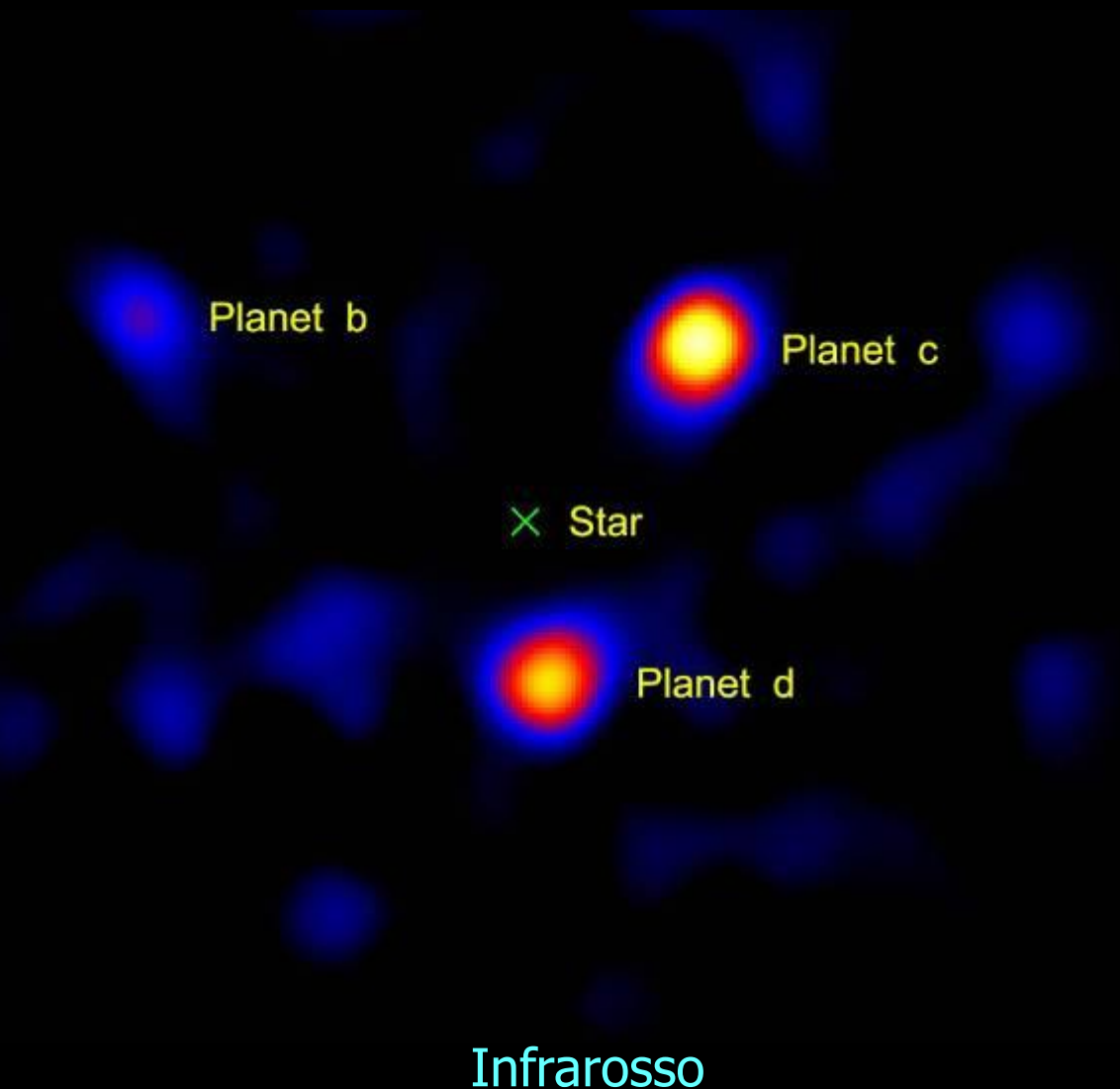


Visible

Infrarosso

# I pianeti HR8799 b,c,d

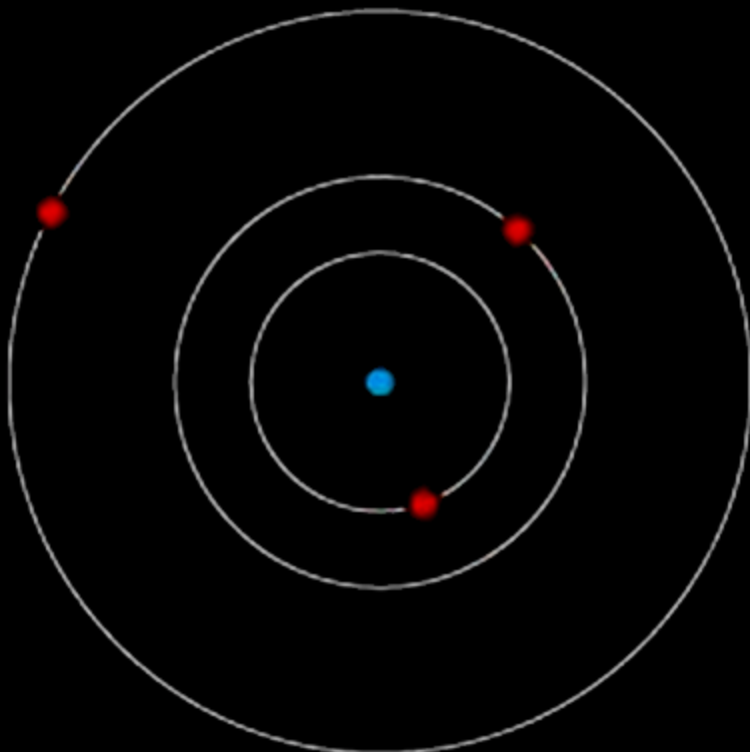
## Metodo dell'imaging (Vortex Coronagraph)



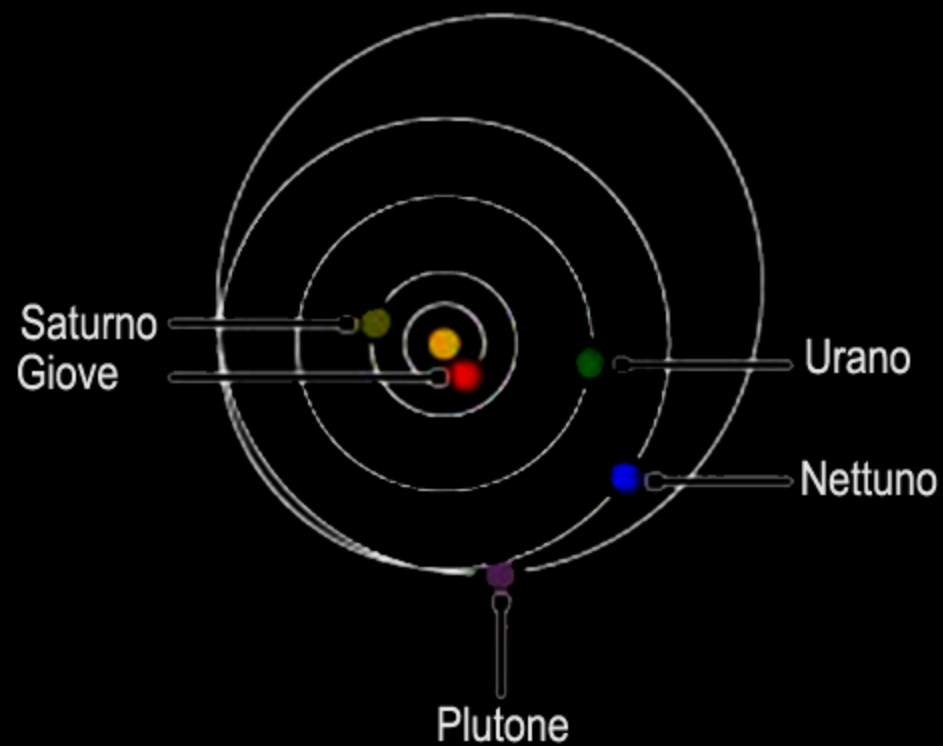
# I pianeti HR8799 b,c,d

Metodo dell'imaging

Il sistema planetario HR 799



Il nostro Sistema solare



# I pianeti HR8799 b,c,d,e

## Metodo dell'imaging



Urano  
Nettuno

Aggiornato 2014.12.20  
NB i valori planetari sono  
molto incerti

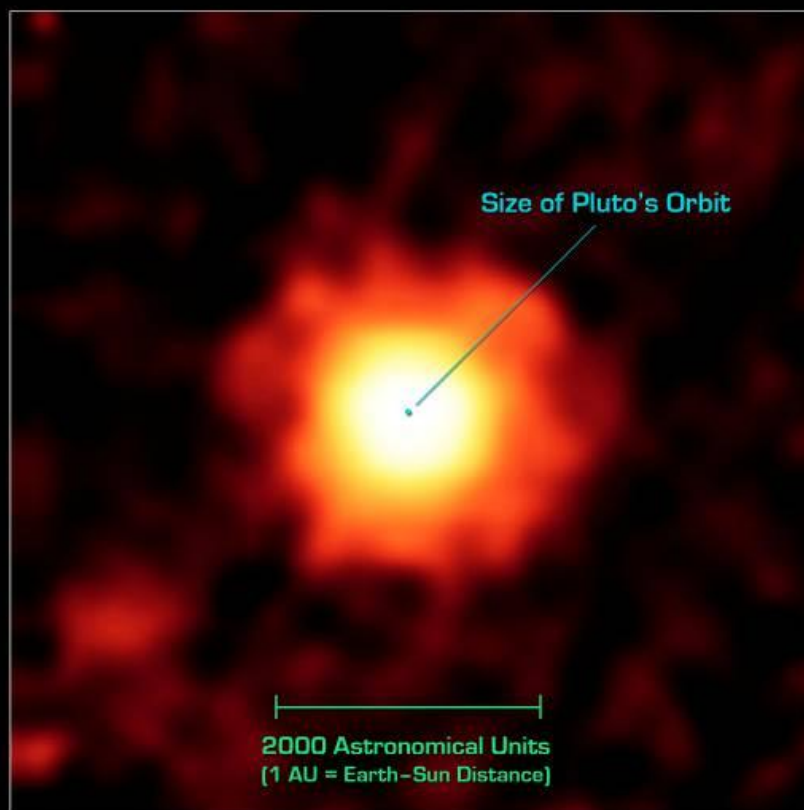


Stella HR 8799 A5V M=1,56 Ms Temp=7430°K L=4,92 Ls R=1,5 Rs  
pianeta HR 8799 b M=7 Mg semiasse=68 U.A. HR 8799 c M=10 Mg semiasse=43 U.A.  
pianeta HR 8799 d M=10 Mg semiasse=27 U.A. HR 8799 e M=9 Mg semiasse=14,5 U.A.

Pianeta	HR8799 e	HR8799 d	HR7999 c	HR7999 b
Scoperto nel	2008	2008	2008	2008
Massa	9 M <sub>G</sub> masse di Giove	10 M <sub>G</sub> masse di Giove	10 M <sub>G</sub> masse di Giove	7 M <sub>G</sub> masse di Giove
Massa	2860 M <sub>T</sub> masse terrestri	3178 M <sub>T</sub> masse terrestri	3178 M <sub>T</sub> masse terrestri	2224 M <sub>T</sub> masse terrestri
Semiasse maggiore orbita	~14,5 U.A. (Unità Astronomiche)	~ 27 U.A. (Unità Astronomiche)	~42,9 U.A. (Unità Astronomiche)	~ 68 U.A. (Unità Astronomiche)
Periodo orbitale	18000 giorni	41054 giorni	82145 giorni	164250 giorni
Periodo orbitale	~ 100 anni	~ 112 anni	~ 225 anni	~ 450 anni
Raggio	-	1,2 R <sub>G</sub>	1,3 R <sub>G</sub>	1,2 R <sub>G</sub>
Inclinazione		28°	28°	28°
Eccentricità	-	0,1	0	0

# I pianeti HR8799 b,c,d,e

## Metodo dell' imaging



Debris Disk around Star HR 8799  
Spitzer Space Telescope • MIPS

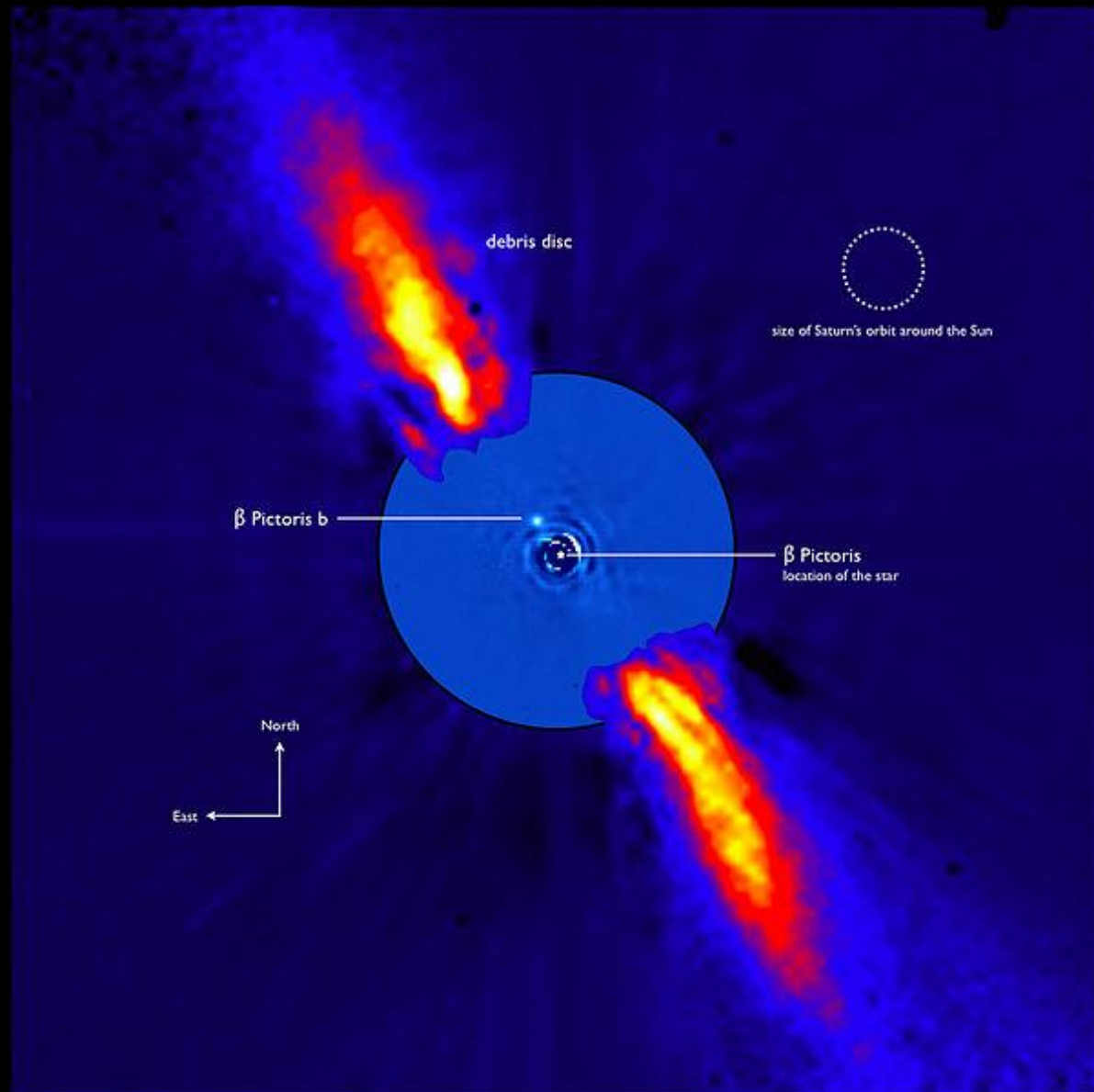
NASA / JPL-Caltech / K. Su (Univ. of Arizona)

sig09-008

Cintura asteroidale a circa 75 U.A.

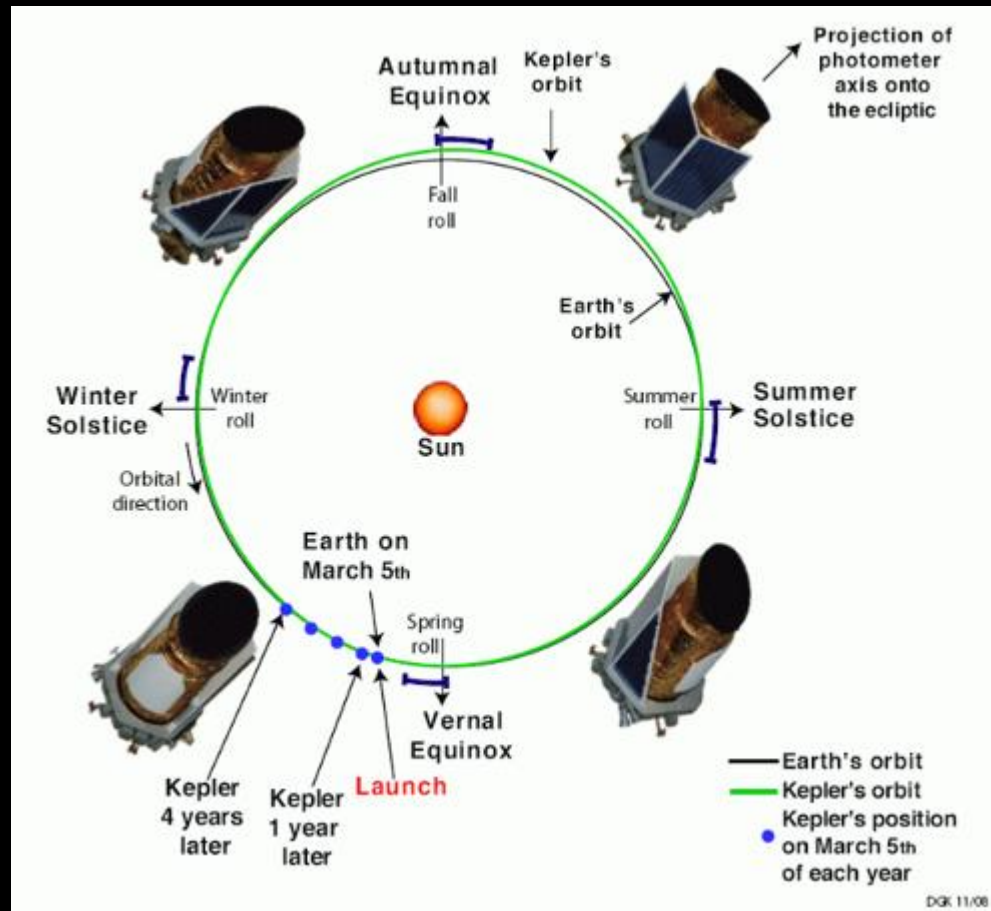
# Beta Pictoris

## Metodo dell'imaging (Coronagrafo)

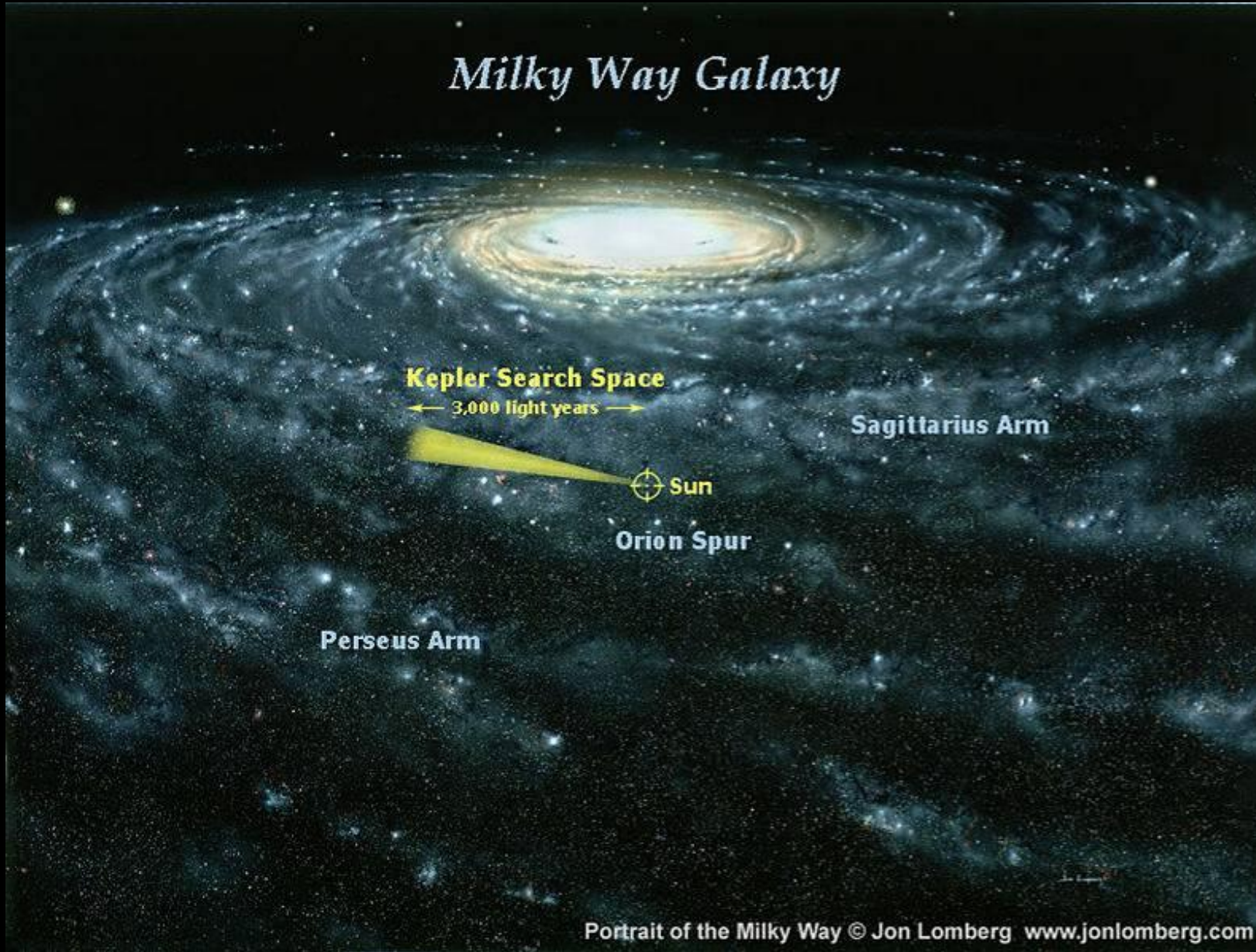


# Il telescopio Kepler e le «super-terre»

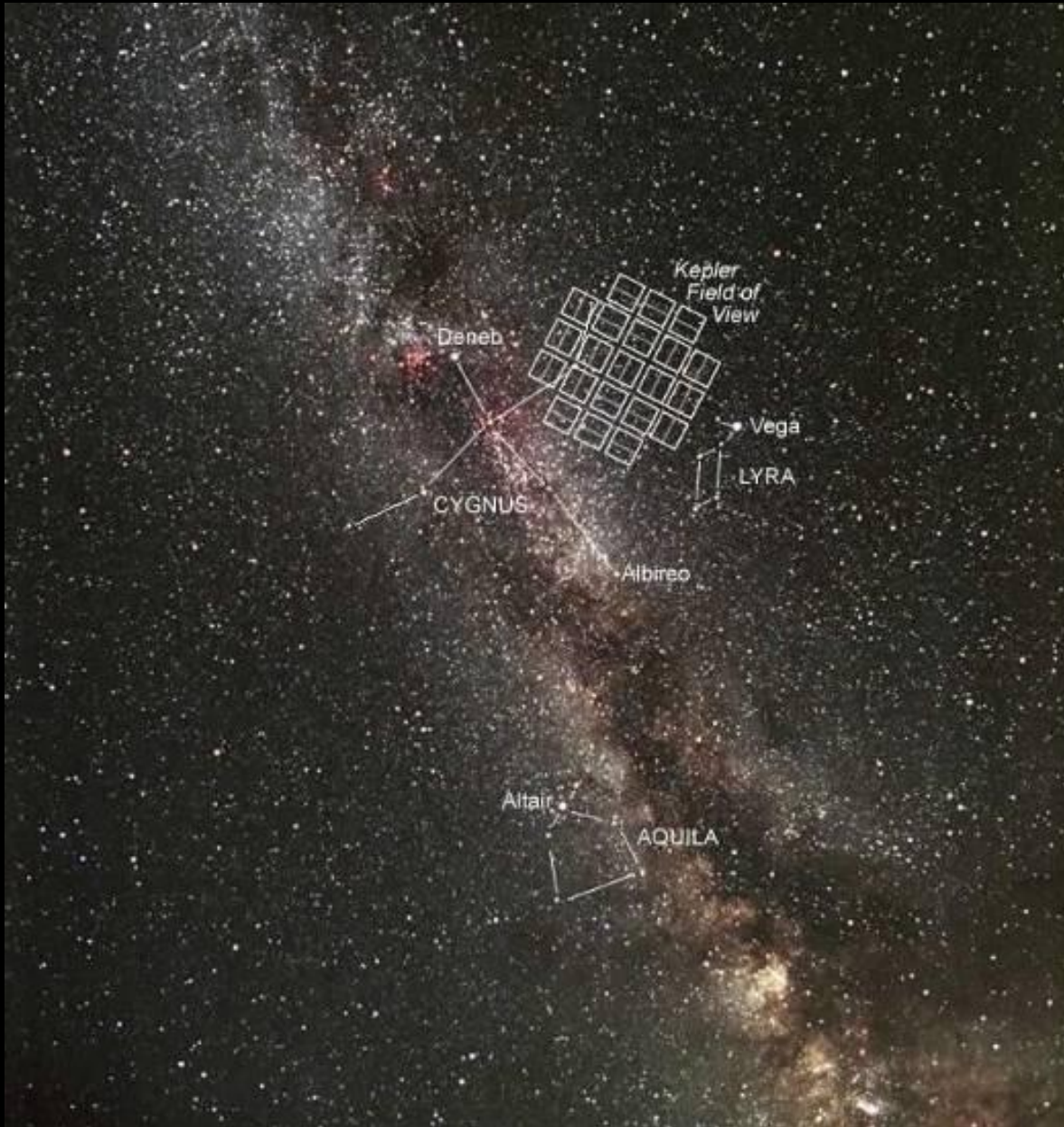
# Il telescopio Kepler



# Raggio d'azione del telescopio Kepler

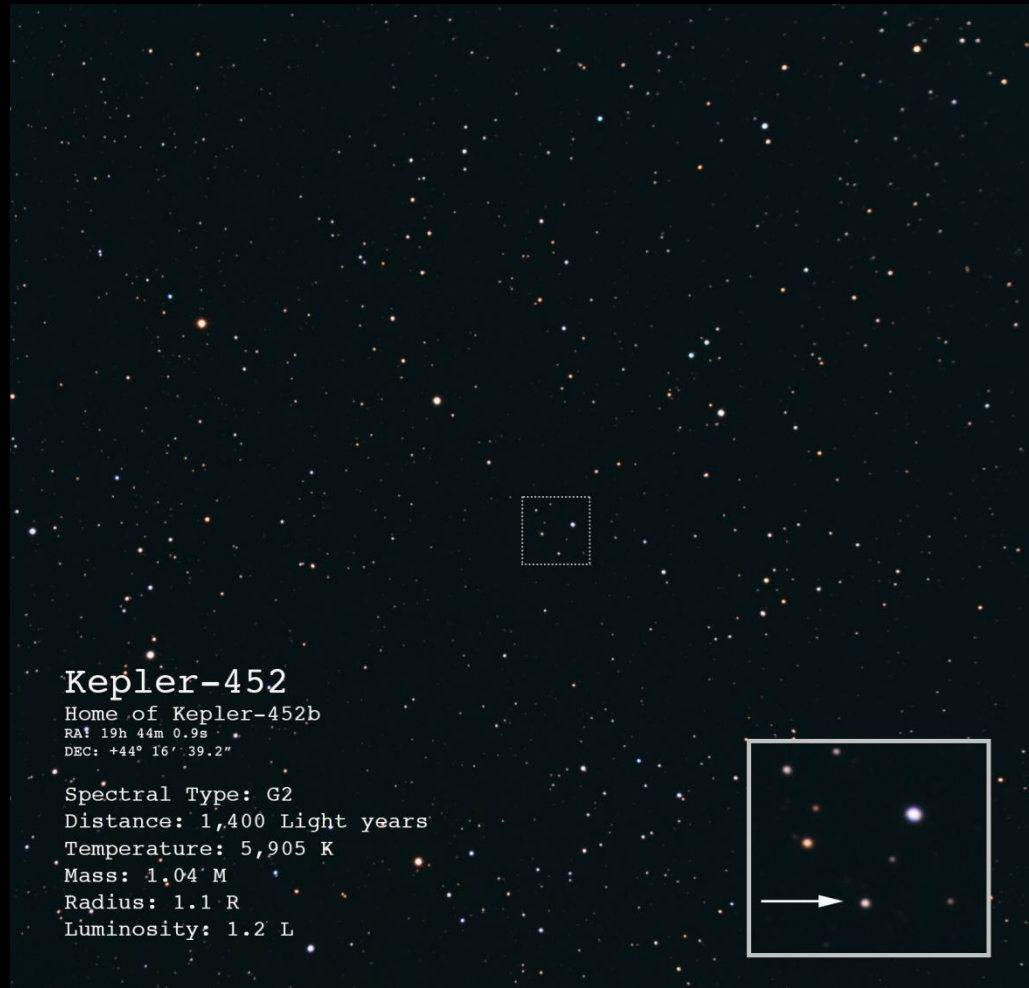


# Il telescopio Kepler-area di selezione nel cielo



# Il sistema planetario Kepler 22

# La stella Kepler 452

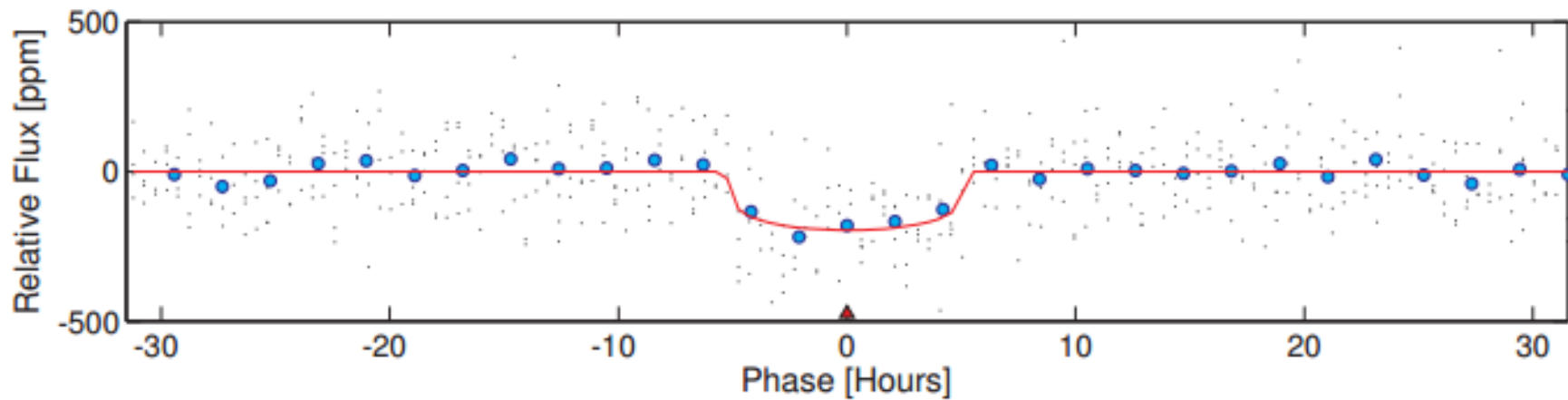


Stella	Kepler 452
Distanza	1400 a.l.
Tipo spettrale	G2
Massa	$1,04 M_{\odot}$
Età	6 Gyr
Raggio	$1,1 R_{\odot}$
Temperatura	5757 °K
Luminosità	$L=1,2 L_{\odot}$
Magnitudine Visuale	13,426
Metallicità [Fe/H]	0,21

## Costellazione del Cigno

# Il pianeta extrasolare Kepler 452 b

## Metodo fotometrico dei transiti



**Figure 2.** Phase-folded, detrended flux time series for Kepler-452 versus phase in hours. The flux time series plotted here is the same as that of Figure 1, except that it has been phase folded at the period of the planet, 384.84 days. The triangle symbol indicates the location of the four transits at zero phase. The full resolution data are represented by black dots. The cyan filled circles represent the results of binning the data in phase with a bin width of  $1/5$  of the DV-fitted duration of the transit, 10.5 hr.

Il sistema extrasolare Kepler 452b

# Il pianeta extrasolare Kepler 452b

## Metodo spettroscopico delle velocità radiali

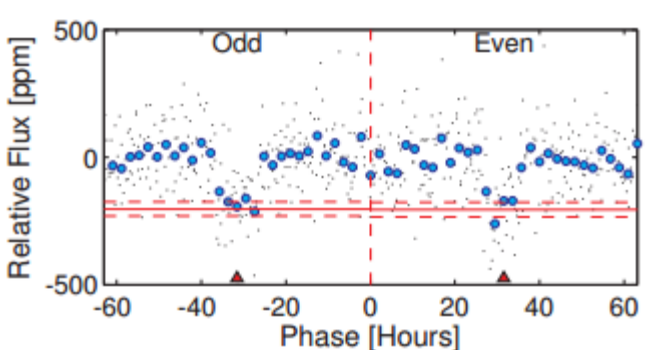
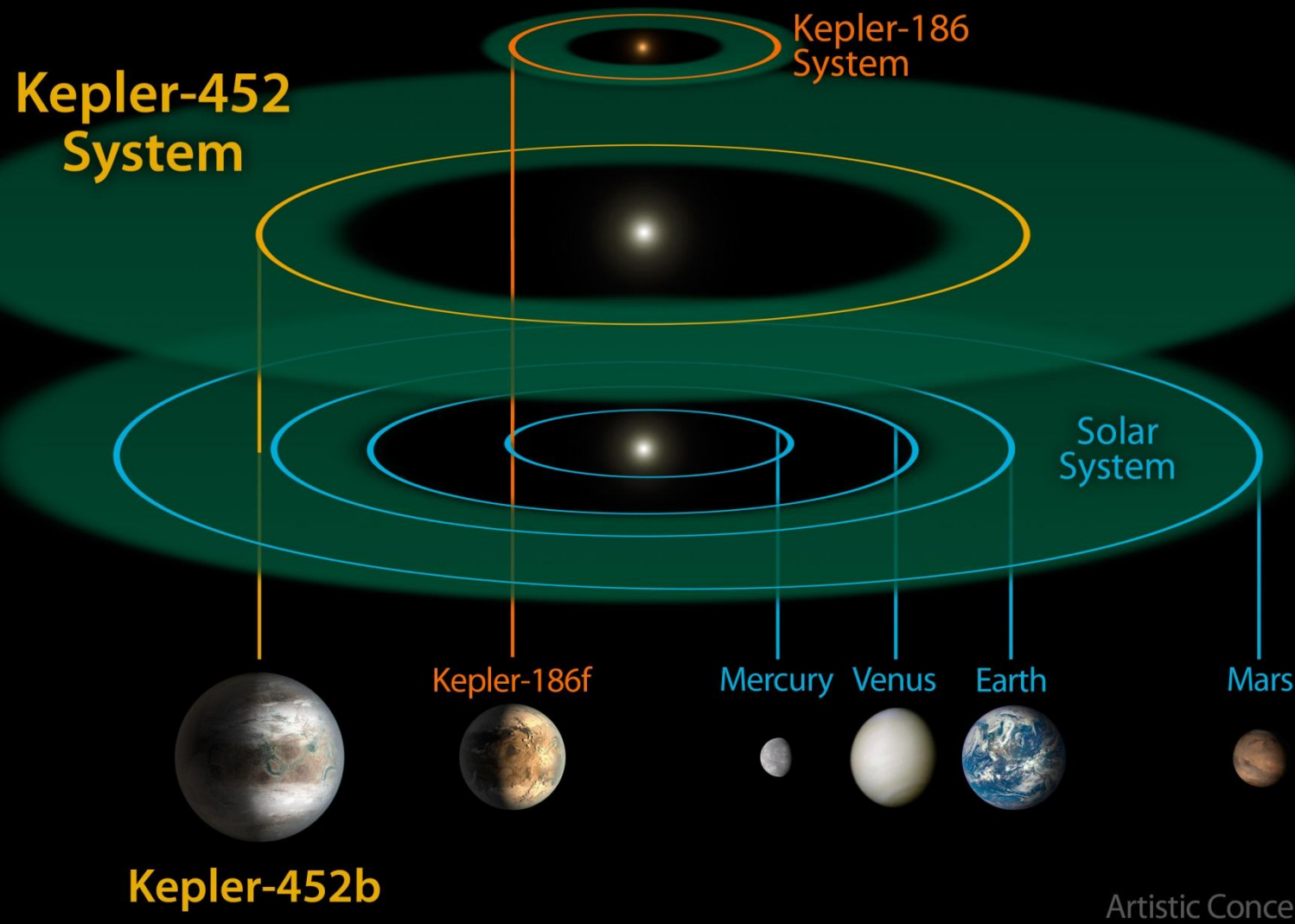


Figure 3. Phase-folded, detrended flux time series for Kepler-452 versus phase in hours as in Fig. 2, with the data for the even transits separated from that of the odd transits. The full resolution data are represented by black dots. The cyan filled circles represent the results of binning the data in phase with a bin width of  $1/5$  of the DV-fitted duration of the transit, 10.5 hours. The red horizontal lines are the fitted depths for the odd transits (left) and the even transits (right) and the dashed horizontal lines represent the  $\pm 1\sigma$  error bars on the fitted depths.

Pianeta	Kepler 452 b
Scoperto nel	23-7-2015
Massa	$5 \pm 2 M_T$ masse terrestri (?)
Semiasse maggiore orbita	1,046 U.A. (Unità Astronomiche)
Periodo orbitale	384,8 giorni
Raggio	$0,148 R_G$
Raggio	$1,63 R_T$
Densità	$\sim \text{gr/cm}^3$
Inclinazione	89,8 °
Indice abitabilità	0,83

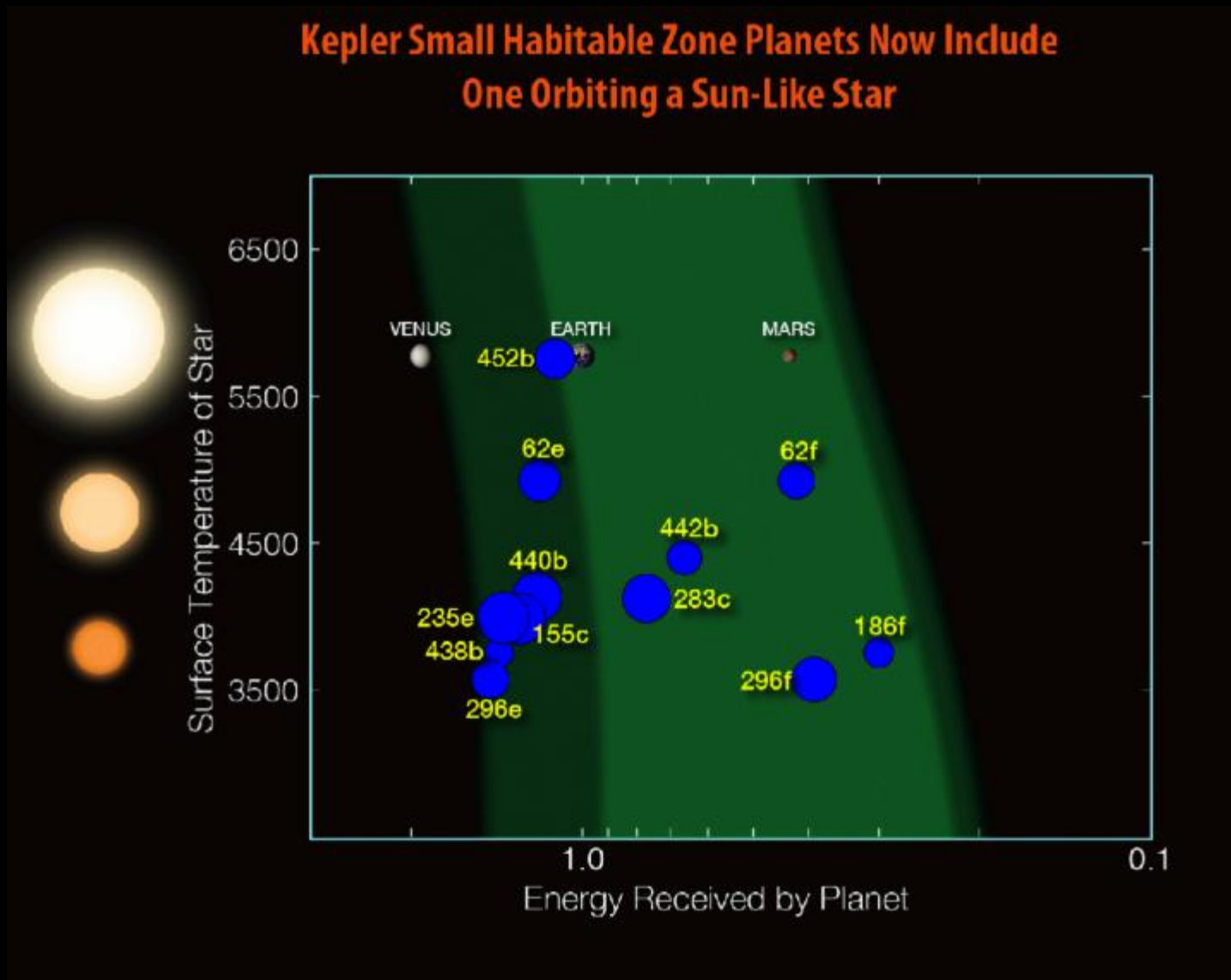
# Il pianeta Kepler 452 b

Metodo spettroscopico delle velocità radiali e metodo fotometrico dei transiti

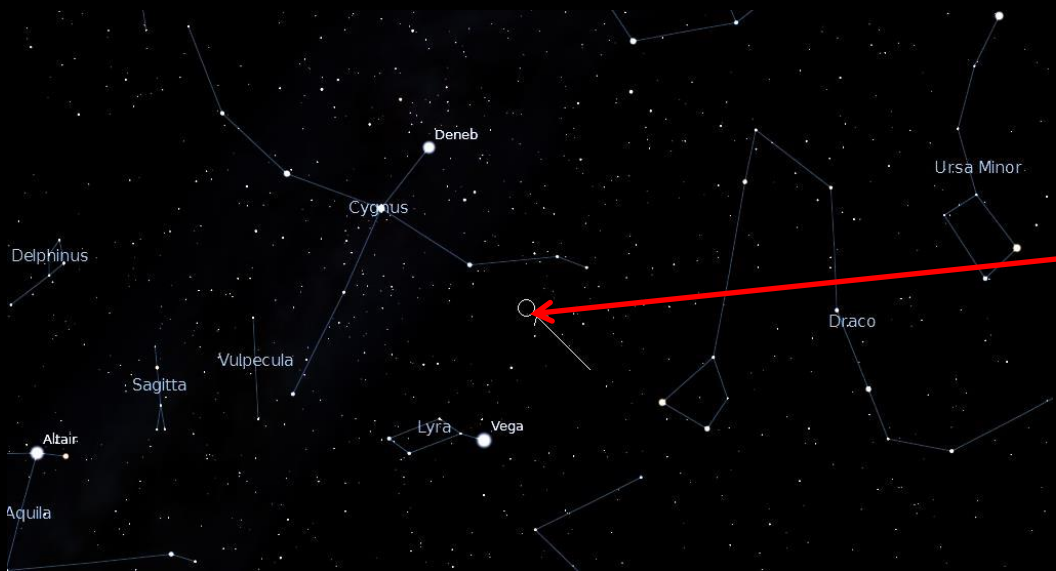


# Il pianeta extrasolare Kepler 452 b

Metodo fotometrico dei transiti



# Il sistema stellare Kepler 22

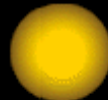


Come tutti i candidati pianeti extrasolari della missione Kepler questi si trovano tra le costellazioni del Cigno e della Lira

Stella	Kepler 22
Distanza	619 a.l.
Tipo spettrale	G5 Nana Gialla Sequenza Principale
Massa	0,970 $M_{\odot}$
Età	- Gyr
Raggio	0,979 $R_{\odot}$
Temperatura	5518 °K
Luminosità	$L=0,79 L_{\odot}$
Magnitudine Visuale	12
Metallicità [Fe/H]	-0,29

# Il sistema di Kepler 22 b

## metodo fotometrico dei transiti



0,39      0,72      1      1,5  
Mercurio    Venere    Terra (1.U.A)    Marte  
•           •           •           •



Aggiornato 2014.12.20

Stella G5 M=0,97 Ms Temp=5518°K L=0,79 Ls R=0,979 Rs  
pianeta Kepler-22 b M=0,11 Mg 35 Mt semiasse=0,89 U.A. Rp= 0,21 Rg periodo=290 giorni

Pianeta	Kepler 22b
Scoperto nel	2003
Massa	< 0,11 M <sub>G</sub> masse di Giove
Massa	35 M <sub>T</sub> masse terrestri
Raggio	0,21 R <sub>G</sub>
Inclinazione	89,7 °
Semiasse maggiore orbita	0,849 U.A. (Unità Astronomiche)
Periodo orbitale	290 giorni
Eccentricità	-

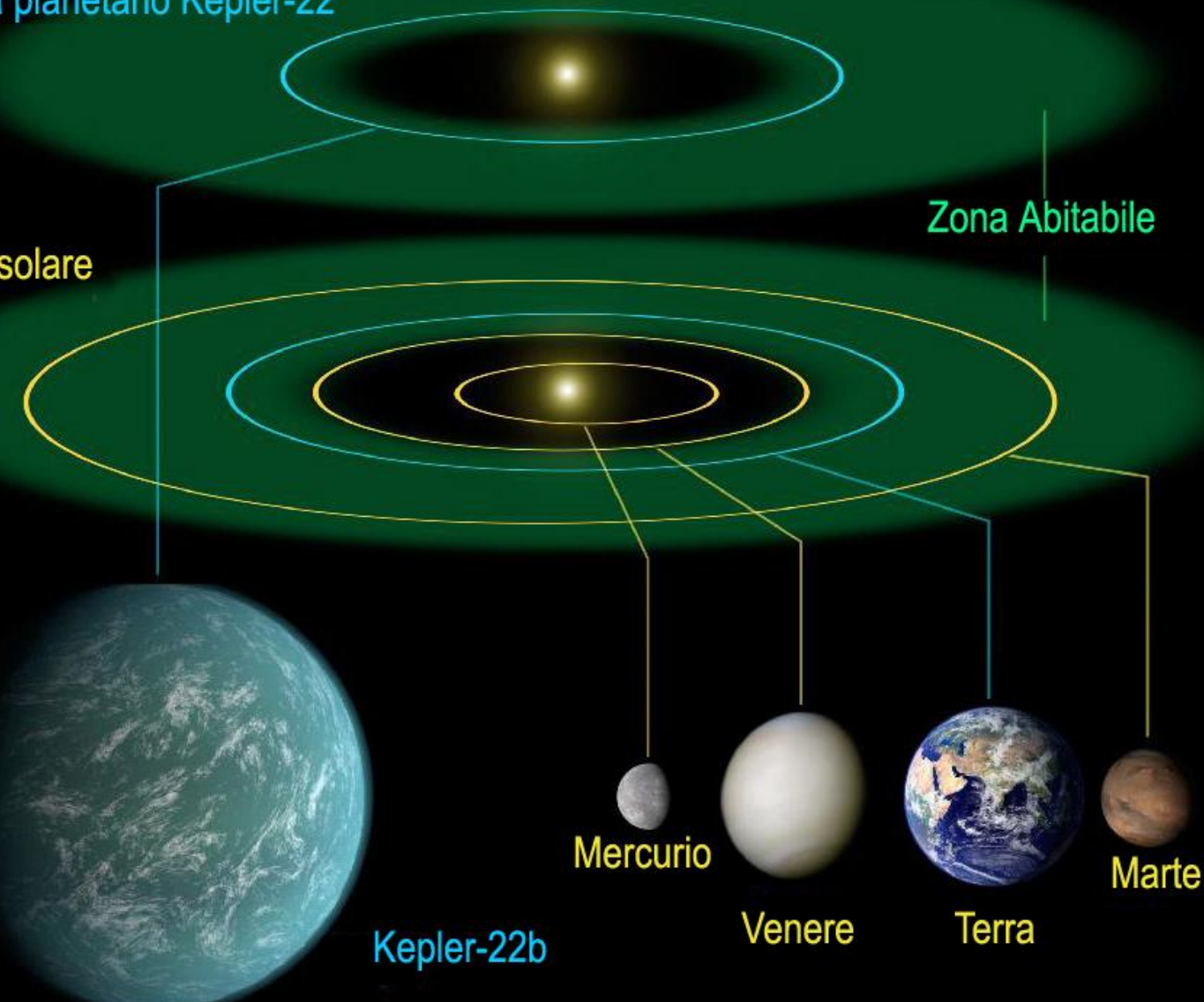
# Il sistema di Kepler 22 b

## metodo fotometrico dei transiti

Il Sistema planetario Kepler-22

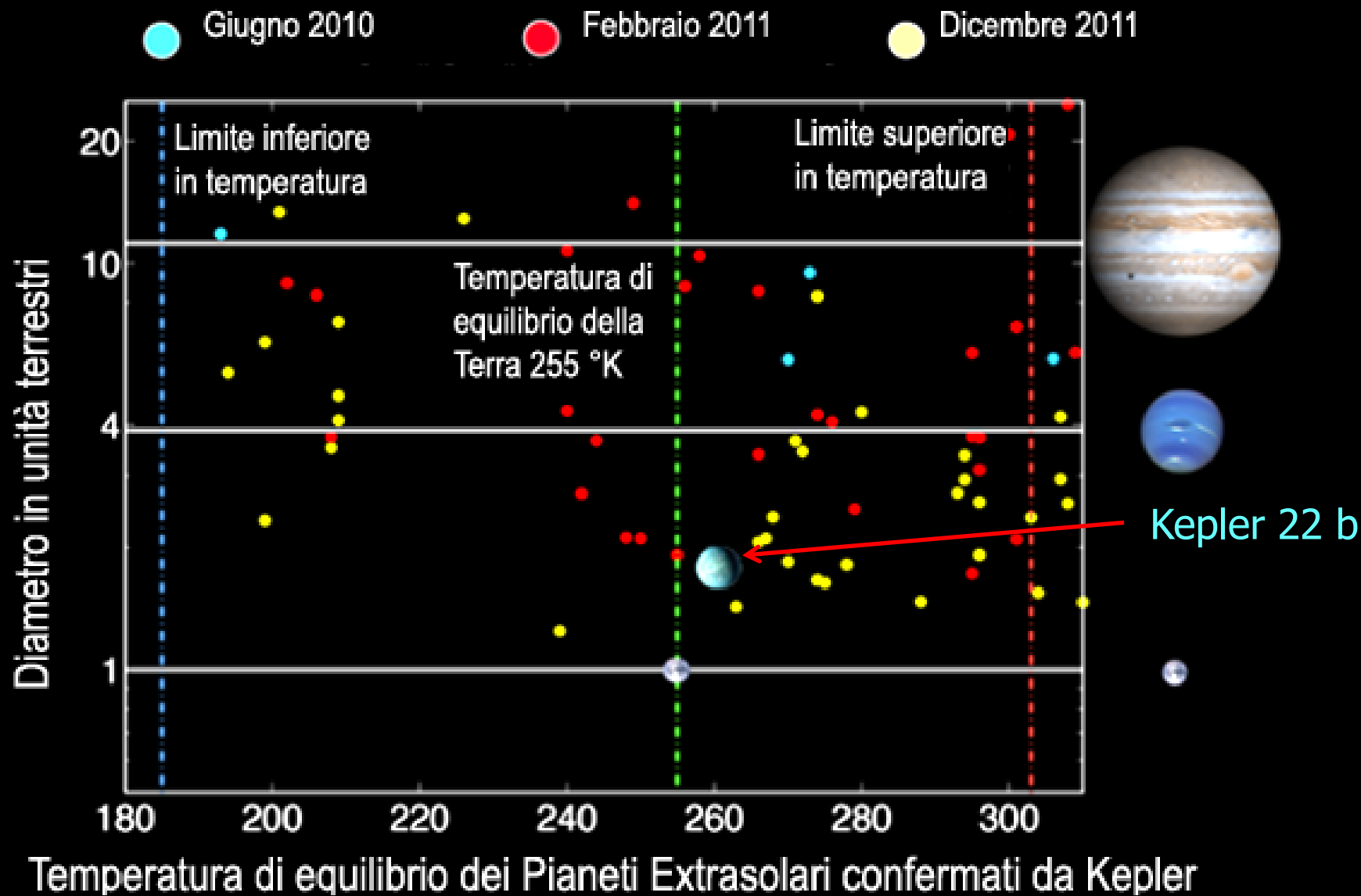
Sistema solare

Zona Abitabile



# Il sistema di Kepler 22 b

metodo fotometrico dei transiti



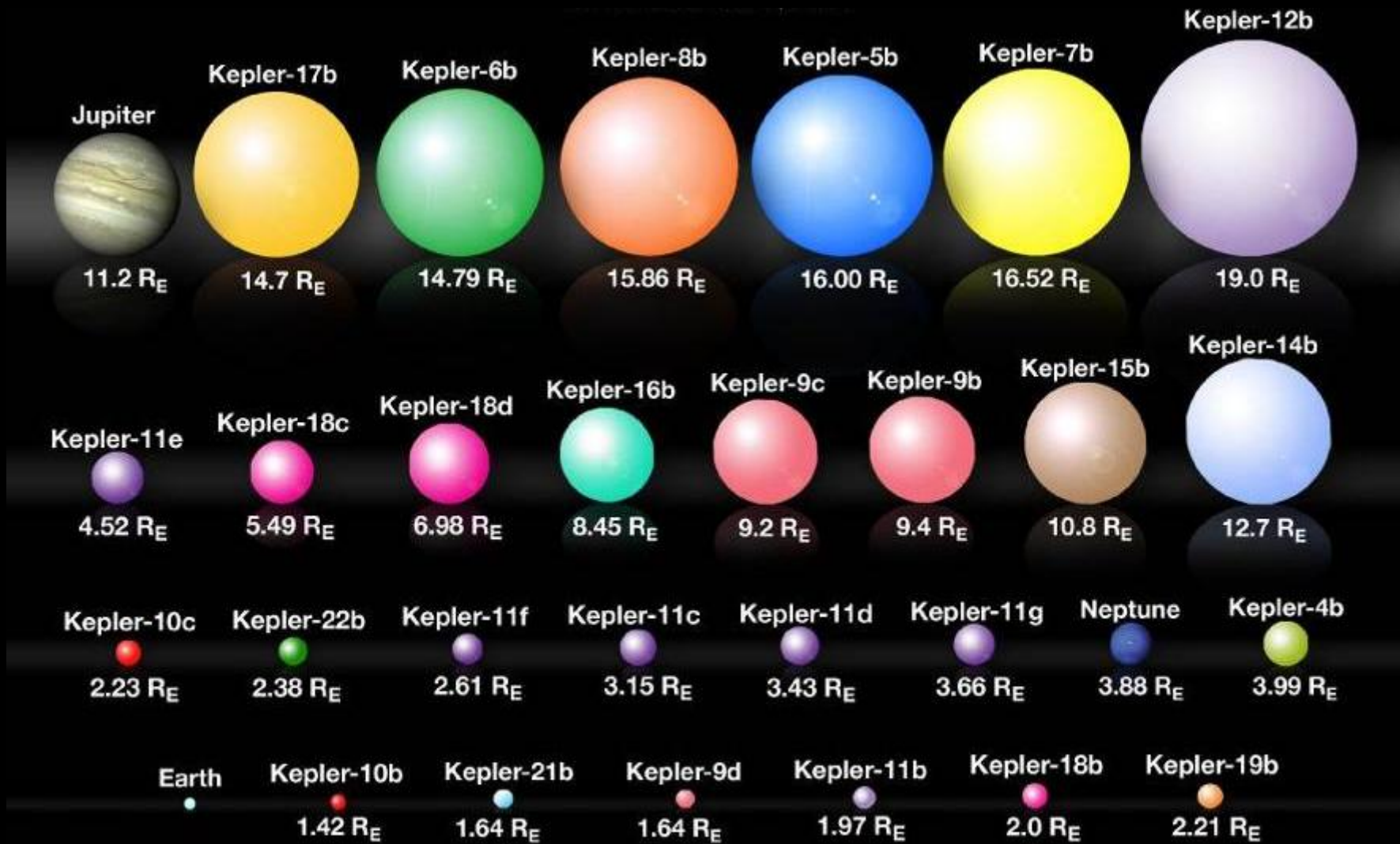
Super-Terre

# Super-Terre ed «Abitabilità»

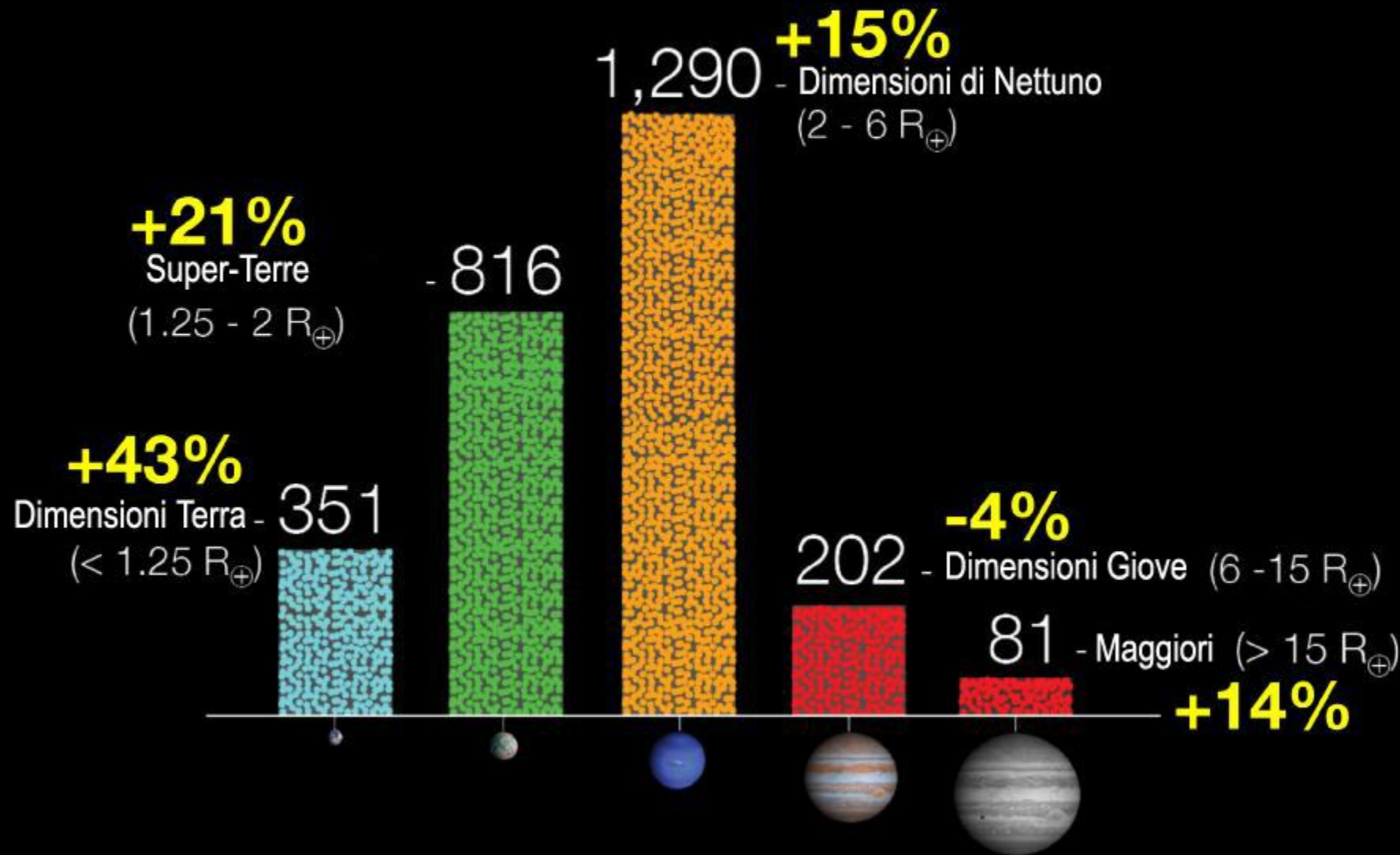
nome	Massa (M <sub>T</sub> )	raggio (R <sub>T</sub> )	Acc gravità (g)	Temp sup	Semiasse (U.A.)	Eccentricità	Indice di somiglianza alla Terra	Abitabilità	Distanza (al)
Alpha Centauri Bb	≥1,1			1200 K	0,04			Troppo vicino alla stella	4,23
Gliese 581 e	≥1,7				0,029	0		Temperature troppo alta difficile avere atmosfera	20
82 G,Eridani c	≥2,4				0,2036	0		Troppo vicino alla stella	19,71
82 G, Eridani b	≥2,7				0,1207	0		Troppo vicino alla stella	19,71
HD 40307 e	≥3,5				0,1886	0,15		Troppo vicino alla stella	42
HD 85512 b	≥3,6	1,74	1,33	351 K	0,26	0,11	0,76	Thermoplanet, il miglior candidato prima di Gliese 667C c,	36
HD 40307 b	≥4,2				0,047	0,2		Troppo vicino alla stella	42
Tau Ceti e	≥4,3	≥1,6		343 K	0,552 ± 0,02	0,05±0,02	0,77	Thermoplanet orbita entro la zona abitabile	11,90
82 G, Eridani d	≥4,8			388 K	0,3499	0		Troppo vicino alla stella	19,71
61 Virginis b	≥5,1				0,050	0,12		Troppo vicino alla stella	28
HD 40307 f	≥5,2				0,247	0,02		Troppo vicino alla stella	42
Gliese 667C c	5,24		1,32	302 K	0,13	0,34	0,82	Mesoplanet	22
Gliese 581 c	≥5,6				0,072	0		Incerto, probabilmente fuori zona abitabile	20
Gliese 581 d	≥5,6	2,34	1,2	233 K	0,218	0	0,69	Psychroplanet entro la zona abitabile	20
Gliese 667C b	6,30		1,44	445 K	0,05	0,09		Troppo caldo	22
Tau Ceti f	≥6,6			233-323 K	1,35 ± 0,1	0,03 ± 0,3	0,71	Psychroplanet Orbita al confine esterno zona abitabile	11,90
Gliese 876 d	6,8			157-377°C (stima)	0,021	0,21		Troppo caldo	15
HD 40307 c	≥6,8				0,081	0,06		Troppo vicino alla stella	42
HD 40307 g	≥7,1			279 K	0,600	0,29	0,79	Mesoplanet	42
55 Cancri e	8,6				0,016	0,17		Troppo vicino alla stella	40
HD 40307 d	≥9,2				0,134	0,07		Troppo vicino alla stella	42

I dati sono aggiornati al 2013 !!

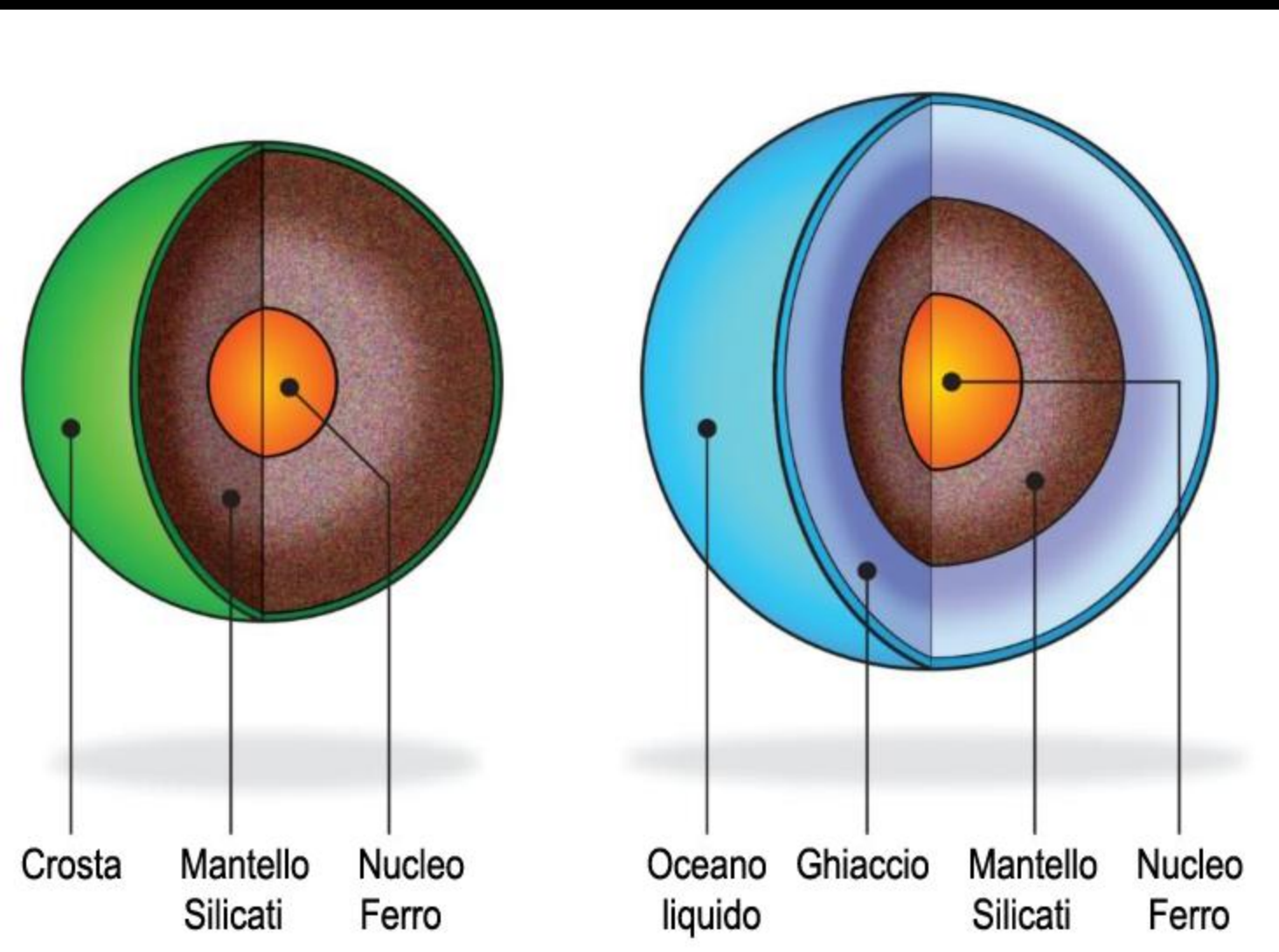
# Dimensioni delle Super-Terre



# Candidati pianeti al 7 gennaio 2013 Telescopio Keplero



# Struttura interna di «Super-Terre»

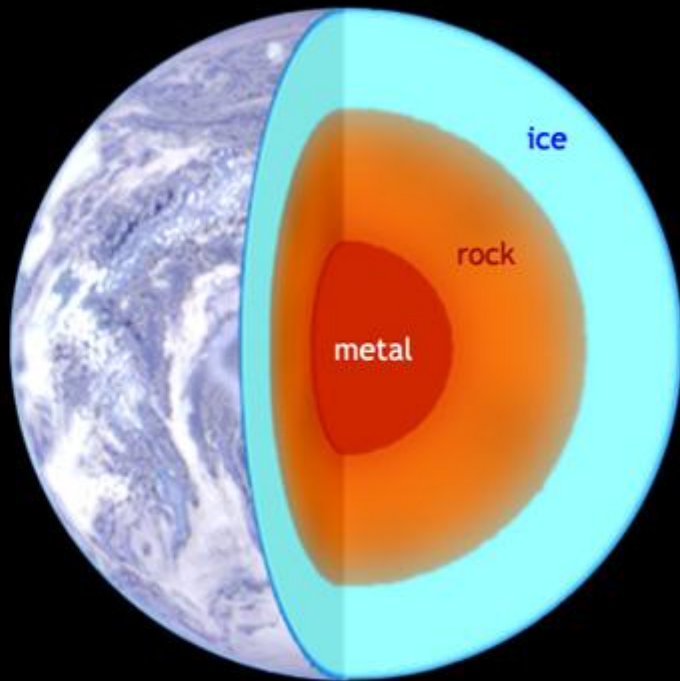
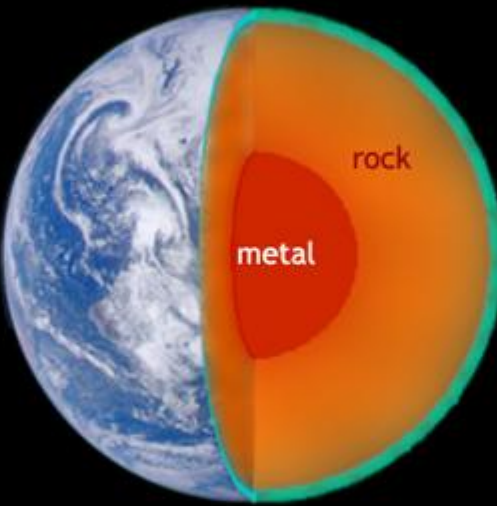
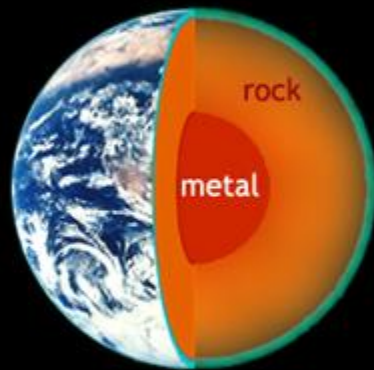


# Struttura interna di «Super-Terre»

$1 M_{\oplus}$

$3 M_{\oplus}$

$6 M_{\oplus}$



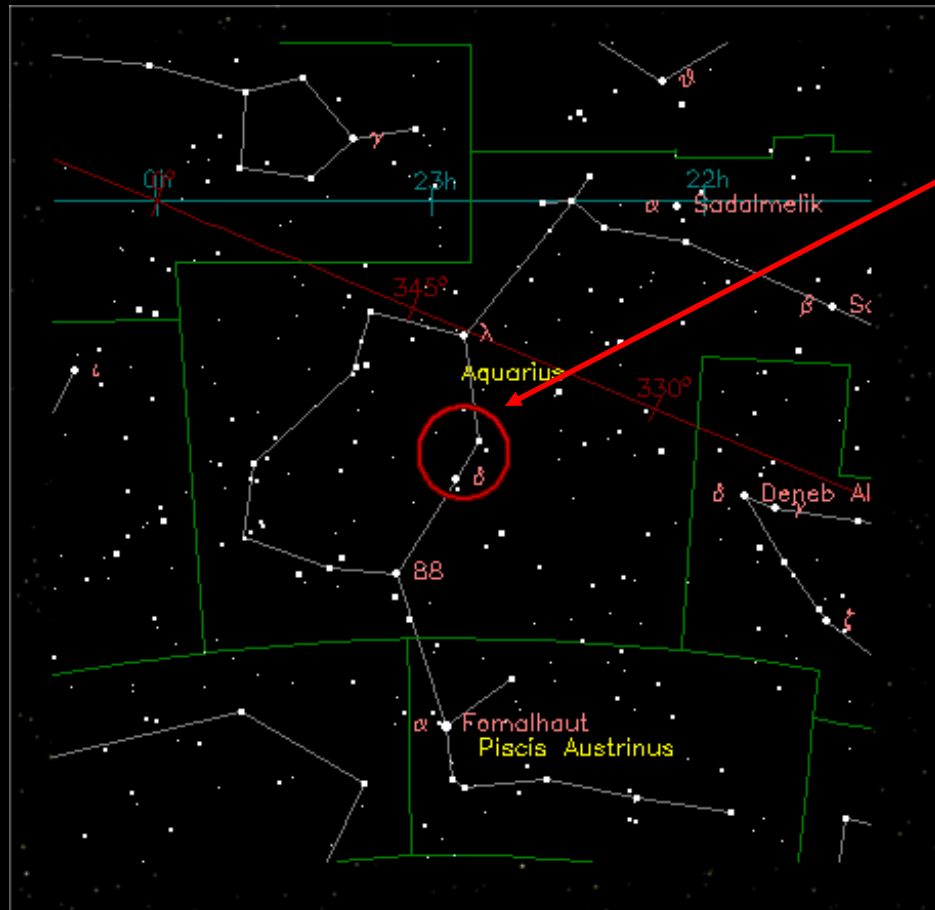
$1 R_{\oplus}$

$1.4 R_{\oplus}$

$1.8 R_{\oplus}$

# Il sistema planetario GJ 876-Gliese 876

# Il sistema stellare GJ 876-Gliese 876-Nana Rossa



## Costellazione dell'Acquario

Stella	Gliese 876
Distanza	12 a.l.
Tipo spettrale	M4V Nana Rossa
Massa	0,334 M <sub>○</sub>
Età	2,5 Gyr
Raggio	0,36 R <sub>○</sub>
Temperatura	3350 °K
Luminosità	L=0,013 L <sub>○</sub>
Magnitudine Visuale	10,17
Metallicità [Fe/H]	0,05

# I pianeti extrasolari GJ876-Giese 876 b,c,d,e

Metodo spettroscopico delle velocità radiali

0,39  
Mercurio  
•

0,72  
Venere  
•

1  
Terra (1.U.A)  
•

1,5  
Marte  
•

Aggiornato 2014.12.20



stella M4V M=0,33 Ms Temp=3350°K L=0,013 Ls R=0,36 Rs

pianeta Gliese 876 b M=1,93 Mg semiasse=0,208 U.A. periodo=61 giorni

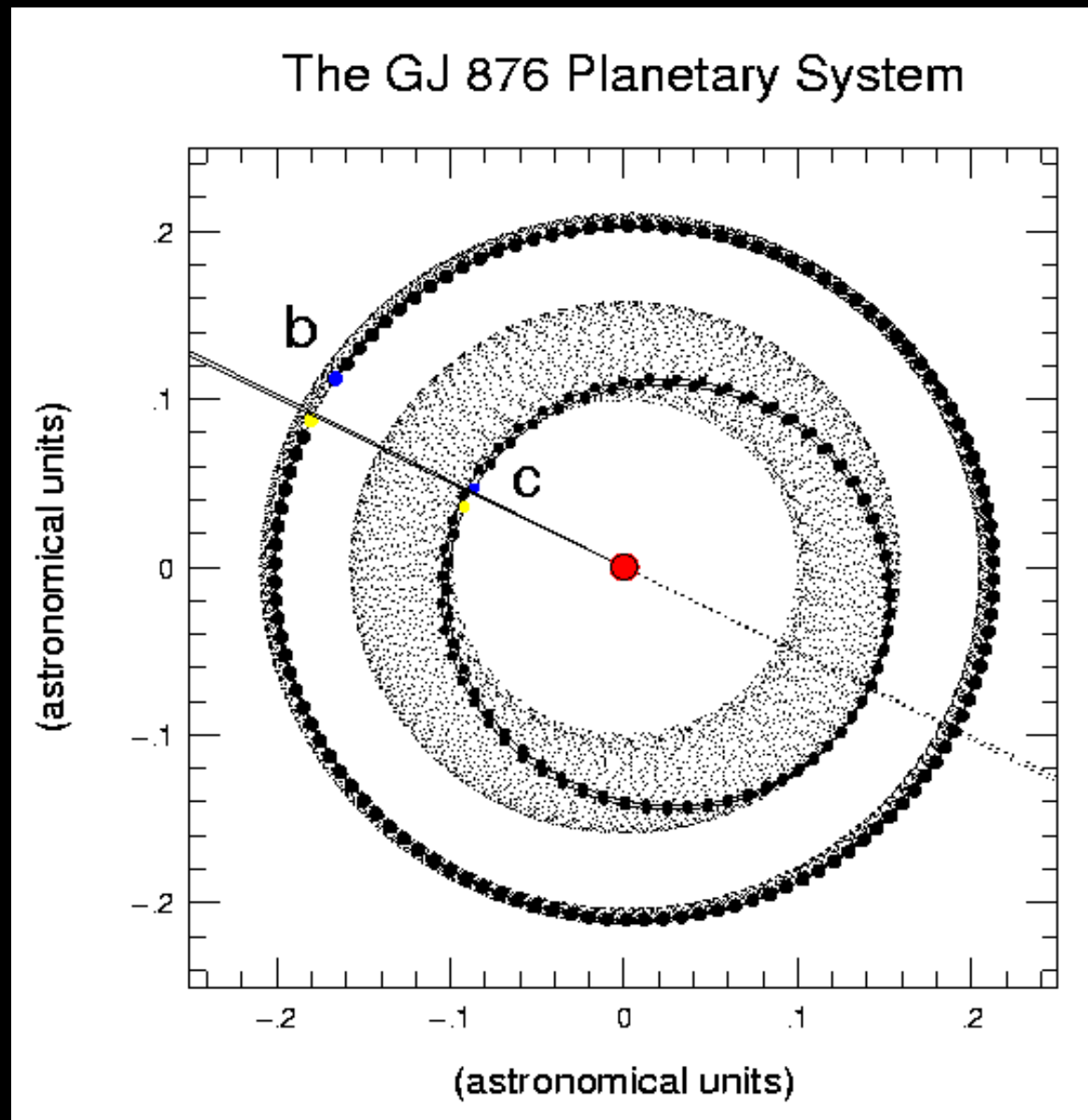
pianeta Gliese 876 c M=0,64 Mg semiasse=0,13 U.A. periodo=30 giorni

pianeta Gliese 876 d M=0,017 Mg 5,4 Mt semiasse=0,021 U.A. periodo=1,94 giorni

pianeta Gliese 876 e M=0,039 Mg 12,4 Mt semiasse=0,334 U.A. periodo=125 giorni

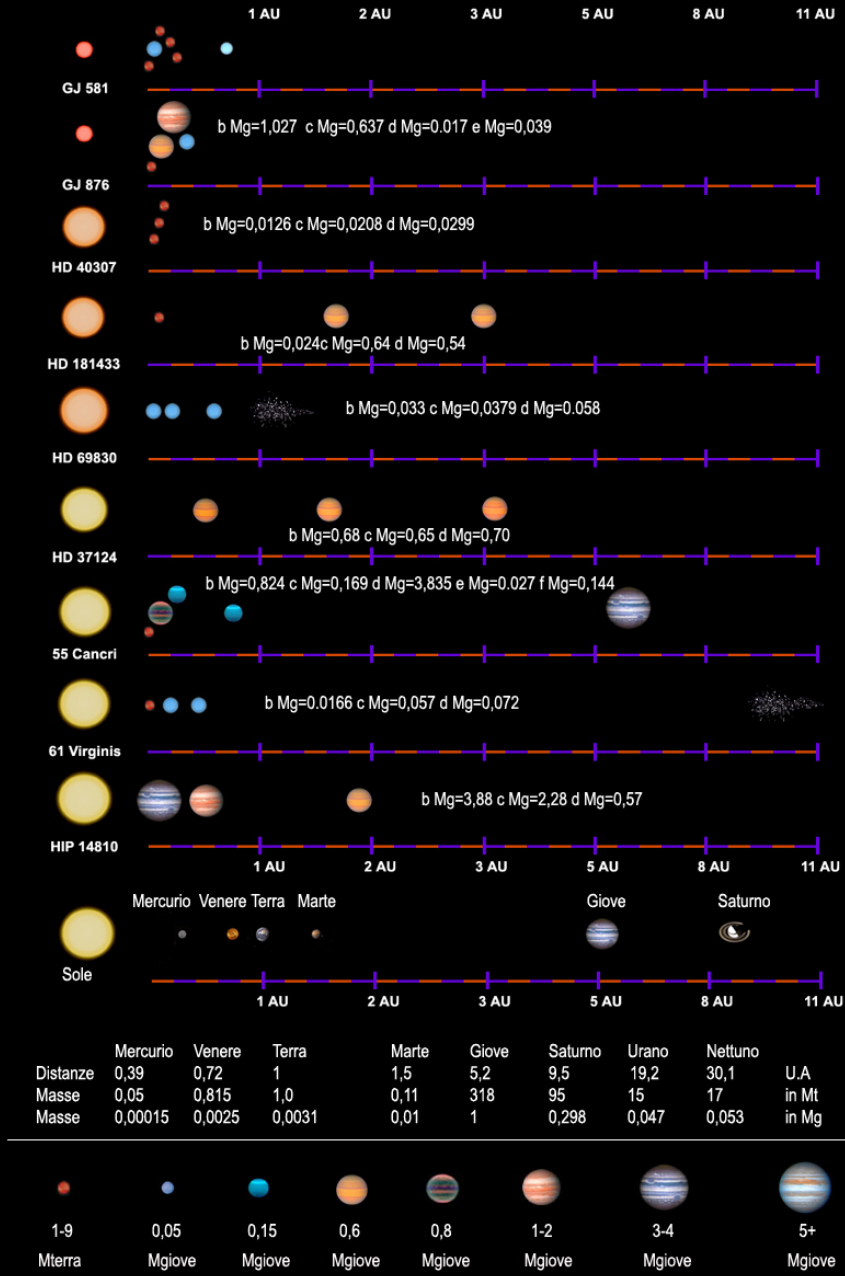
Pianeta	Gliese 876 c	Gliese 876 d	Gliese 876 b	Gliese 876 e
Scoperto nel	2000	2005	2000	2010
Massa	$0,637 M_G$ masse di Giove	$0,017 M_G$ masse di Giove	$1,927 M_G$ masse di Giove	$0,039 M_G$ masse di Giove
Massa	$202 M_T$ masse terrestri	$5,4 M_T$ masse terrestri	$613 M_T$ masse terrestri	$12,4 M_T$ masse terrestri
Semiasse maggiore orbita	0,13 U.A. (Unità Astronomiche)	0,021 U.A. (Unità Astronomiche)	0,208 U.A. (Unità Astronomiche)	0,334 U.A. (Unità Astronomiche)
Periodo orbitale	30,2 giorni	1,94 giorni	61,03 giorni	124,7 giorni
Inclinazione	48,07°	50°	84°	59,5°
Eccentricità	0,002	0,081	0	0,073

# Il sistema planetario GJ876-Gliese 876 b,c,d,e



# Sistemi extrasolari multipli

# Sistemi extrasolari multipli



# Sistemi extrasolari multipli

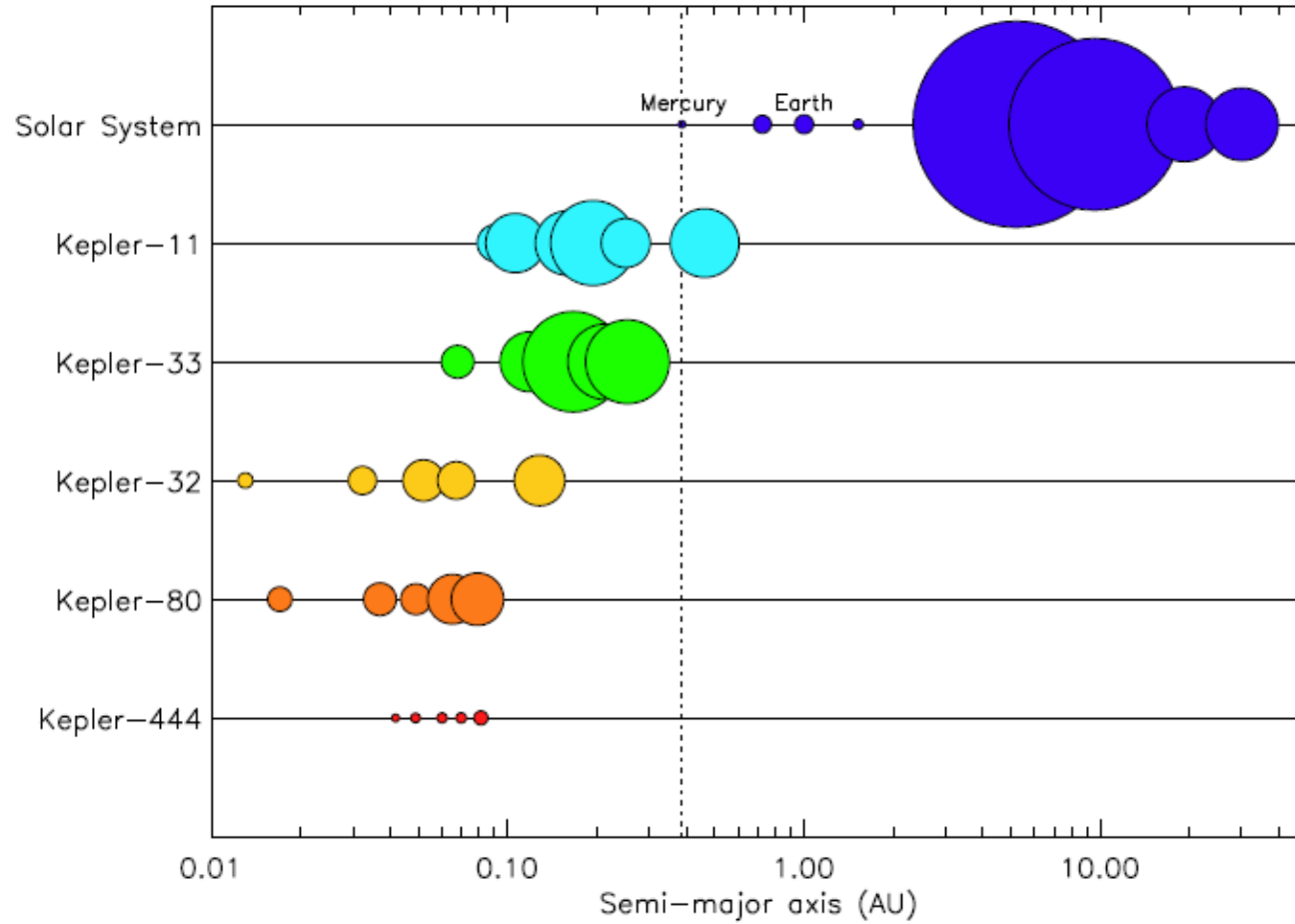
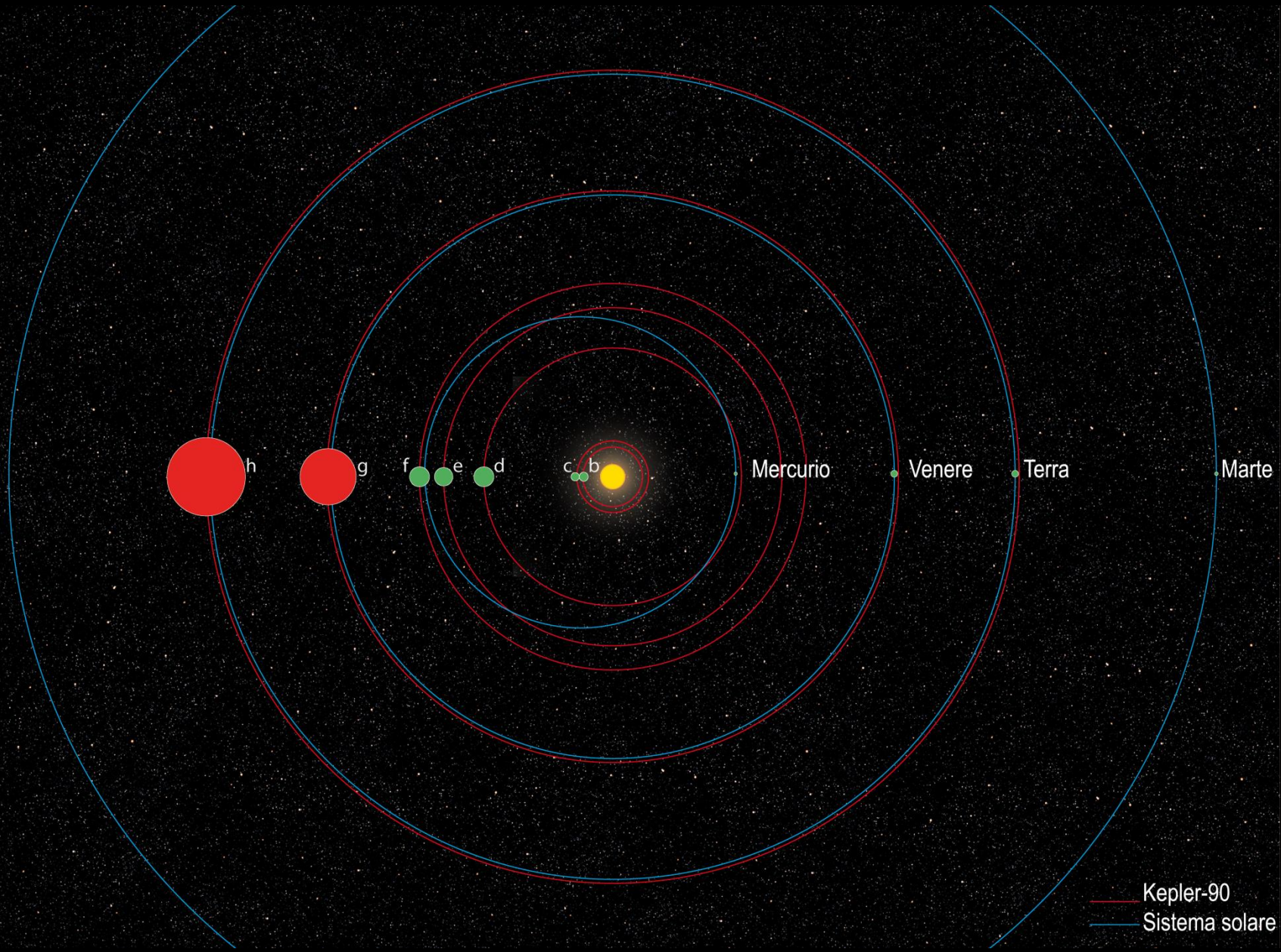


Fig. 10.— Semi-major axes of planets belonging to the highly-compact multiple-planet systems Kepler-444, Kepler-11, Kepler-32, Kepler-33, and Kepler-80. Semi-major axes of planets in the Solar System are shown for comparison. The vertical dotted line marks the semi-major axis of Mercury. Symbol size is proportional to planetary radius. Note that all planets in the Kepler-444 system are interior to the orbit of the innermost planet in the Kepler-11 system, the prototype of this class of highly-compact multiple-planet systems.

# Sistemi extrasolari multipli-Kepler 90



Mg=massa di Giove Mt=massa della Terra (Mg=317 Mt)

Sole	Mercurio	Venere	Terra	Marte
47 Ursae Majoris	Stella G0 V a 14 pc di distanza 47 Ursae Majoris b,c,d, semiassi=2,1 3,6 11,6 U.A. M=2,53,0,54 1,64 Mg Periodi=1078,2391,14002 giorni			
51 Pegasi	Stella G2 IV a 14,7 pc 51 Pegasi b Hot Jupiter semiasse=0,052 U.A. M=0,468 Mg Periodo=4,23 giorni			
55 Cancri		Stella G8V a 12,3 pc 55 Cancri e,b,c,f,d semiasse= 0,015 0,115 0,240 0,781 5,77 U.A. M=0,027 0,82 0,169 0,144 3,84 Mg		
Tau Bootis		Stella F7 V a 15,6 pc Tau Bootis b semiasse=0,046 U.A. M=5,95 Mg Periodo=3,31 giorni		
Upsilon Andromedae		Stella F8V a 13,47 pc $\nu$ Andromedae b,c,d,e semiasse=0,059 0,861 M=0,62 1,8 10,29 1,059 Mg Periodi=4,6 237 1302 3848 giorni		2,55, 5,24 U.A.
Rho Coronae Borealis			Stella G0-2 V Rho Coronae Borealis b semiasse=0,22 U.A. M=1,04 Mg Periodo=39,6 giorni	
16 Cygni B		Stella G2.5 V 16 Cygni b semiasse 1,68 U.A. M=1,68 Mg Periodo= 800 giorni		
70 Virginis			Stella G4V a 22 pc 70 Virginis b semiasse=0,48 U.A. M=6,6 Mg P=116 giorni	
Gli876		Stella M4V Gliese 876 d,c,b semiassi=0,02-0,13-0,21 U.A. M=0,017-0,63-1,93 Mg Periodi=1,94-30,23-61 giorni		
HD 149026		Stella G0IV HD 149026 b semiasse=0,043 U.A. M=0,356 Mg Periodo=2,87 giorni		
Ogle-05-390L		Stella M OGLE-2005-BLG-71Lb semiasse=2,1 U.A. M=0,017 Mg Periodo=3500 giorni		
HD 154857	Stella G5V		HD 154857b semiasse=1,2 U.A. M=1,8 Mg Periodo= 409 giorni	
HD114762		Stella F9 V HD 114762 b semiasse=0,353 U.A. M= 10,98 Mg Periodo= 84 giorni		

0 1 2

Semiasse maggiore dell'orbita in U.A.

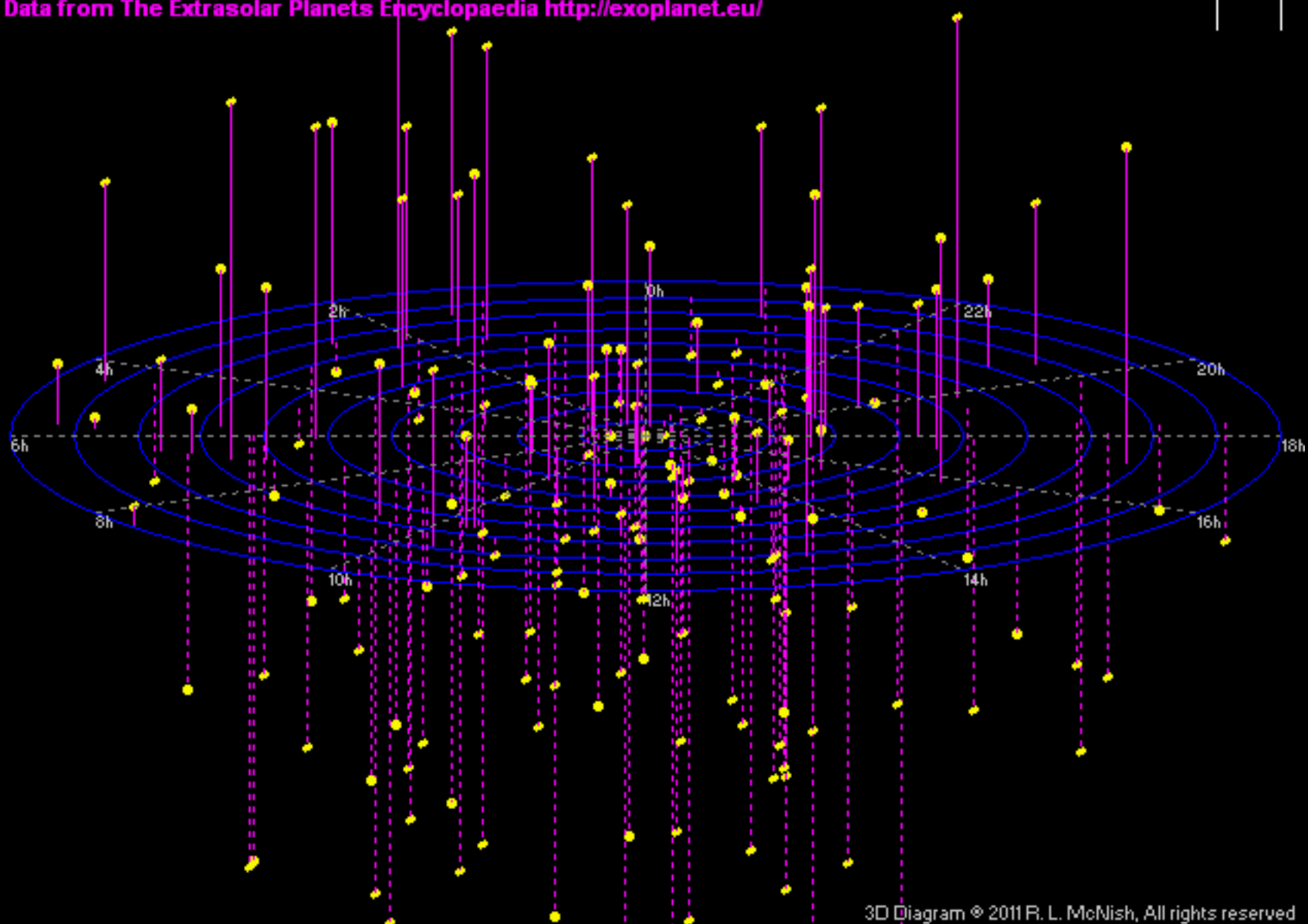
NB il confronto è fatto con le orbite dei pianeti interni (terrestri) del Sistema solare

# Pianeti extrasolari entro 150 a.l.

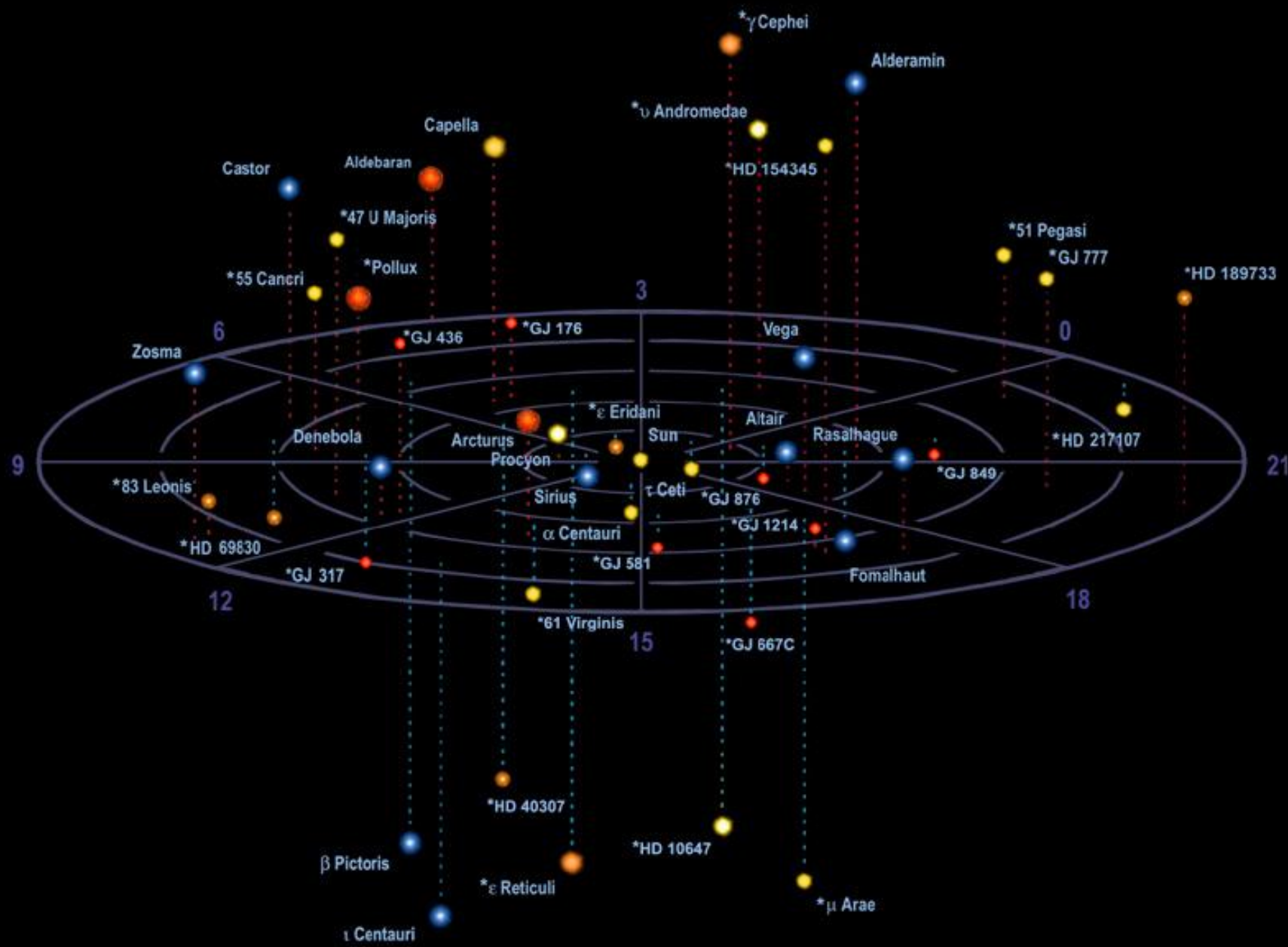
The 185 Stars with planets out to 150 LY

Data from The Extrasolar Planets Encyclopaedia <http://exoplanet.eu/>

15 LY



# Pianeti extrasolari entro 65,2 a.l.

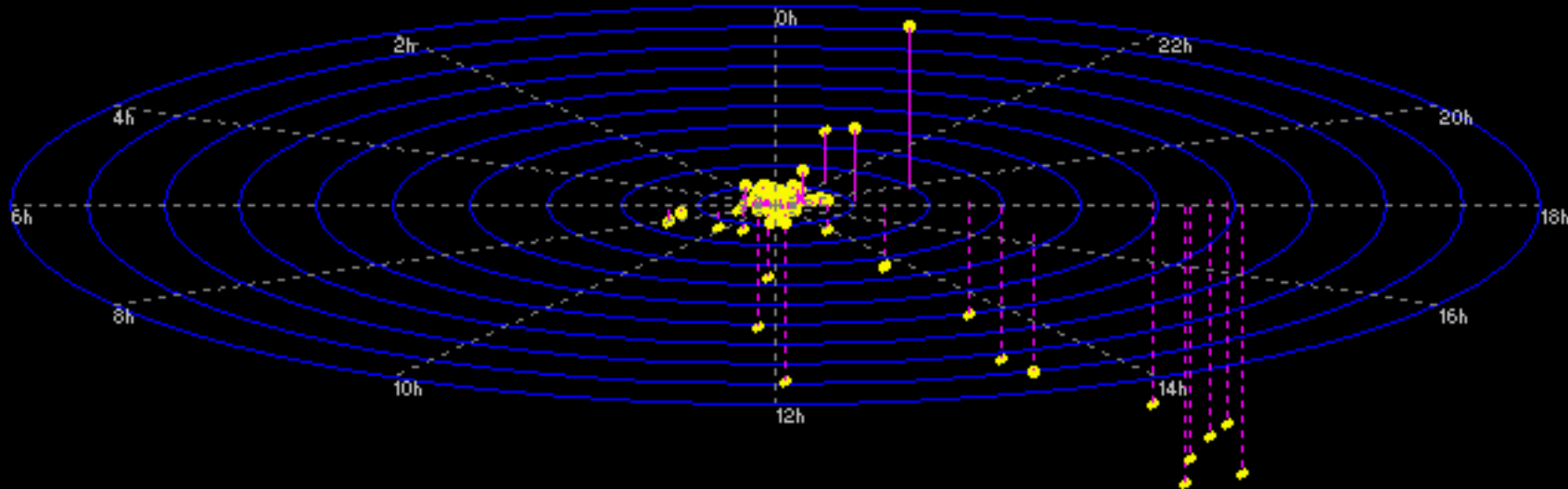


# Pianeti extrasolari entro 30000 a.l.

The 427 Stars with planets out to 30000 LY

Data from The Extrasolar Planets Encyclopaedia <http://exoplanet.eu/>

3,000 LY



# Abitabilità

# Pianeti extrasolari nella zona di «abitabilità» ?

Potenziali esopianeti abitabili  
confrontati con la Terra e Marte

Terra  
1,00



Marte  
0,66

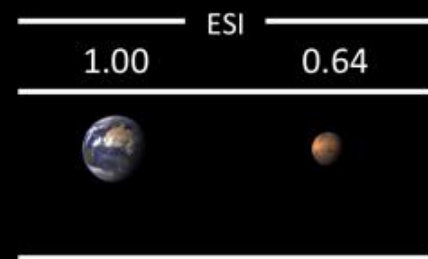


#1	#2	#3	#4	#5	#6
0.92	0.85	0.81	0.77	0.73	0.72
Gliese 581 g	Gliese 667C c	Kepler-22 b	HD 85512 b	Gliese 163 c	Gliese 581 d
Sep 2010	Nov 2011	Dec 2011	Sep 2011	Sep 2012	Apr 2007

Last Update: August 29, 2012

CREDIT: The Habitable Exoplanets Catalog, PHL @ UPR Arecibo (phl.upr.edu)

# Pianeti extrasolari nella zona di «abitabilità» ?



#1	#2	#3	#4	#5	#6 (ESI)	#7	#8	#9
----	----	----	----	----	-------------	----	----	----

0.82	0.82	0.79	0.75	0.74	0.69	0.68	0.67	0.50
------	------	------	------	------	------	------	------	------



Kepler-62 e



Gliese 581 g\*



Gliese 667C c



Kepler-22 b



Tau Ceti e\*



Kepler-62 f



Gliese 163 c



HD 40307 g\*



Gliese 581 d

Apr 2013

Sep 2010

Nov 2011

Dec 2011

Dec 2012

Apr 2013

Sep 2012

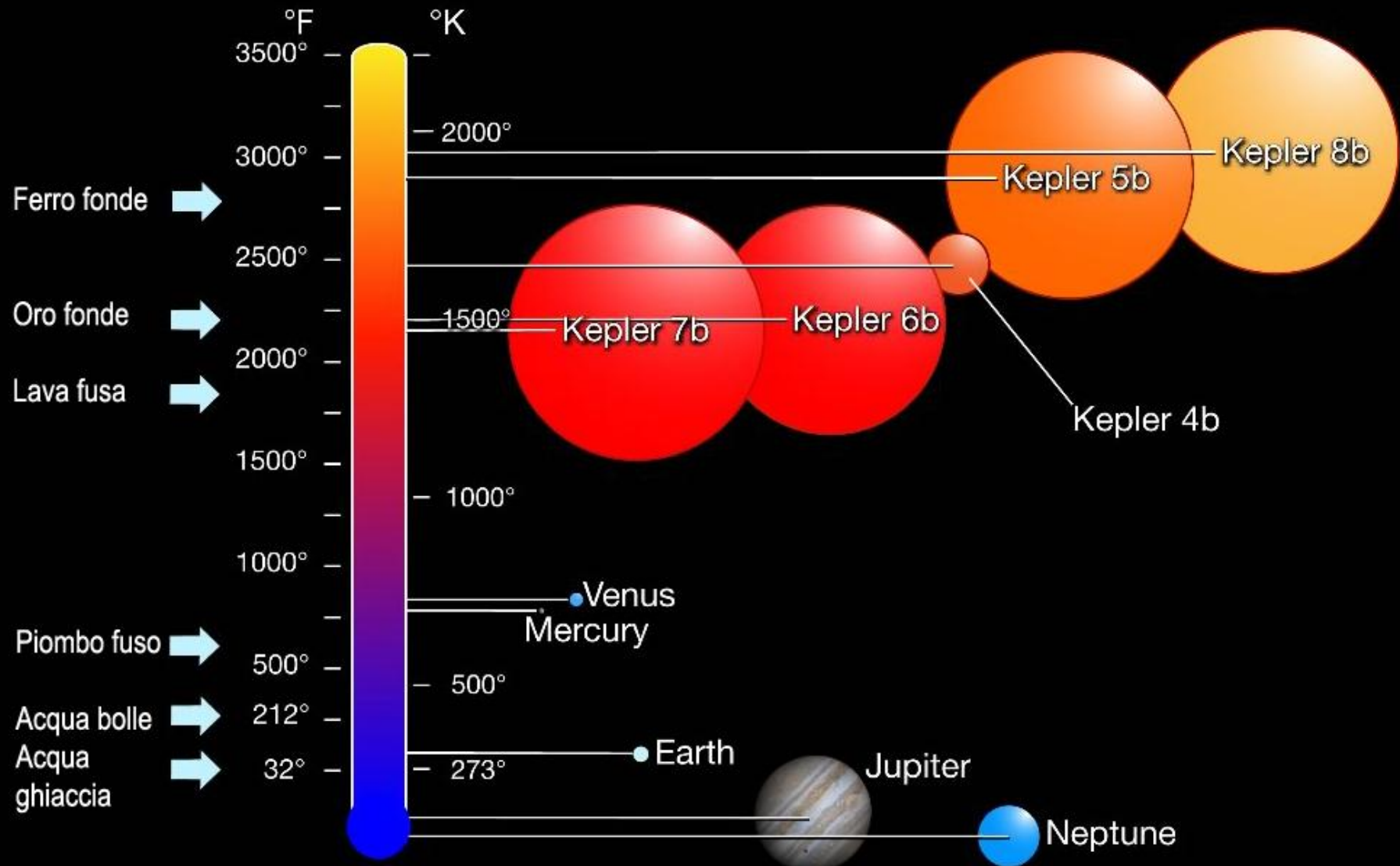
Nov 2012

Apr 2007

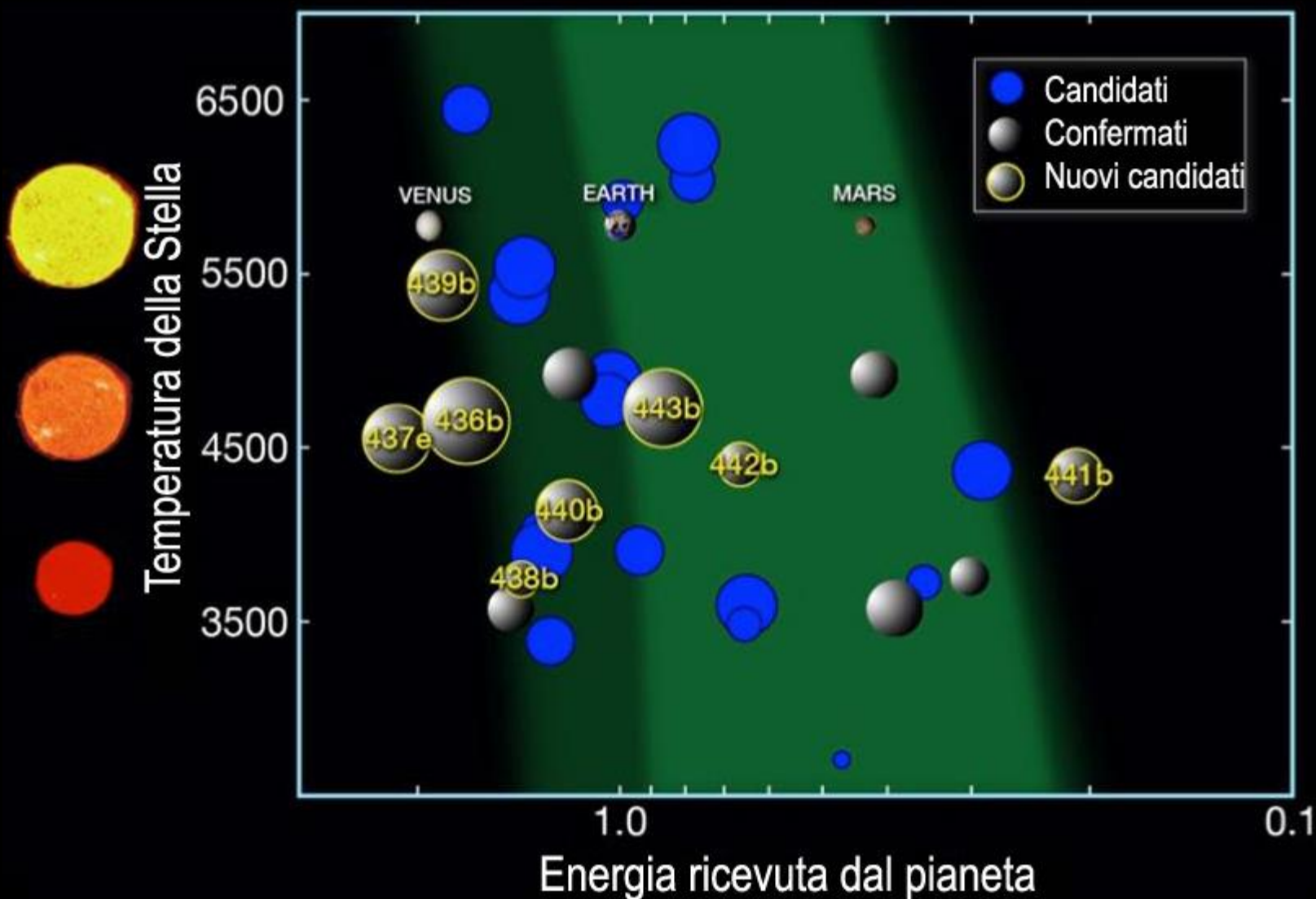
\*planet candidates

CREDIT: PHL @ UPR Arecibo (phl.upr.edu) April 18, 2013

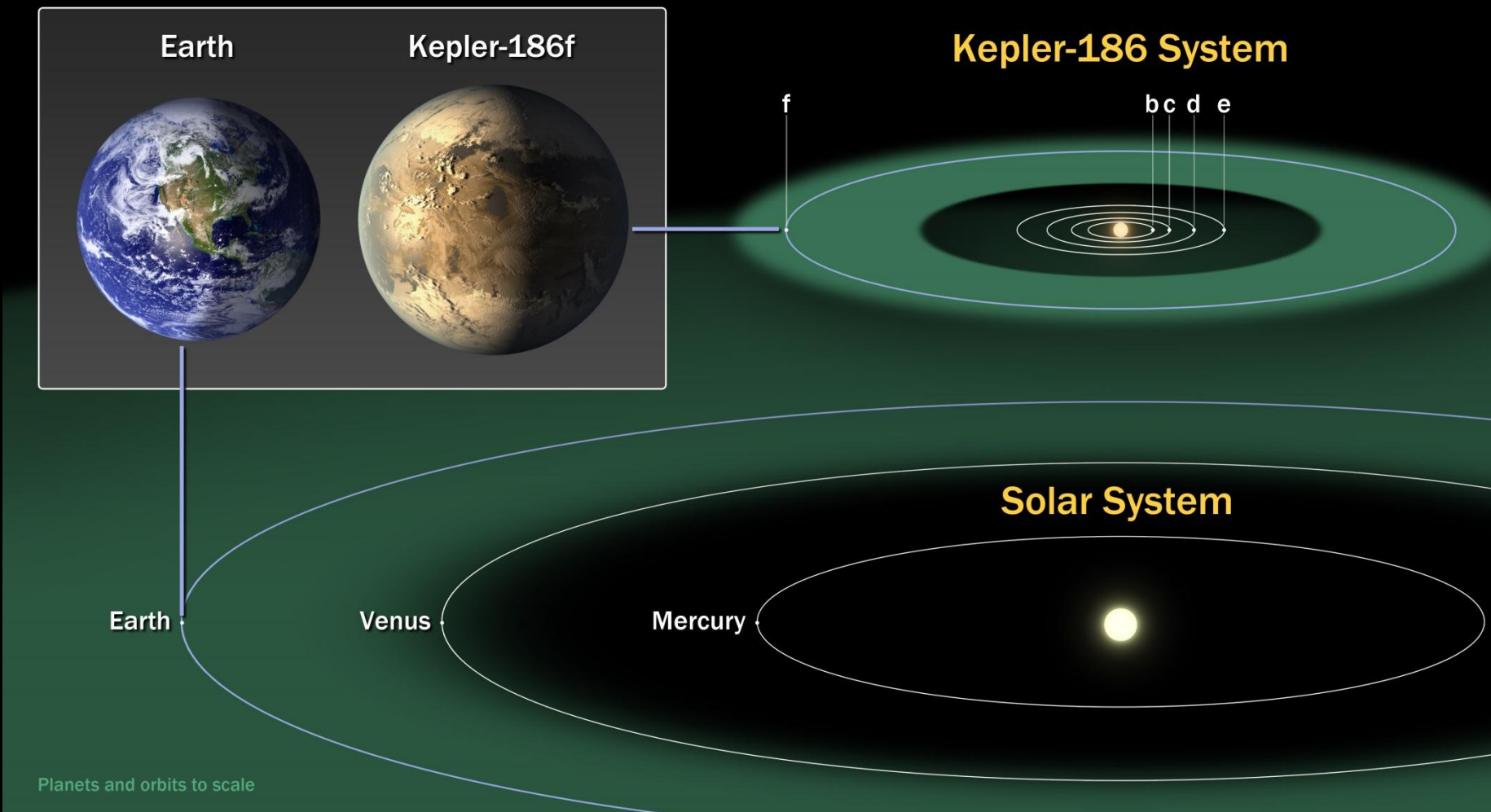
# Pianeti extrasolari temperature e dimensioni



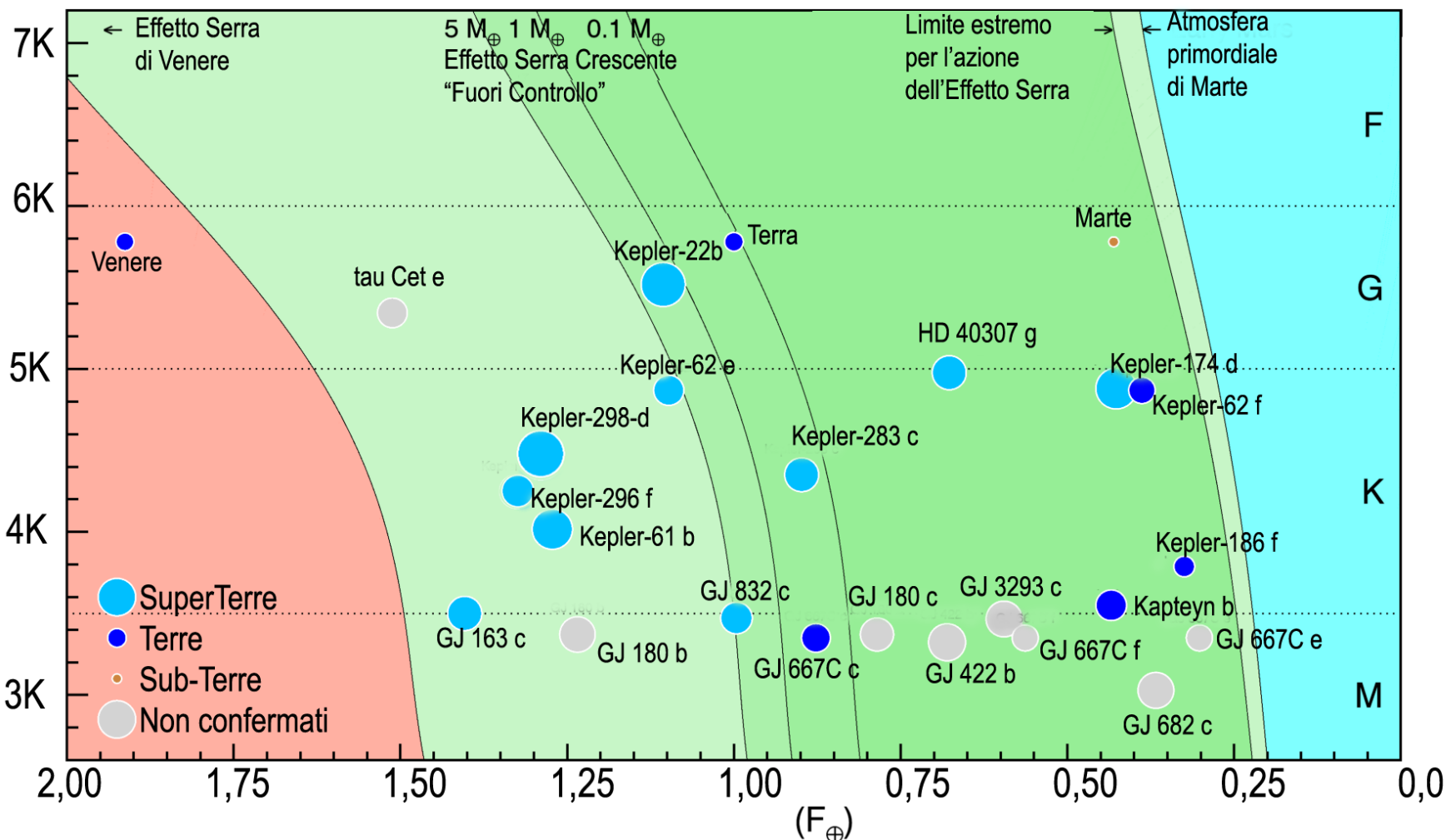
# Pianeti extrasolari Kepler al 15 gennaio 2015



# Il sistema planetario Kepler-186 «Abitabilità»



# Candidati pianeti «Abitabili»



# Candidati pianeti «Abitabili»

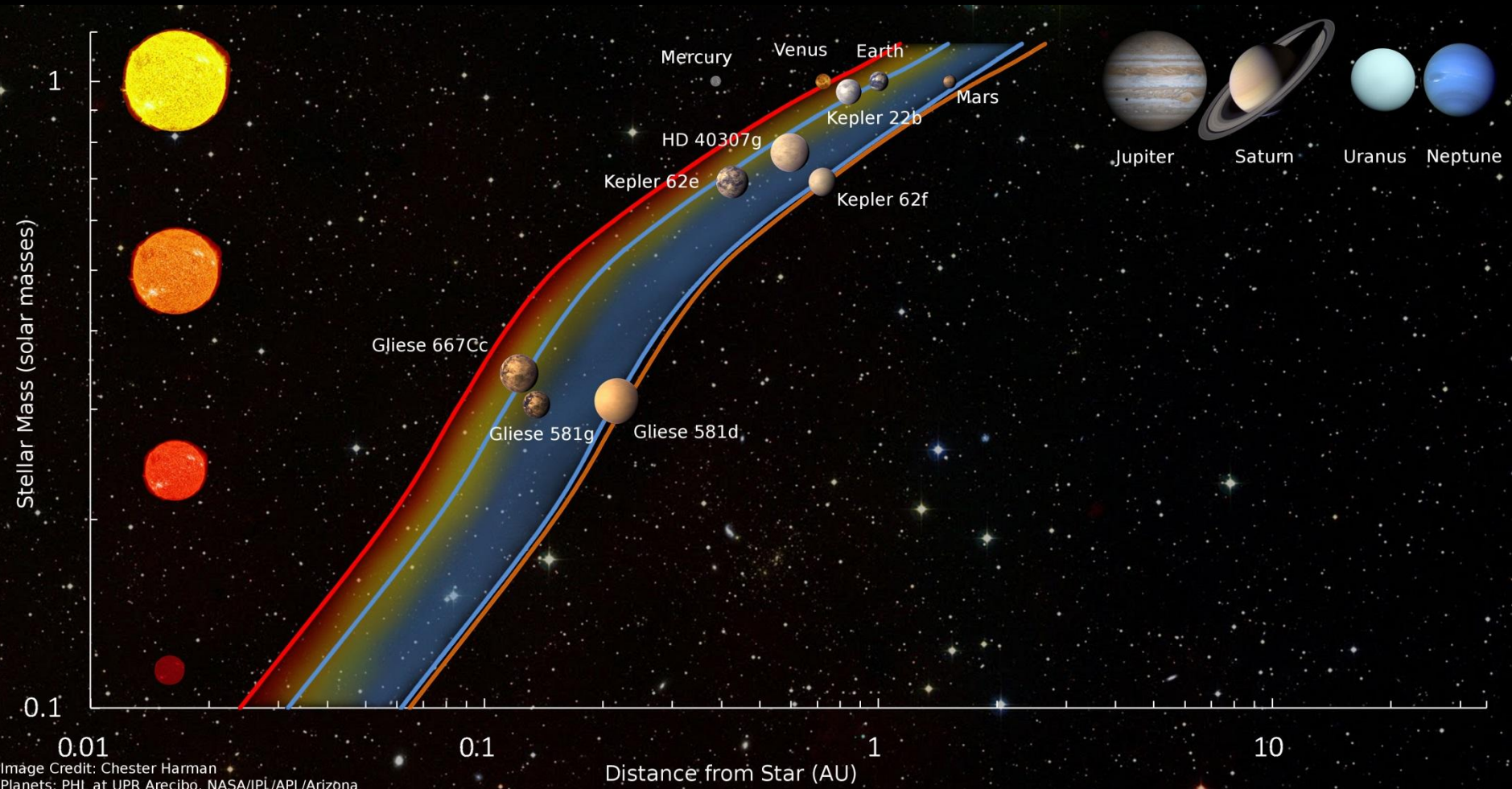


Image Credit: Chester Harman  
Planets: PHL at UPR Arecibo, NASA/JPL/Arizona

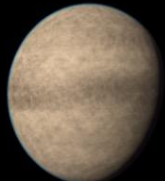
# Candidati pianeti «Abitabili»

## Potentially Habitable Exoplanets

Ranked by Distance from Earth (light years)



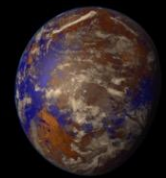
[4 ly]  
Proxima b



[13 ly]  
Kapteyn b\*



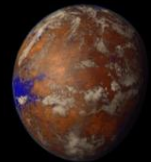
[14 ly]  
Wolf 1061 c



[22 ly]  
GJ 667 C c



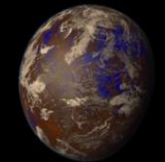
[22 ly]  
GJ 667 C e\*



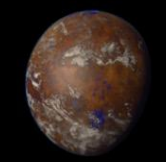
[22 ly]  
GJ 667 C f\*



[561 ly]  
Kepler-186 f



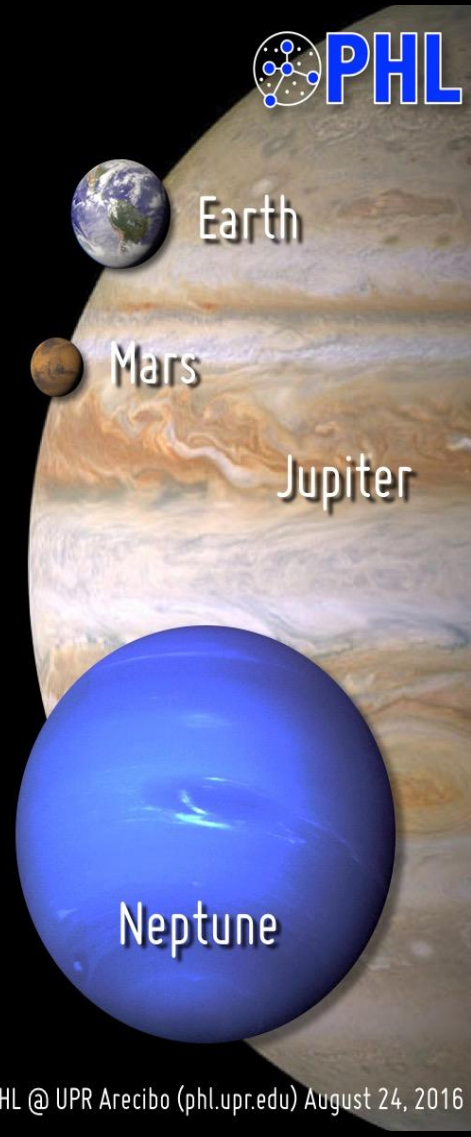
[770 ly]  
Kepler-1229 b



[1115 ly]  
Kepler-442 b



[1200 ly]  
Kepler-62 f



Artistic representations. Earth, Mars, Jupiter, and Neptune for scale.

Distance is between brackets. Planet candidates indicated with asterisks.

CREDIT: PHL @ UPR Arecibo (phl.upr.edu) August 24, 2016

# Candidati pianeti «Abitabili»

**Subterre = 0.1 - 0.5 MT o 0.4 -0.8 RT Terre= 0.5 -5 MT o 0.8 - 1.5 RT Superterre= 5 -10 MT o 1.5 -2.5 RT**

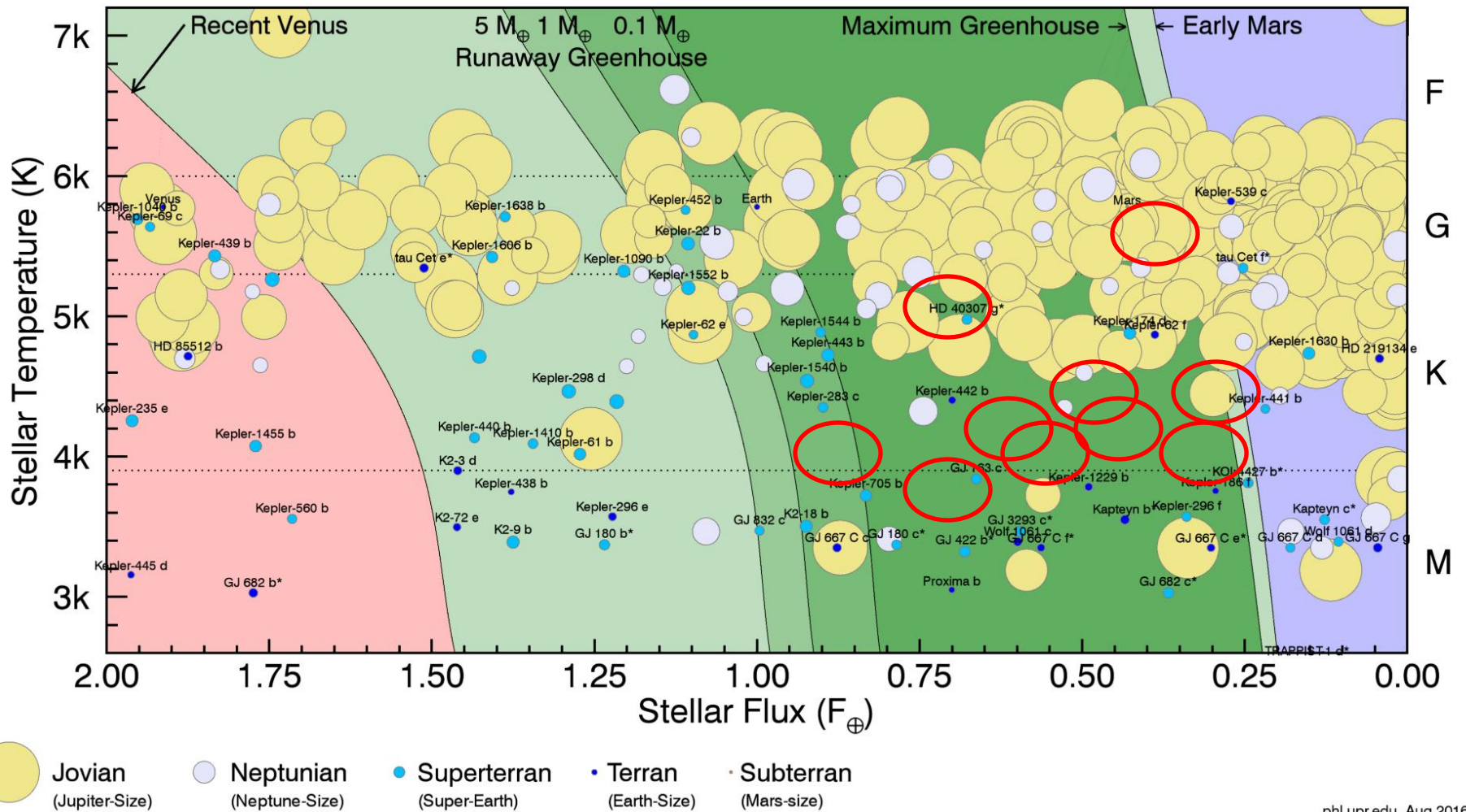
Nome	Tipo	Massa MT	Raggio RT	Flusso FT	T <sub>eq</sub> (K)	Periodo (giorni)	Distanza (a.l.)	ESI
<b>001. Proxima b(N)</b>	M-Warm Terran	≥ 1.3	0.8 - 1.1 - 1.4	0.70	227	11.2	4	0.87
<b>002. GJ 667 C c</b>	M-Warm Terran	≥ 3.8	1.1 - 1.5 - 2.0	0.88	247	28.1	22	0.84
<b>003. Kepler-442 b</b>	K-Warm Terran	8.2 - 2.3 - 1.0	1.3	0.70	233	112.3	1115	0.84
<b>004. GJ 667 C f*</b>	M-Warm Terran	≥ 2.7	1.0 - 1.4 - 1.8	0.56	221	39.0	22	0.77
<b>005. Wolf 1061 c</b>	M-Warm Terran	≥ 4.3	1.1 - 1.6 - 2.0	0.60	223	17.9	14	0.76
<b>006. Kepler-1229 b</b>	M-Warm Terran	9.8 - 2.7 - 1.2	1.4	0.49	213	86.8	769	0.73
<b>007. Kapteyn b*</b>	M-Warm Terran	≥ 4.8	1.2 - 1.6 - 2.1	0.43	205	48.6	13	0.67
<b>008. Kepler-62 f</b>	K-Warm Terran	10.2 - 2.8 - 1.2	1.4	0.39	201	267.3	1200	0.67
<b>009. Kepler-186 f</b>	M-Warm Terran	4.7 - 1.5 - 0.6	1.2	0.29	188	129.9	561	0.61
<b>010. GJ 667 C e*</b>	M-Warm Terran	≥ 2.7	1.0 - 1.4 - 1.8	0.30	189	62.2	22	0.60

# Candidati pianeti «Abitabili» 2017

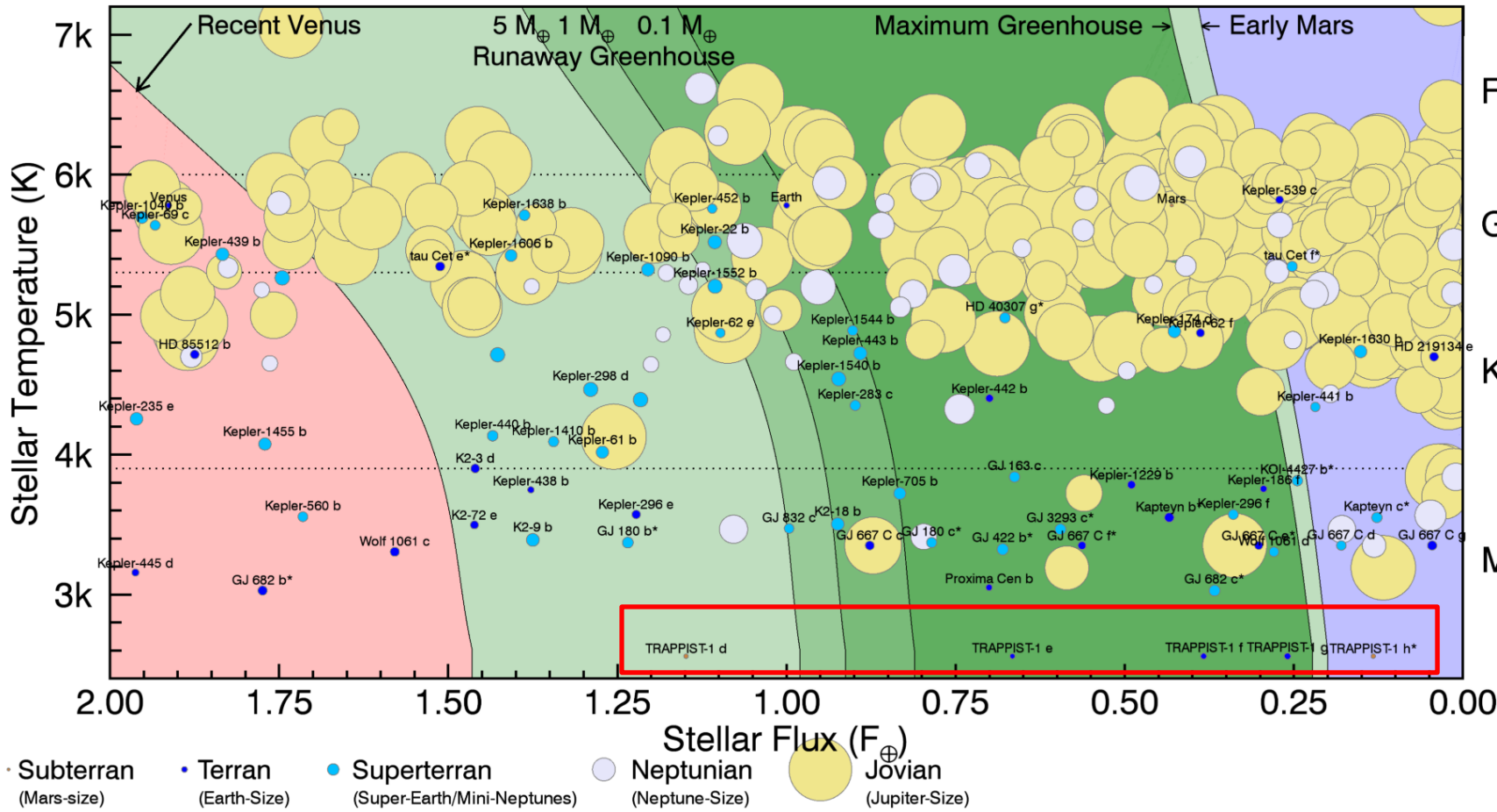
Subterre = 0.1 - 0.5 MT o 0.4 -0.8 RT Terre= 0.5 -5 MT o 0.8 - 1.5 RT Superterre= 5 -10 MT o 1.5 -2.5 RT

Nome	Tipo	Massa MT	Raggio RT	Flusso FTT <sub>eq</sub> (K)	Periodo (giorni)	Distanza (a.l.)	ESI	
001. Proxima Cen b	M-Warm Terran	≥ 1.3	0.8 - 1.1 - 1.4	0.70	227	11.2	4.2	0.87
002. TRAPPIST-1 e(N)	M-Warm Terran	0.6	0.9	0.67	230	6.1	39	0.86
003. GJ 667 C c	M-Warm Terran	≥ 3.8	1.1 - 1.5 - 2.0	0.88	247	28.1	22	0.84
004. Kepler-442 b	K-Warm Terran	8.2 - 2.3 - 1.0	1.3	0.70	233	112.3	1115	0.84
005. GJ 667 C f*	M-Warm Terran	≥ 2.7	1.0 - 1.4 - 1.8	0.56	221	39.0	22	0.77
006. Kepler-1229 b	M-Warm Terran	9.8 - 2.7 - 1.2	1.4	0.49	213	86.8	769	0.73
007. TRAPPIST-1 f (N)	M-Warm Terran	0.7	1.0	0.38	200	9.2	39	0.68
008. Kapteyn b*	M-Warm Terran	≥ 4.8	1.2 - 1.6 - 2.1	0.43	205	48.6	13	0.67
009. Kepler-62 f	K-Warm Terran	10.2 - 2.8 - 1.2	1.4	0.39	201	267.3	1200	0.67
010. Kepler-186 f	M-Warm Terran	4.7 - 1.5 - 0.6	1.2	0.29	188	129.9	561	0.61
011.GJ 667C e*	M-Warm Terran	≥2.7	1.0-1.4.1.8	0.30	189	62.2	22	0.60
012.TRAPPIST-1 g (N)	M-Warm Terran	1.3	1.1	0.26	182	12.4	39	0.58

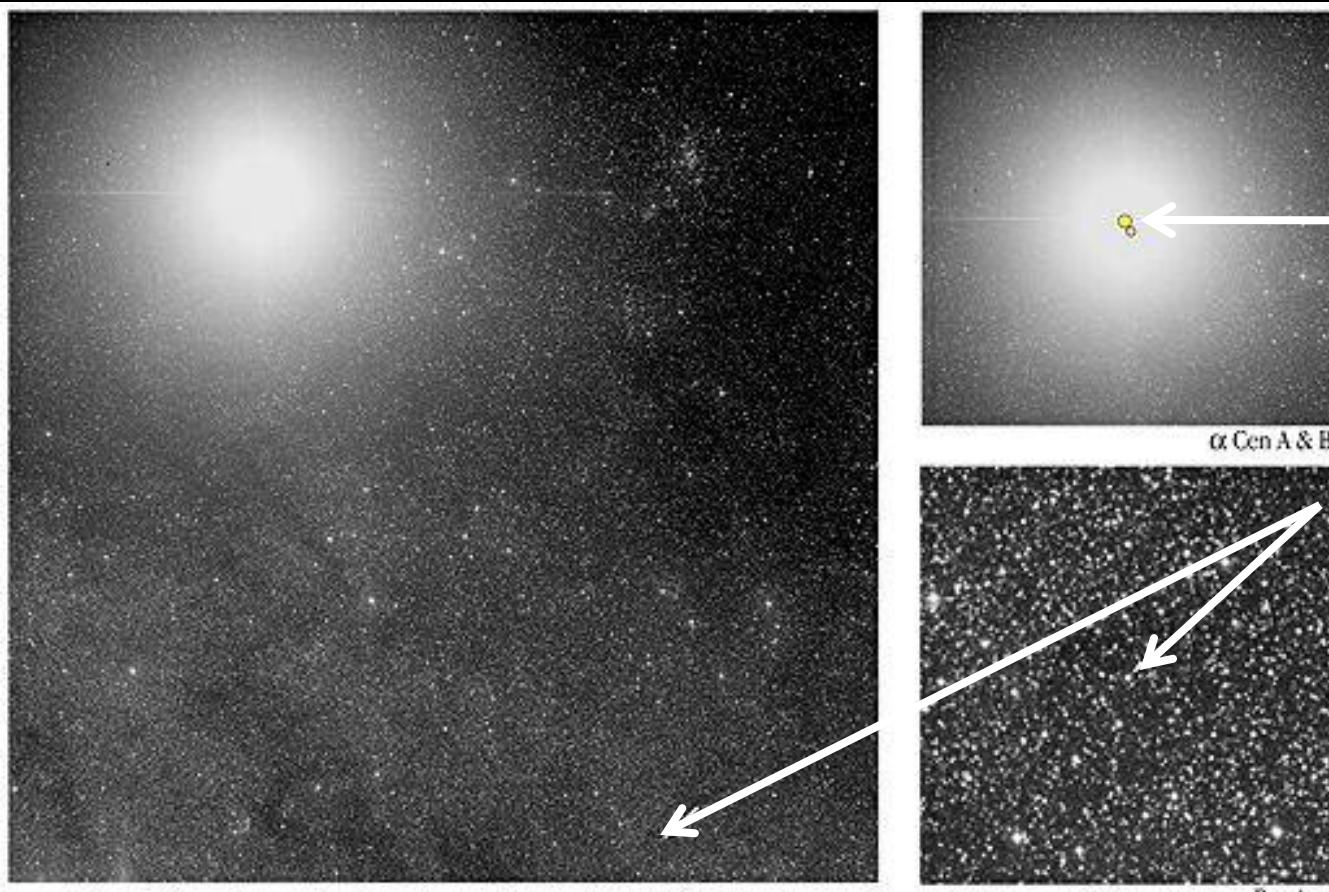
# Candidati pianeti «Abitabili»



# Candidati pianeti «Abitabili» 2017



# Il sistema di $\alpha$ Centauri



$\alpha$  Cen A-B

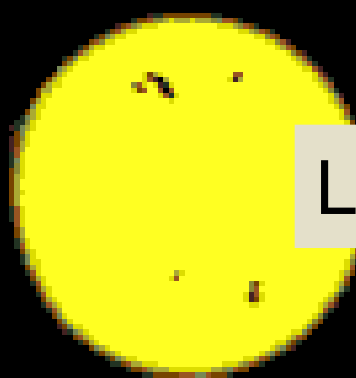
Proxima

The Triple Stellar System Alpha Centauri  
(ESO 1-m Schmidt Telescope)

ESO PR Photo 07a/03 (15 March 2003)

© European Southern Observatory





## Le dimensioni rispetto al Sole

Proxima

Proxima

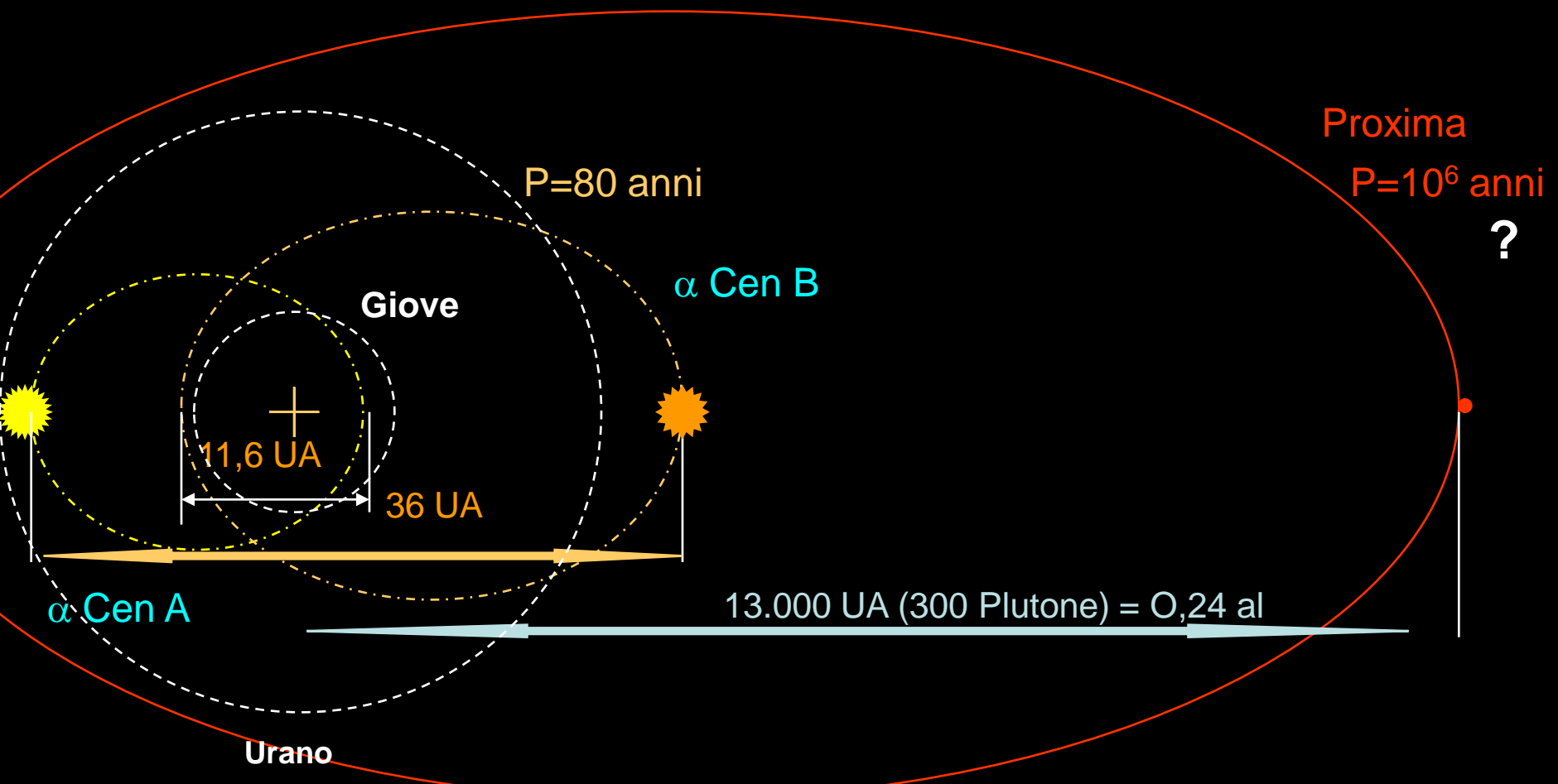
Sole

$\alpha$  Centauri A

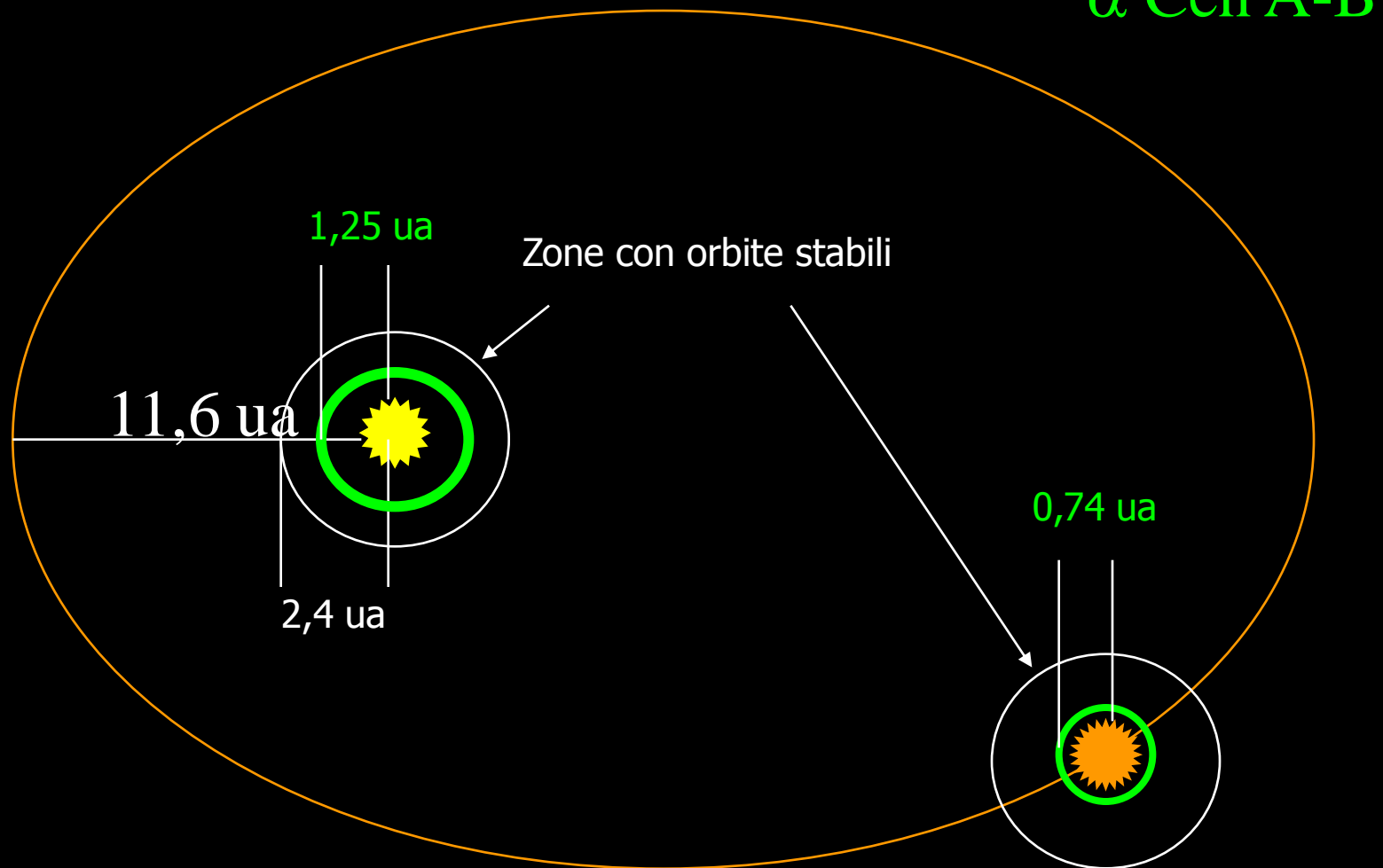
$\alpha$  Centauri B

- $\alpha$  CenA
  - Tipo spettrale = G2
  - Massa =  $1,09 M_{\odot}$
  - Raggio =  $1,23 R_{\odot}$
  - Luminosità =  $1,54 L_{\odot}$
  - Età = 4,85 – 6,8 miliardi di anni
  - Temperatura =  $5770^{\circ}\text{K}$
- $\alpha$  CenB
  - Tipo spettrale = K1
  - Massa =  $0,91 M_{\odot}$
  - Raggio =  $0,86 R_{\odot}$
  - Luminosità =  $0,50 L_{\odot}$
  - Temperatura =  $5300^{\circ}\text{K}$
  - Anno di scoperta: 1752

# Il sistema di $\alpha$ Cen



# Pianeti nella fascia di abitabilità?



# Candidati pianeti «Abitabili»

## Proxima Centauri b

Nome	<b>Proxima Cen b</b>
Scoperto	<b>2016</b>
Mass	<b>0,004 (<math>\pm 0,0006</math>) M<sub>giove</sub></b>
Massa*sin(i)	<b>0,004 (<math>\pm 0,0006</math>) M<sub>giove</sub></b>
Semiasse maggiore	<b>0,0485 (<math>\pm 0,0041</math>) UA</b>
Periodo orbitale	<b>11,186 (<math>\pm 0,001</math>) JD</b>
Eccentricità	<b>0,0 (<math>-0,0^{+0,35}</math>)</b>
Update	<b>2016-08-24</b>
Metodo	<b>Velocità radiali</b>
Metodo per la massa	<b>Velocità radiali</b>
Metodo per il raggio	<b>—</b>
Altri nomi	<b>alpha Cen C b, GL 551 C b, HIP 70890 b</b>

Nome Stella	<b>Proxima Centauri</b>
Distanza	<b>4,22 a.l. 1,295 pc</b>
Tipo spettrale	<b>M5,5V</b>
Magnitudine apparente V	<b>11,13</b>
Massa	<b>0,12 (<math>\pm 0,015</math>) M<sub>sole</sub></b>
Età	<b>5-6 miliardi di anni</b>
Temperatura effettiva	<b>3050,0 (<math>\pm 100,0</math>) °K</b>
Raggio	<b>0,141 (<math>\pm 0,021</math>) R<sub>sole</sub></b>
Metallicità [Fe/H]	<b>—</b>
Disco di polveri	<b>—</b>
Campo magnetico	<b>—</b>
RA <sub>2000</sub>	<b>14:29:43.0</b>
Dec <sub>2000</sub>	<b>-62:40:46</b>
Altri nomi	<b>alpha Cen C, GL 551, HIP 70890</b>
Sistema planetario	<b>1 pianeta</b>

# Proxima Centauri



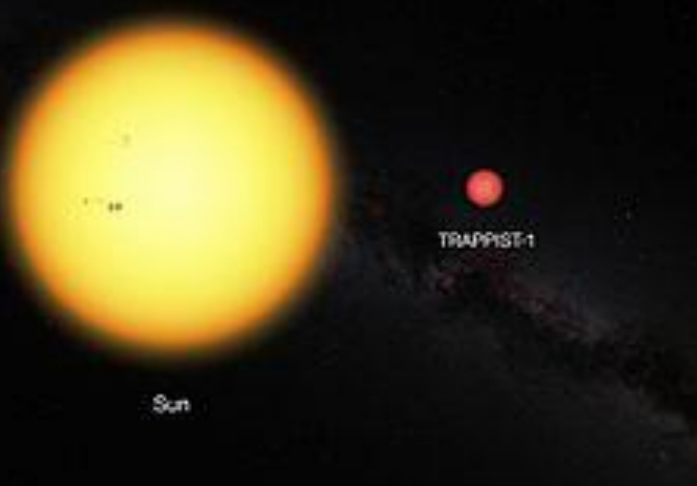
- E' una flare-star, cioè una stella con un'intensa attività superficiale
- Nell'arco di pochi minuti può aumentare la sua luminosità di molte volte
- Durante le esplosioni emette la stessa quantità di raggi X che emette il Sole, il che rende del tutto improbabile la presenza di vita su eventuali pianeti

# Proxima Centauri

- Distanza = 4,22 a.l.
- Tipo spettrale = M5
- Massa =  $0,12 M_{\odot}$
- Raggio =  $0,15 R_{\odot}$
- Luminosità =  $1/18.000 L_{\odot}$
- Età = 5 – 6 miliardi di anni
- Temperatura =  $3300^{\circ}\text{K}$
- Anno di scoperta: 1915

- E' una nana rossa, che è stata per lungo tempo la stella più debole conosciuta
- Vista dalle altre due stelle è una stellina appena visibile a occhio nudo,  $m_v = 4,8$
- Messa alla distanza del Sole, il disco della stella sarebbe appena visibile
- E' una flare-star, cioè una stella con un'intensa attività superficiale
- Nell'arco di pochi minuti può aumentare la sua luminosità di molte volte
- Durante le esplosioni emette la stessa quantità di raggi X che emette il Sole, il che rende del tutto improbabile la presenza di vita su eventuali pianeti

# La stella Trappist 1



TRAPPIST-1	
Costellazione	Acquario
Classe spettrale	M8 D
Distanza dal Sole	$39.5 \pm 1.3$ anni luce
Coordinate	
(all'epoca J2000)	
Ascensione retta	$23^{\text{h}} 06^{\text{m}} 29,283^{\text{s}}$
Declinazione	$-05^{\circ} 02' 28,59''$
Dati fisici	
Raggio medio	$0,114 \pm 0.006$ Rsole
Massa	$0,08 \pm 0.009$ Msole $(83.8048 \pm 9.428$ Mgiove)
Metallicità	$0.04 \pm 0.08$ [Fe/H]
Età stimata	> 1000,0 milioni di anni
Dati osservativi	
Magnitudine app.	18,80
Parallasse	82,58 mas
Moto proprio	AR: 922,1 mas/anno Dec: -471,9 mas/anno
Velocità radiale	-56,3 km/s
Nomenclatura alternative	
2MASS J23062928-0502285, 2MASSI J2306292-050227, 2MASSW J2306292-050227, 2MUCD 12171	

# Il sistema planetario Trappist 1

## Metodo fotometrico dei transiti

**Exoplanet.eu**

Inizio Tutti i cataloghi Diagrammi Bibliografia Ricerca Congressi Altri Siti VO

VO CONNECTION ? OFF ON

### Catalog ?

Download VOTable | CSV | DAT

Status Detection ? Filter

Showing 3583 planets / 2688 planetary systems / 603 multiple planet systems All fields

Show 100 ▾ entries Planet Search Show / hide columns

Planet	Mass (M <sub>Earth</sub> )	Radius (R <sub>Earth</sub> )	Period (day)	a (AU)	e	i (deg)	Ang. dist. (arcsec)	Discovery	Update
TRAPPIST-1 h	—	0.755	20	0.063	—	89.8	—	2017	2017-02-22
TRAPPIST-1 g	1.34	1.127	12.35294	0.0451	0	89.71	—	2017	2017-02-22
TRAPPIST-1 f	0.67	1.045	9.20669	0.0371	0	89.68	—	2017	2017-02-22
TRAPPIST-1 e	0.64	0.918	6.099615	0.02817	0	89.86	—	2017	2017-02-22
TRAPPIST-1 d	0.41	0.772	4.04961	0.02144	0	89.75	—	2016	2017-02-22
TRAPPIST-1 c	1.38	1.056	2.4218233	0.01521	0	89.67	—	2016	2017-02-22
TRAPPIST-1 b	0.86	1.086	1.51087081	0.01111	0	89.65	—	2016	2017-02-22
EPIC 216468514 b	270	16.1	3.31392	0.048	—	81.9	—	2016	2017-02-21
38 Vir b	1430	—	825.9	1.82	0.03	—	—	2016	2017-02-20
Kepler-457 c	—	2.4	75.2	—	—	89.701	—	2015	2017-02-20
K2-35 b	—	1.08	2.39991	0.0306	—	86.1	—	2015	2017-02-20
K2-35 c	—	1.69	5.60906	0.0539	—	87.85	—	2015	2017-02-17
WASP-107 b	38	11	5.72149	0.055	0	89.7	—	2017	2017-02-17
Lalande 21185 b	3.8	—	9.8693	—	—	—	—	2017	2017-02-14
HAT-P-20 b	2303	9.72	2.875317	0.0361	0.015	81.9	0.000516	2010	2017-02-13
Qatar-2 b	790.4	12.82	1.3371182	0.02149	0	88.3	—	2011	2017-02-13
WASP-43 b	652.2	11.61	0.81347753	0.01526	0.0035	82.33	—	2011	2017-02-13
HD169142 b	9530	—	—	22.7	—	—	—	2014	2017-02-10
GJ 436 b	22	4.3	2.64394	0.02887	0.1912	85.8	0.00283	2004	2017-02-10

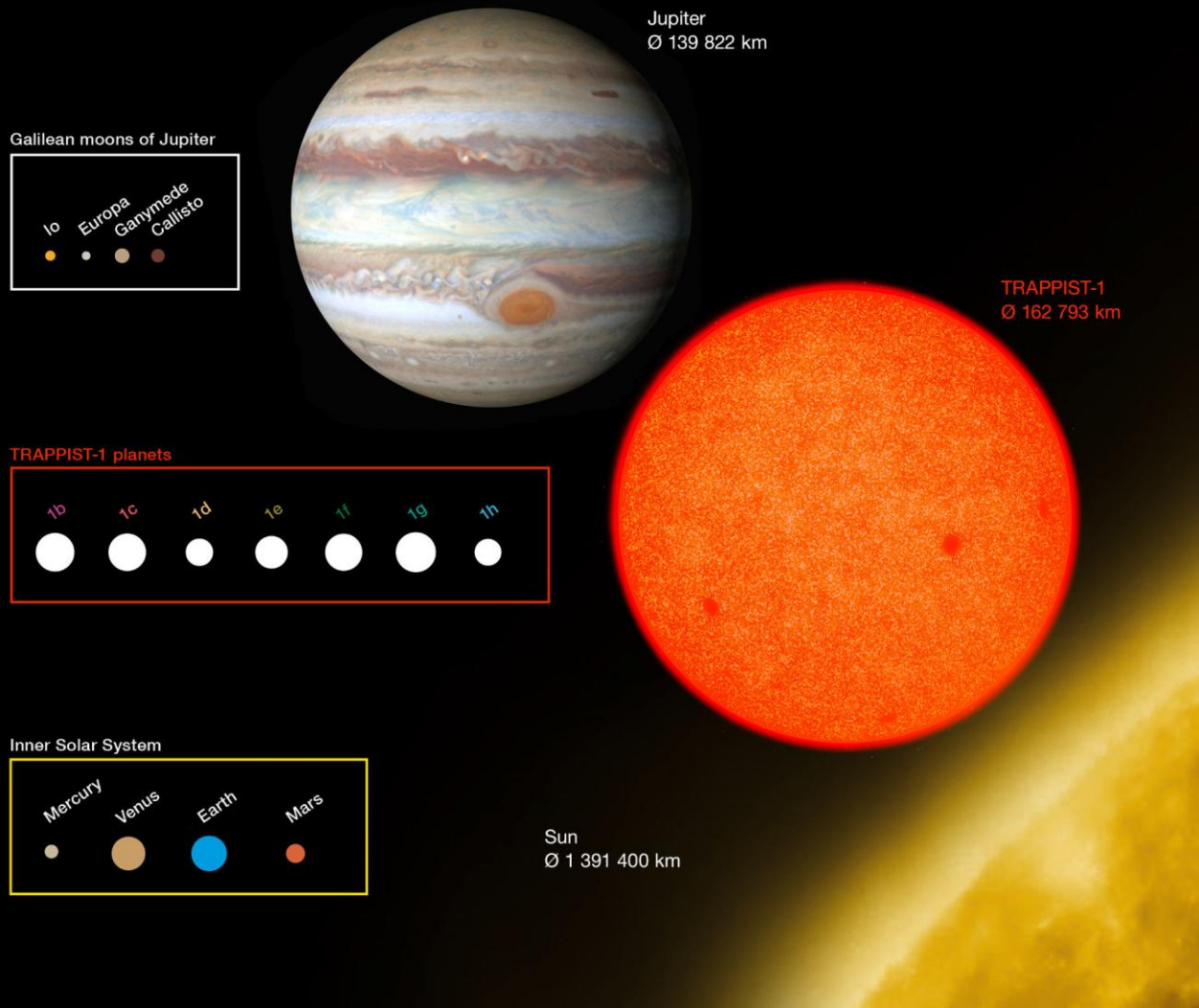
# Il sistema planetario Trappist 1

Metodo fotometrico dei transiti

Pianeta	Massa	Raggio	Periodo orb.	Sem. maggiore	Incl. orbita
b	$0,85 M_{\oplus}$	$1,09 R_{\oplus}$	1,51 giorni	0,011 UA	$89,41 \pm 0,41^{\circ}$
c	$1,38 M_{\oplus}$	$1,06 R_{\oplus}$	2,42 giorni	0,015 UA	$89,5 \pm 0,31^{\circ}$
d	$0,41 M_{\oplus}$	$0,77 R_{\oplus}$	4,05 giorni	0,021 UA	$89,87 \pm 0,1^{\circ}$
e	$0,62 M_{\oplus}$	$0,92 R_{\oplus}$	6,10 giorni	0,028 UA	$89,86 \pm 0,11^{\circ}$
f	$0,68 M_{\oplus}$	$1,04 R_{\oplus}$	9,21 giorni	0,037 UA	$89,680 \pm 0,034^{\circ}$
g	$1,34 M_{\oplus}$	$1,13 R_{\oplus}$	12,35 giorni	0,045 UA	$89,710 \pm 0,025^{\circ}$
h	—	$0,76 R_{\oplus}$	$20 +15 -6$ giorni	$\sim 0,06$ UA	$89,80 \pm 0,07^{\circ}$

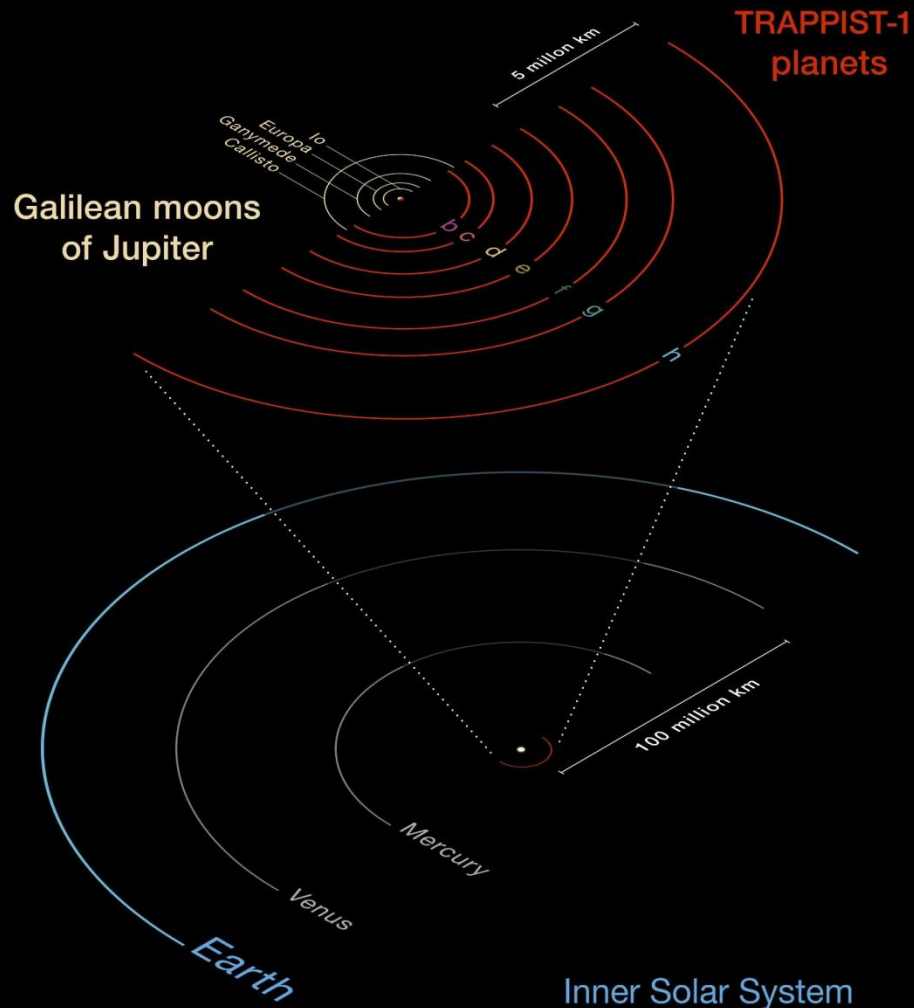
# Il sistema planetario Trappist 1

## Metodo fotometrico dei transiti



# Il sistema planetario Trappist 1

## Metodo fotometrico dei transiti



# Il sistema planetario Trappist 1

## Metodo fotometrico dei transiti

Illustrations

TRAPPIST-1  
System



	b	c	d	e	f	g	h
Orbital Period <small>days</small>	1.51 days	2.42 days	4.05 days	6.10 days	9.21 days	12.35 days	~20 days
Distance to Star <small>Astronomical Units (AU)</small>	0.011 AU	0.015 AU	0.021 AU	0.028 AU	0.037 AU	0.045 AU	~0.06 AU
Planet Radius <small>relative to Earth</small>	1.09 $R_{\text{earth}}$	1.06 $R_{\text{earth}}$	0.77 $R_{\text{earth}}$	0.92 $R_{\text{earth}}$	1.04 $R_{\text{earth}}$	1.13 $R_{\text{earth}}$	0.76 $R_{\text{earth}}$
Planet Mass <small>relative to Earth</small>	0.85 $M_{\text{earth}}$	1.38 $M_{\text{earth}}$	0.41 $M_{\text{earth}}$	0.62 $M_{\text{earth}}$	0.68 $M_{\text{earth}}$	1.34 $M_{\text{earth}}$	—

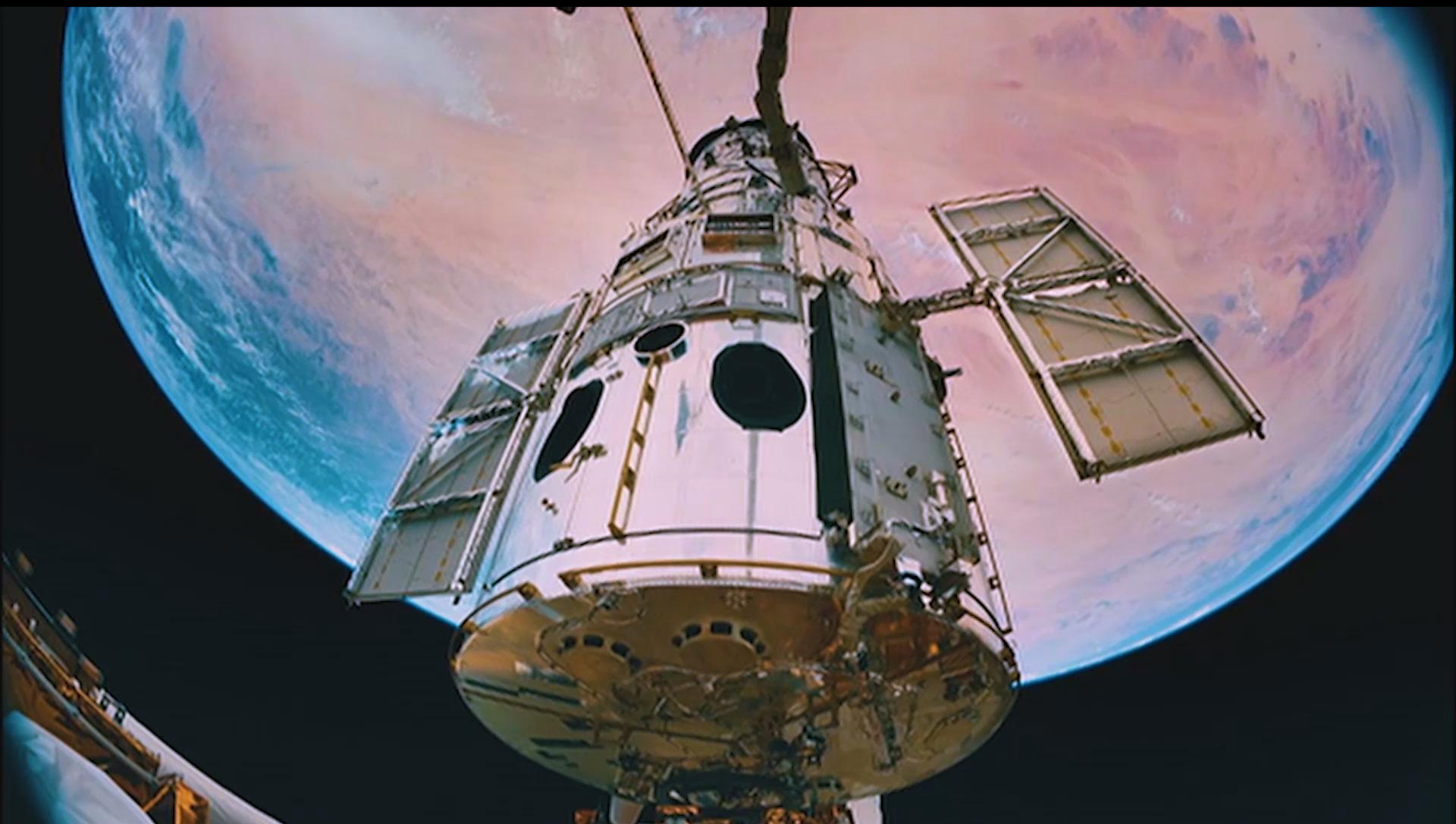
Solar System  
Rocky Planets



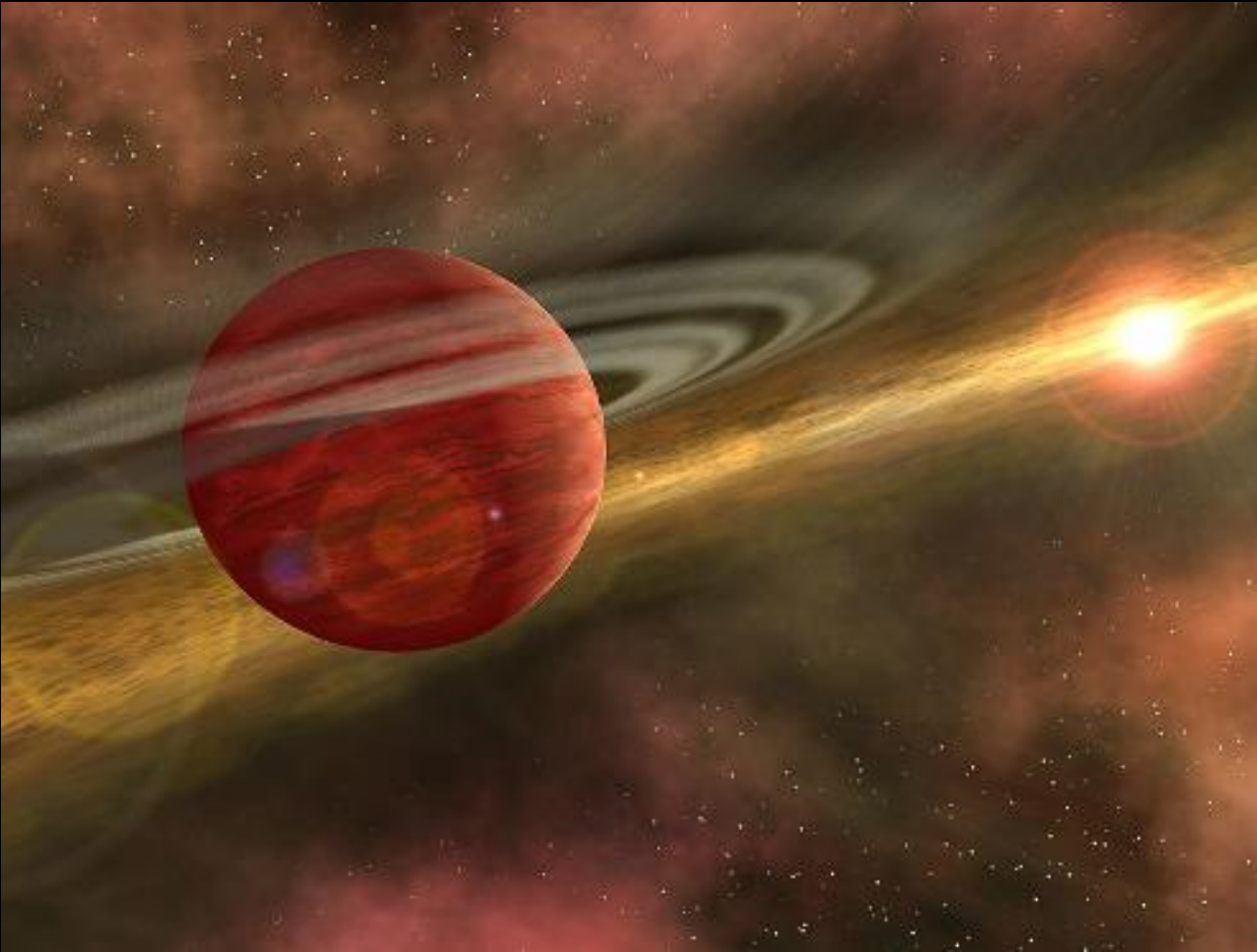
	Mercury	Venus	Earth	Mars
Orbital Period <small>days</small>	87.97 days	224.70 days	365.26 days	686.98 days
Distance to Star <small>Astronomical Units (AU)</small>	0.387 AU	0.723 AU	1.000 AU	1.524 AU
Planet Radius <small>relative to Earth</small>	0.38 $R_{\text{earth}}$	0.95 $R_{\text{earth}}$	1.00 $R_{\text{earth}}$	0.53 $R_{\text{earth}}$
Planet Mass <small>relative to Earth</small>	0.06 $M_{\text{earth}}$	0.82 $M_{\text{earth}}$	1.00 $M_{\text{earth}}$	0.11 $M_{\text{earth}}$

# Il sistema planetario Trappist 1

Animazione



La presentazione è terminata



*Grazie*

# Coronografo e "Vortex" Coronografo



SOLAR MAXIMUM MISSION  
HAO CORONAGRAPH/POLARIMETER  
DOY=126 UT=11:38 FW=G POL=0 DEG

# L'Imaging con l'uso dei Coronografi

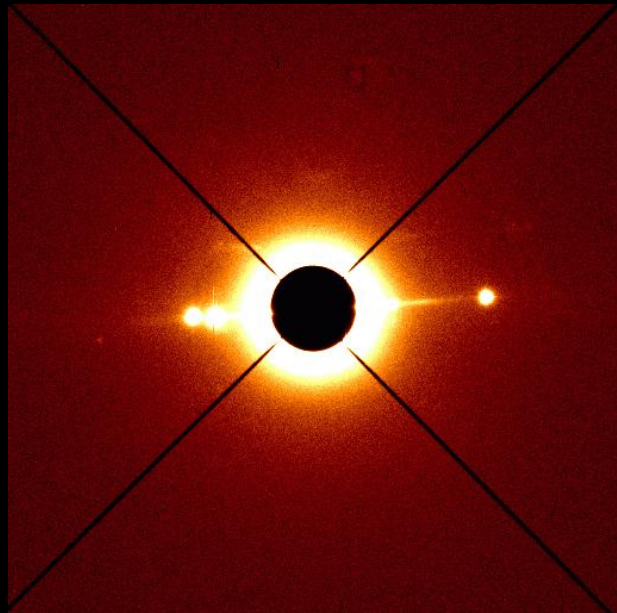


Immagine al Telescopio di Saturno, gli anelli ed alcuni satelliti presa con un Coronografo

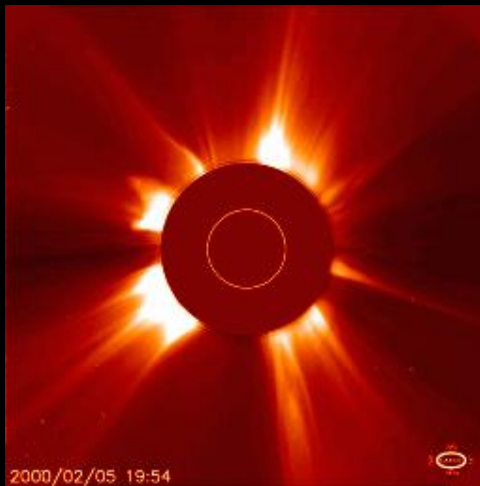


Immagine del Sole presa dalla sonda SOHO utilizzando un Coronografo



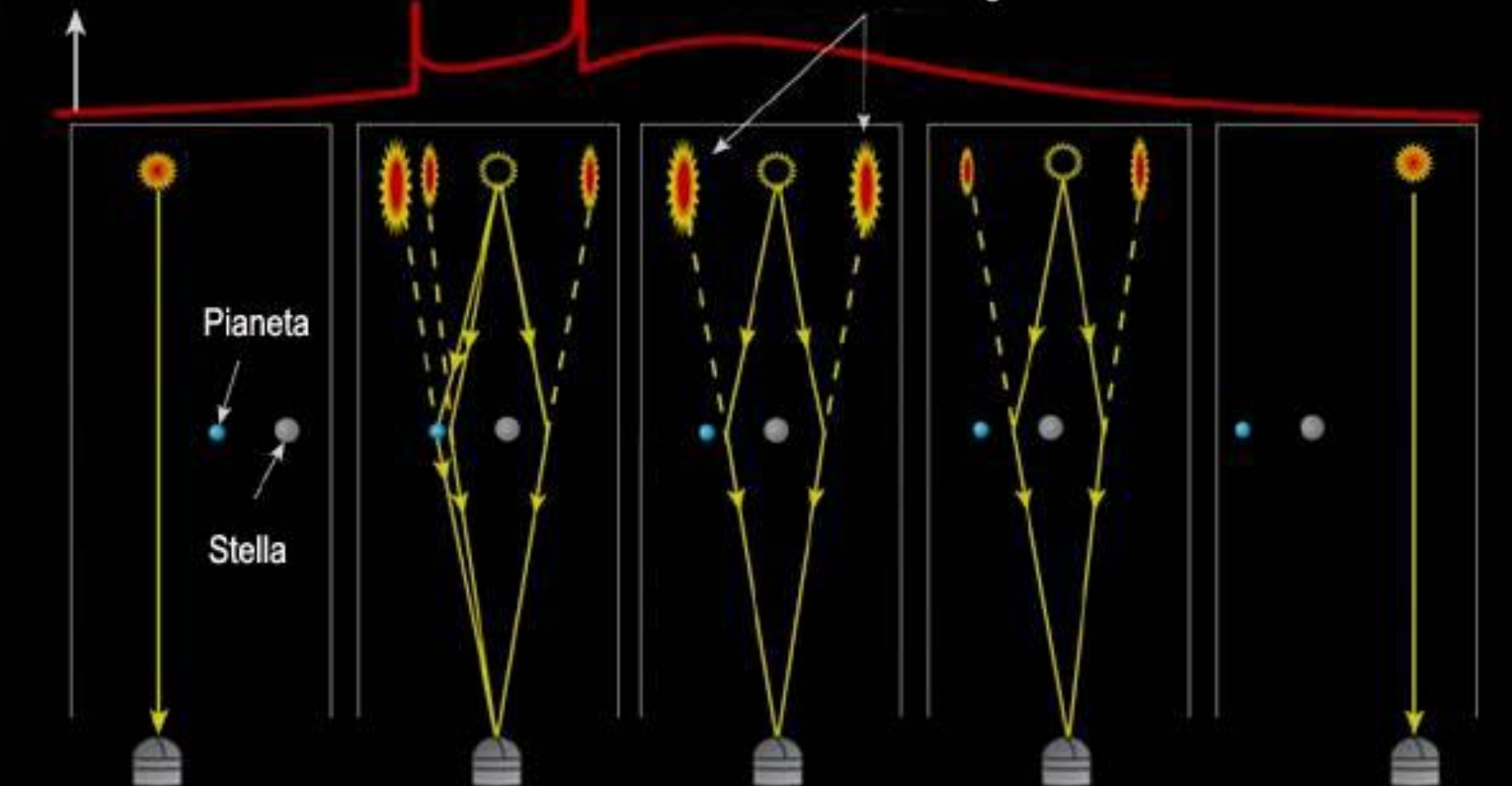
Eclisse totale di Sole

# Micro lenti gravitazionali

# Microlenti gravitazionali

Intensità effetto microlente gravitazionale

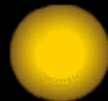
Immagini microlenti



Diverse Geometrie di disposizione dei pianeti rispetto alla stella danno luogo a differenti intensità della lente

# Il sistema planetario OGLE-2005-BLG-71L

## Metodo delle microlenti gravitazionali



0,39  
Mercurio  
•

0,72  
Venere  
•

1  
Terra (1.U.A)  
•

1,5  
Marte  
•

Aggiornato 2014.12.20



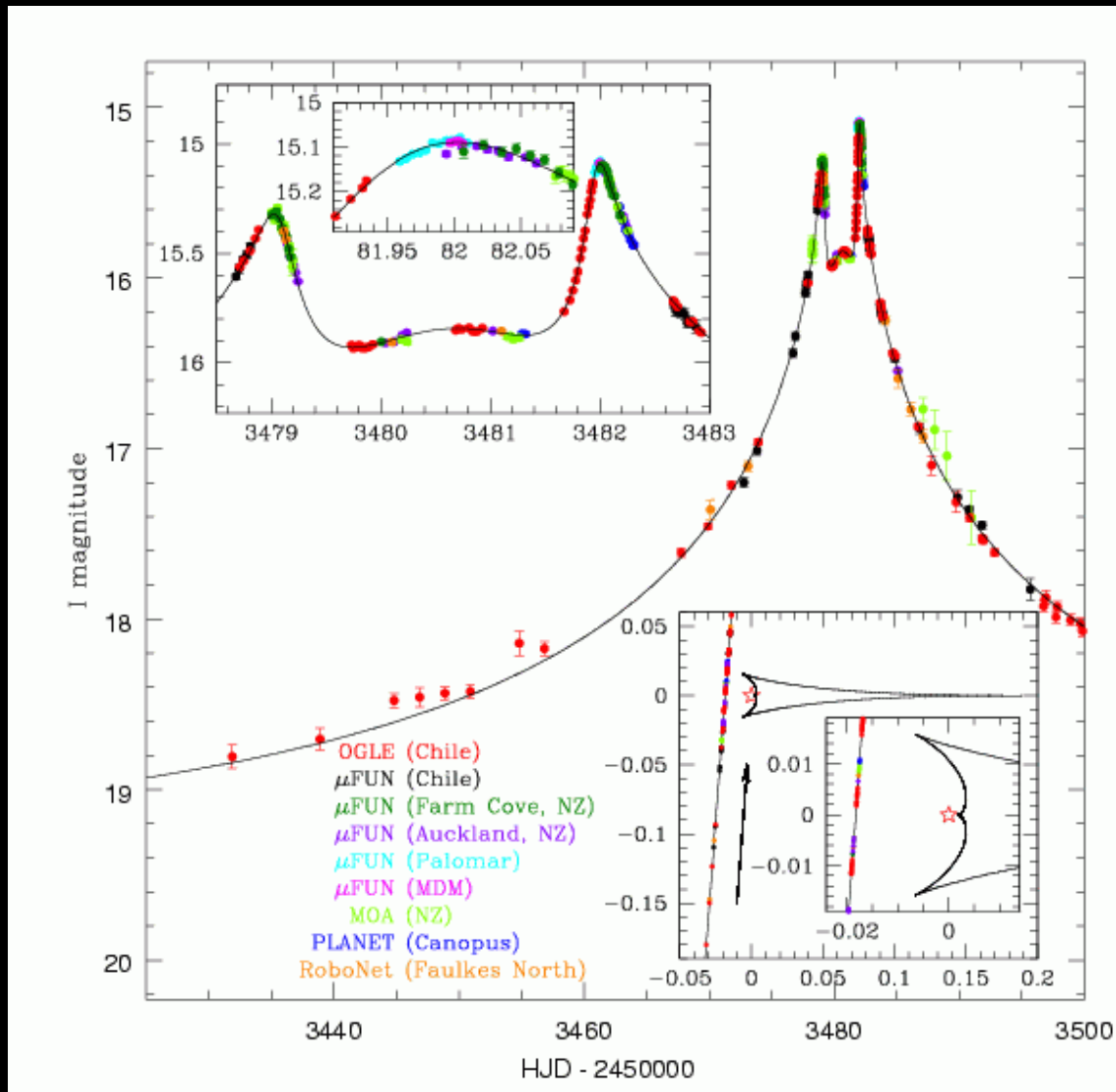
Stella M5 M=0.46 Ms

planeta OGLE-2005-BLG-71Lb M=3,5 Mg semiasse=3,6 U.A. periodo=3600 giorni

Pianeta	OGLE-2005-BLG-71L b	Stella	OGLE-2005-BLG-71L
Scoperto nel	2005	Distanza	11000 a.l.
Massa=m ·sin i	$3,5 M_G$ masse di Giove	Tipo spettrale	?? M5
Massa=m ·sin i	$1151 M_T$ masse terrestri	Massa	$0,46 \pm 0,04 M_\odot$
Semiasse maggiore orbita	3,6 U.A. (Unità Astronomiche)	Età	---
Periodo orbitale	3600 giorni	Raggio	---
Eccentricità	---	Temperatura	--- °K
		Luminosità	--- $L_\odot$
		Magnitudine Visuale	19,5
		Metallicità [Fe/H]	---

# Il sistema planetario OGLE-2005-BLG-71L

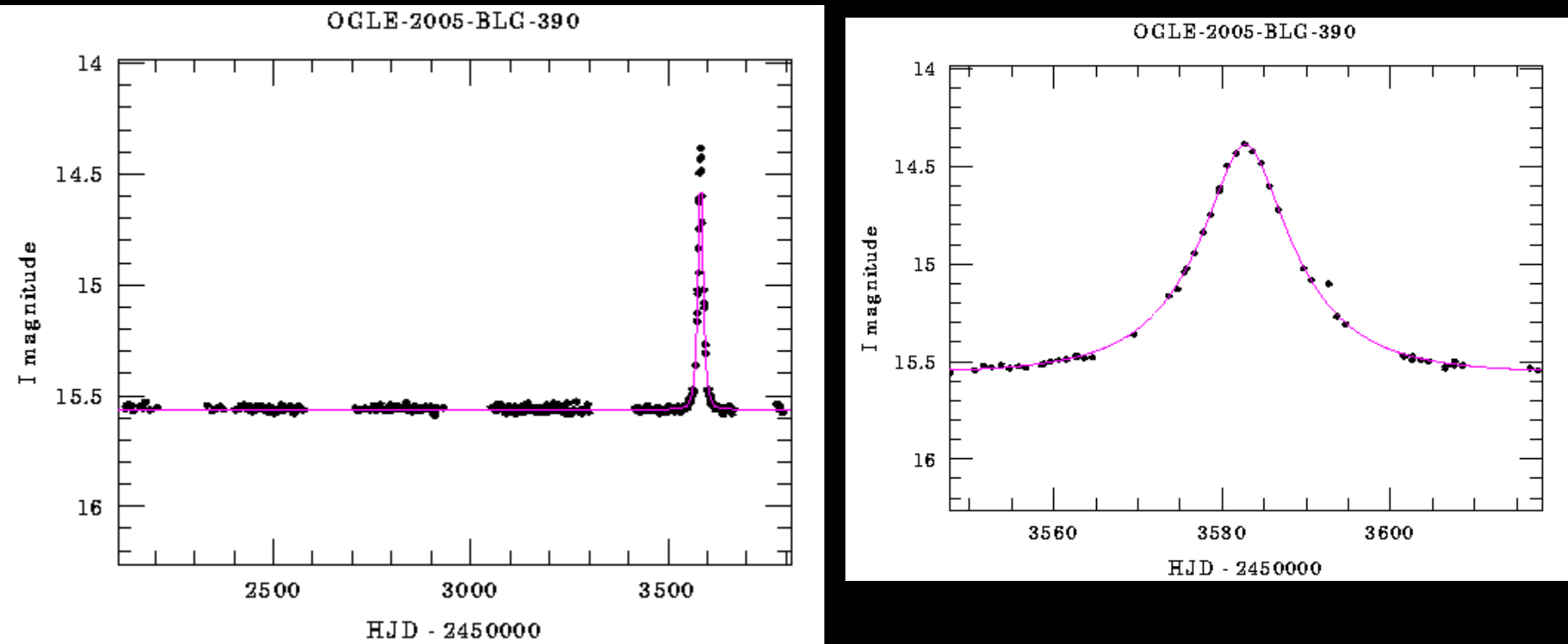
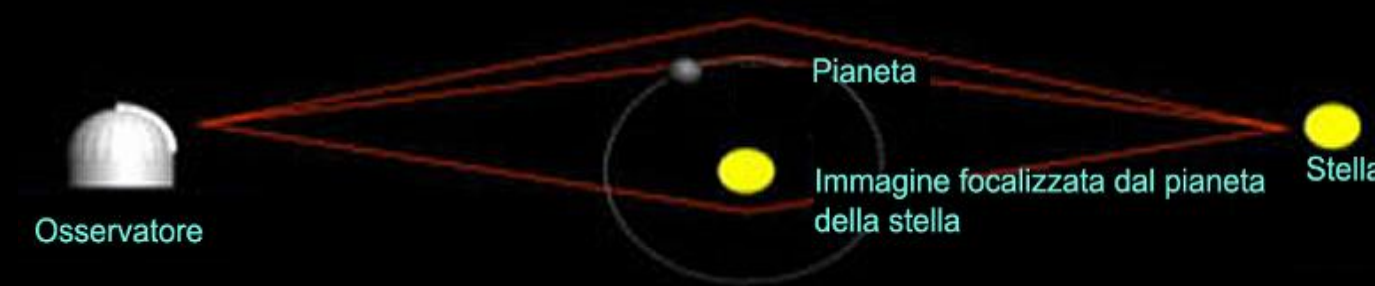
## Metodo delle microlenti gravitazionali



Udalski et al., OGLE+MOA teams, June 2005

# Il sistema planetario OGLE-2005-BLG-390L

## Metodo delle microlenti gravitazionali



# Candidati pianeti «Abitabili»

**Subterra = 0.1 - 0.5 MT o 0.4 -0.8 RT Terran= 0.5 -5 MT o 0.8 - 1.5 RT Superterra= 5 -10 MT o 1.5 -2.5 RT**

Nome	Tipo	Massa MT	Raggio RT	Flusso FT	T <sub>eq</sub> (K)	Periodo (giorni)	Distanza (a.l.)	ESI
001. GJ 667C c	M-Calda Terra	3.8	1.1 - 1.5 - 2.0	0.88	247	28.1	24	0.84
002. Kepler-62 e	K-Calda SuperTerra	18.7 - 4.5 - 1.9	1.6	1.10	261	122.4	1200	0.83
003. GJ 832 c	M-Calda SuperTerra	5.4	1.2 - 1.7 - 2.2	1.00	253	35.7	16	0.81
004. Kepler-283 c	K-Calda SuperTerra	35.3 - 7.0 - 2.8	1.8	0.90	248	92.7	1741	0.79
005. tau Cet e*	G-Calda Terra	4.3	1.1 - 1.6 - 2.0	1.51	282	168.1	12	0.78
006. Kepler-296 f	K-Calda SuperTerra	32.8 - 6.7 - 2.7	1.8	1.33	273	63.3	1692	0.78
007. GJ 180 c*	M-Calda SuperTerra	6.4	1.3 - 1.8 - 2.3	0.79	239	24.3	38	0.77
008. GJ 667C f*	M-Calda Terra	2.7	1.0 - 1.4 - 1.8	0.56	221	39.0	24	0.77
009. GJ 180 b*	M-Calda SuperTerra	8.3	1.3 - 1.9 - 2.4	1.23	268	17.4	38	0.75
010. GJ 163 c	M-Calda SuperTerra	7.3	1.3 - 1.8 - 2.4	1.40	277	25.6	49	0.75
011. HD 40307 g	K-Calda SuperTerra	7.1	1.3 - 1.8 - 2.3	0.68	227	197.8	42	0.74
012. Kepler-61 b	K-Calda SuperTerra	N/A - 13.8 - 5.2	2.2	1.27	267	59.9	1063	0.73
013. Kepler-22 b	G-Calda SuperTerra	N/A - 20.4 - 7.2	2.4	1.11	261	289.9	619	0.71
014. GJ 422 b*	M-Calda SuperTerra	9.9	1.4 - 2.0 - 2.6	0.68	231	26.2	41	0.71
015. GJ 3293 c*	M-Calda SuperTerra	8.6	1.4 - 1.9 - 2.5	0.60	223	48.1	59	0.70
016. Kepler-298 d	K-Calda SuperTerra	N/A - 26.8 - 9.1	2.5	1.29	271	77.5	1545	0.68
017. Kapteyn b	M-Calda Terra	4.8	1.2 - 1.6 - 2.1	0.43	205	48.6	13	0.67
018. Kepler-62 f	K-Calda Terra	10.2 - 2.8 - 1.2	1.4	0.39	201	267.3	1200	0.67
019. Kepler-186 f	K-Calda Terra	3.9 - 1.2 - 0.5	1.1	0.32	192	129.9	492	0.64
020. Kepler-174 d	K-Calda SuperTerra	N/A - 14.8 - 5.5	2.2	0.43	206	247.4	1174	0.61
021. GJ 667C e*	M-Calda Terra	2.7	1.0 - 1.4 - 1.8	0.30	189	62.2	24	0.60

# Metodo dei transiti

## Pianeti extrasolari con transito con $M < 100 M_T$

Nome	Massa in $M_T$	Raggio in $R_G$	Raggio in $R_T$	A (U.A.)	Densità gr/cm <sup>3</sup>	Incl. °	stato	scoperto	agg
CoRoT-7 b	4,799233	0,15	1,68	0,0172	4,651	80,1	R	2009	15/10/10
GJ 1214 b	5,689157	0,2415	2,70	0,014	1,593	88,62	R	2009	16/12/09
HAT-P-26 b	18,75197	0,565	6,33	0,0479	0,408	88,6	S	2010	07/10/10
GJ 436 b	23,424071	0,365	4,09	0,02887	1,887	85,8	R	2004	11/10/10
Kepler-4 b	24,47291	0,357	4,00	0,0456	2,108	89,76	R	2010	06/01/10
Kepler-9 c	54,34893	0,823	9,22	0,225	0,382	88,12	R	2010	09/09/10
HAT-P-11 b	25,74423	0,452	5,07	0,053	1,089	88,5	S	2009	09/05/09
HAT-P-18 b	62,61251	0,995	11,15	0,0559	0,249	88,8	R	2010	29/07/10
CoRoT-8 b	69,9226	0,57	6,39	0,063	1,479	88,4	R	2010	14/06/10
WASP-29 b	77,55052	0,792	8,88	0,0457	0,610	88,8	S	2010	28/09/10
Kepler-9 b	80,09316	0,842	9,44	0,14	0,525	88,55	R	2010	09/09/10
HAT-P-19 b	92,80636	1,132	12,69	0,0466	0,250	88,2	R	2010	29/07/10
WASP-21 b	95,349	1,07	11,20	0,052	0,374	88,75	S	2010	15/04/10

I dati sono aggiornati al 2010 !!

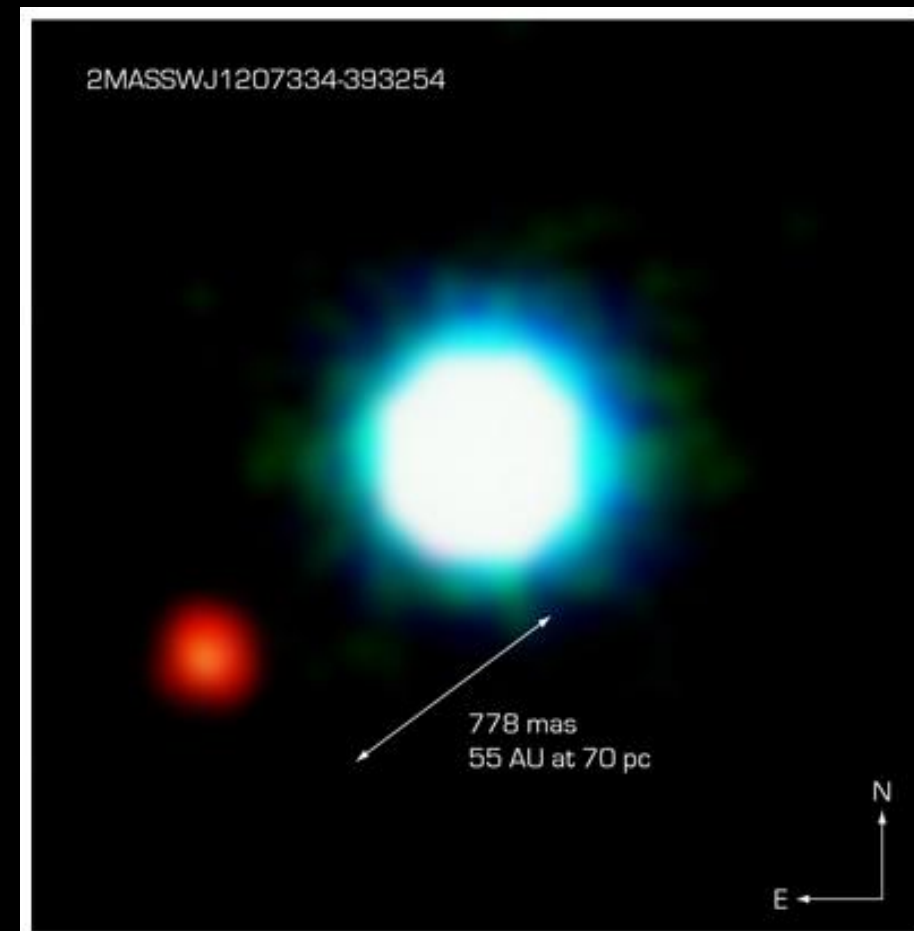
# Animazioni



[www.eso.org](http://www.eso.org)

# Il sistema stellare 2M1207

Stella	2M1207
Distanza	172 ( $\pm 3$ ) a.l.
Tipo spettrale	Nana Bruna M8
Massa	$0,025 M_{\odot}$
Età	$5 \times 10^6 - 10^7$ anni
Raggio	$0,025 R_{\odot}$
Temperatura	25550 ( $\pm 150$ ) ° K
Luminosità	$L = 0,002 L_{\odot}$
Magnitudine Visuale	20,15
Metallicità [Fe/H]	0,03



NACO Image of the Brown Dwarf Object 2M1207 and GPCC

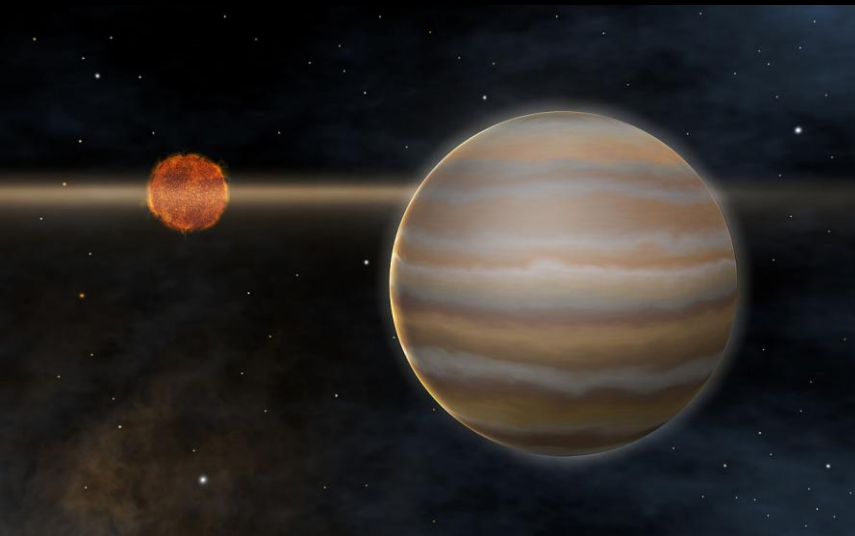
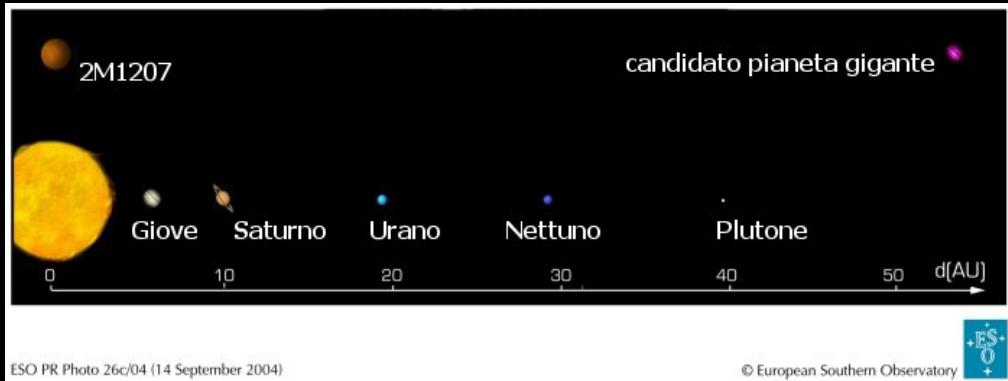
ESO PR Photo 26a/04 (10 September 2004)

© European Southern Observatory



# Il sistema stellare 2M1207 b

## Metodo dell'imaging



Pianeta	2M1207 b
Scoperto nel	2005
Massa=m·sin i	$\geq 4 M_G$ masse di Giove
Massa=m·sin i	$\geq 1272 M_T$ masse terrestri
Semiasse maggiore orbita	46 U.A. (Unità Astronomiche)
Periodo Orbitale	1700 anni ?
Eccentricità	---

Rappresentazione artistica  
del sistema

Aggiornato 2014.12.20

# Il sistema stellare 2M1207

## Metodo dell'imaging

5,2

9,58

19,14

30,2

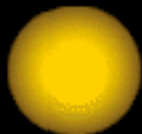
Giove

Saturno

Urano

Nettuno

Aggiornato 2014.12.20



Stella "Nana Bruna" M8 M=0,025 Ms Temp=2550°K L=0,002 Ls R=0,25 Rs  
pianeta 2M1207 b M=4 Mg semiasse=46U.A.

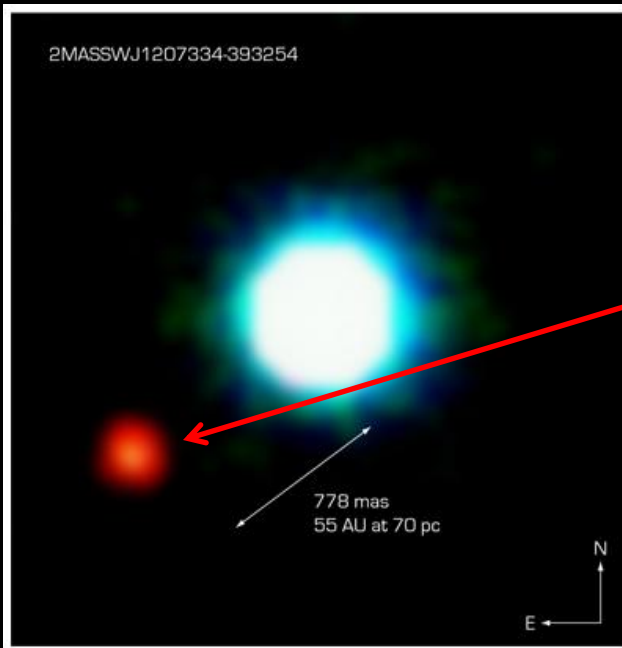
2MASSWJ1207334-393254



778 mas  
55 AU at 70 pc

E

N



NACO Image of the Brown Dwarf Object 2M1207 and GPCC



Il primo sistema  
extrasolare  
osservato  
direttamente ...

Pianeta o Nana  
Bruna ?